



Georg Brack

Prozeß- und Regelkreisdynamik

Berechnung mit BASIC

REIHE AUTOMATISIERUNGSTECHNIK 232

Herausgegeben von

G. Brack, H. Fuchs, G. Paulin, R. Piegert, G. Schwarze und E.-G. Woschni

Prozeß- und Regelkreisdynamik

Berechnung mit BASIC

Georg Brack



VEB VERLAG TECHNIK BERLIN

Bräck, Georg:
Prozeß- und Regelkreisdynamik : Berechnung
mit BASIC / Georg Bräck. – 1. Aufl. – Berlin :
Verl. Technik, 1988. – 88 S. : 32 Bilder,
12 Taf. – (Reihe Automatisierungstechnik;
232)
ISBN 3-341-00531-5
NE: GT

ISBN 3-341-00531-5

ISSN 0484-3436 REIHE AUTOMATISIERUNGSTECHNIK (Berlin, DDR)

Federführender Herausgeber: *Gunter Schwarze*
Begutachtender Herausgeber: *Gerhard Paulin*
1. Auflage
© VEB Verlag Technik, Berlin, 1988
Lizenz 201 · 370/79/88
Printed in the German Democratic Republic
Satz: Karl-Marx-Werk Pößneck V 15/30
Druck und buchbinderische Verarbeitung:
Druckerei August Bebel, Gotha
Lektor: Jürgen Reichenbach
Einbandgestaltung: Kurt Beckert
LSV 3043 · VT 3/5951-1

 Eingetragene Schutzmarke des Warenzeichenverbandes Regelungstechnik e. V., Berlin
Bestell-Nr.: 553 931 7
00480

Vorwort

Mit der breiteren Verfügbarkeit von Mikrorechnern und Heimcomputern ist jedem einzelnen Ingenieur und Studenten die Möglichkeit gegeben, formalisierbare Arbeiten dem Rechner zu übertragen und sich selber auf geistig-schöpferische Tätigkeiten zu konzentrieren.

Der Band will dazu einen Beitrag leisten, indem er dem Leser neben den für das Verständnis notwendigen Grundlagen der Theorie zum dynamischen Verhalten von Prozessen und Regelkreisen eine Reihe erprobter Algorithmen und Rechenprogramme zur Verfügung stellt, die vom Nutzer unmittelbar angewendet werden können. Ausgangsbasis ist die Zustandsdarstellung kontinuierlicher Systeme, da sich die Zustandsgleichungen zwangslässig aus den Bilanzgleichungen der theoretischen Prozeßanalyse herleiten lassen. Aus der Zustandsdarstellung der Regelstrecke folgt die des geschlossenen Regelkreises ebenso, wie sich daraus Klemmenmodelle herleiten lassen. Durch Diskretisierung der Zeit ergeben sich diskontinuierliche Modelle, die zur Simulation des Zeitverhaltens mit dem Rechner besonders geeignet sind. Für alle dabei notwendigen Aktivitäten wird ein Paket von Methoden und Programmen angeboten, die jedoch in jedem Fall auch selbständig verwendet werden können.

Der Band beschränkt sich aber nicht darauf, Rechenprogramme vorzustellen und zu erläutern. Eigentlich sollte man kein Programm nutzen, ohne eine Vorstellung von dem ihm zugrunde liegenden theoretischen Hintergrund zu haben. Deshalb stellt der Band zu jedem Programm auch die theoretischen Grundlagen bereit. Im Prinzip wird dabei nicht über das übliche Niveau der REIHE AUTOMATISIERUNGSTECHNIK hinausgegangen, wie es durch die Bände 151, 152 und 214 dieser Reihe fixiert ist. Trotzdem wird mancher Leser vielleicht mit gewisser Bestürzung feststellen, daß im Text ziemlich freizügig Beschreibungsmittel verwendet werden, die manchmal zur „höheren Theorie“ gerechnet werden, obwohl es tatsächlich nur verkürzende und Schreibarbeit sparende Darstellungsformen sind. Man möge aber bitte bedenken: Der Rechner soll es ermöglichen, reale Systeme zu untersuchen. Diese Systeme sind nun aber komplizierter als die üblichen Schulbeispiele 1. und 2. Ordnung. Die Darstellung durch Vektoren und Matrizen, im Rechner durch entsprechende Felder, ermöglicht es erst, mit solchen komplizierteren Systemen fertig zu werden und die Zusammenhänge trotzdem noch überschaubar zu halten. Dem gleichen Zweck dient auch der hier eingesetzte Apparat der z-Transformation, der nur dazu da ist, die mühsame Schreibarbeit bei den Differenzengleichungen zu rationalisieren.

Die Programme in diesem Band wurden auf dem Rechner ZX Spectrum entwickelt und auf den KC 85/3 übertragen. In der hier abgedruckten Form sind sie auf diesem Rechner lauffähig und in jedem Einzelfall getestet worden. Auf weitere Vereinfachungen, die der BASIC-Interpreter dieses Rechners erlauben würde, wurde verzichtet. Viele Beispiele sollen dazu dienen, sowohl die Vorgehensweisen der

Theorie als auch die Arbeitsweise der Programme völlig durchschaubar zu gestalten.

Für die gute Zusammenarbeit bei der Veröffentlichung dieses Bandes darf ich mich besonders bei meinem Herausgeber, Koll. Prof. *Schwarze*, sowie dem VEB Verlag Technik herzlich bedanken.

Georg Brack

Inhaltsverzeichnis

1.	Kontinuierliche Zustandsmodelle	7
1.1.	Modellierung	7
1.1.1.	Motor-Verdichter-Aggregat	7
1.1.2.	Speichersystem	9
1.1.3.	Zustandsgleichungen	10
1.1.4.	Ausgabegleichungen	11
1.2.	Lösung der nichtlinearen Modellgleichungen; Programm RUKU4	12
1.3.	Bestimmung des stationären Arbeitspunktes	15
1.3.1.	Aufgabenstellung	15
1.3.2.	Lösungsalgorithmen; Rechenprogramm NEWT	15
1.3.3.	Anwendungsbeispiel	18
1.4.	Linearisierung des Zustandsmodells; Programm LIN	18
1.5.	Zustandsmodell des geschlossenen Regelkreises	21
1.5.1.	Sprungfähiges System; Regler ohne D-Anteil	22
1.5.2.	Regler mit D-Anteil	23
1.5.3.	Rechenprogramm KRSMAT	25
1.6.	Rauschvorgänge	27
2.	Kontinuierliche Klemmenmodelle	29
2.1.	Herleitung aus dem Zustandsmodell	29
2.1.1.	Klemmenmodell	29
2.1.2.	Faddejew-Algorithmus	31
2.1.3.	Rechenprogramm	32
2.1.4.	Anwendungsbeispiel	33
2.2.	Frequenzgänge	34
2.2.1.	Herleitung	34
2.2.2.	Rechenprogramm FREQ	36
2.3.	Eigenwertberechnung	41
2.3.1.	Bedeutung der Eigenwerte	41
2.3.2.	Ermittlung des charakteristischen Polynoms	42
2.3.3.	Bestimmung der Polynomwurzeln	42
2.3.4.	Rechenprogramm EWEPOL	45
3.	Diskontinuierliche lineare Zustandsmodelle	50
3.1.	Ermittlung von zeitdiskreten Modellen	50
3.1.1.	Diskretisierung der Zeit	50
3.1.2.	Diskretisierung des Zustandsmodells	51
3.1.3.	Rechenprogramm	53

3.2.	Simulation des Zeitverhaltens	54
3.2.1.	Lösung der diskontinuierlichen Zustandsgleichung	54
3.2.2.	Eingangssignale	55
3.2.3.	Dialogführung; Programm ZUST	56
4.	Diskontinuierliche Klemmenmodelle	62
4.1.	Herleitung der Modelle	62
4.1.1.	Die z-Übertragungsfunktion	62
4.1.2.	Herleitung aus dem diskontinuierlichen Zustandsmodell	63
4.1.3.	Herleitung aus der kontinuierlichen Übertragungsfunktion	64
4.2.	Lösung der Modellgleichung	66
4.2.1.	Rekursive Lösung der Differenzengleichung	66
4.2.2.	Rechenprogramm KLEMM	68
4.3.	Eigenwertberechnung	70
4.4.	Regelstrecke mit Verzögerung und Laufzeit	71
4.4.1.	Regelkreismodell	71
4.4.2.	Eingangssignale	74
4.4.3.	Rechenprogramm TLKRS	74
5.	Parameteroptimierung	79
5.1.	Optimierungsaufgaben	79
5.2.	Suchverfahren nach Rosenbrock	80
5.2.1.	Grundgedanke des Verfahrens	80
5.2.2.	Programmablaufplan	81
5.2.3.	Berechnung der Richtungsvektoren	82
5.2.4.	Rechenprogramm ROSE	83
Literaturverzeichnis	87	
Sachwörterverzeichnis	88	

1. Kontinuierliche Zustandsmodelle

1.1. Modellierung

Am Anfang jeder rechnergestützten Untersuchung eines realen oder gedachten Systems steht die Aufstellung eines mathematischen dynamischen Modells. Je nach den gegebenen Möglichkeiten kann dabei experimentell vorgegangen werden, oder man stützt sich auf allgemeingültige Gesetzmäßigkeiten und nimmt eine theoretische Modellierung vor. Beide Grundmethoden werden ausführlich in der Literatur beschrieben (s. z. B. [1; 2; 3]). Das soll hier nicht wiederholt werden. Statt dessen wird als Beispiel die im Bild 1 dargestellte technologische Anlage betrachtet. An diesem Beispiel werden, soweit dies möglich ist, alle im weiteren behandelten Algorithmen und Programme beschrieben.

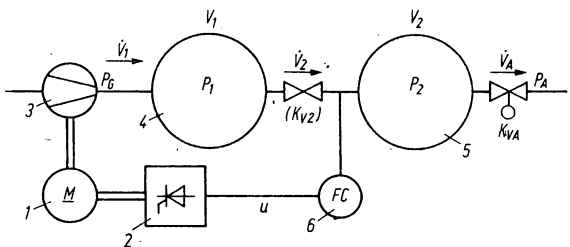


Bild 1. Gasdurchflußregelung
1 Motor; 2 Thyristorsteller;
3 Verdichter; 4, 5 Speicher;
6 Durchflußregler

Bild 1 zeigt das Schema einer Gas-Durchflußregelung. Ein Motor 1, gespeist von einem Thyristorsteller 2, treibt einen Verdichter 3 an, der einen Gasstrom in zwei hintereinanderliegende Speicher 4, 5 liefert. Ein Durchflußregler 6 soll den Strom \dot{V}_2 zwischen den beiden Speichern auf einem vorgegebenen Sollwert halten. Zwischen den Speichern und gegen den Abfluß nach Atmosphäre liegen Strömungswiderstände mit den Werten k_{V2} (konstant) bzw. k_{VA} (veränderbar).

1.1.1. Motor-Verdichter-Aggregat

Die Untersuchung des Motor-Verdichter-Aggregats erfolgte experimentell und erbrachte folgende Ergebnisse:

Stellverhalten

Bei einer Änderung des Steuersignals u für den Thyristorsteller im Bereich 0 bis 100 % ergab sich für den Ausgangsdruck p_G des unbelasteten Verdichters ($\dot{V}_1 = 0$) die im Bild 2 a gezeigte statische Kennlinie. Alle Druckwerte stellen Absolutdrücke dar.

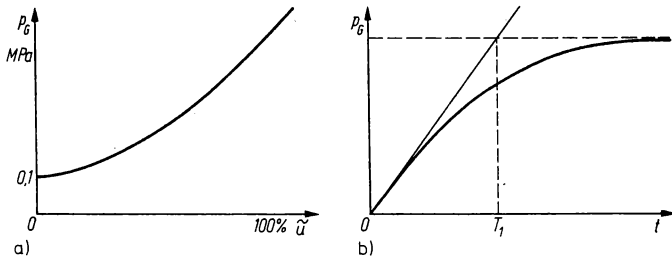


Bild 2. Stellverhalten
a) statische Kennlinie
b) Sprungantwort

Die Kennlinie kann durch folgende Gleichung dargestellt werden:

$$p_G = a \tilde{u}^2 + b .$$

Die Sprungantwort für das Stellverhalten, bedingt durch die mechanische Trägheit des rotierenden Systems, wird im Bild 2b gezeigt. Daraus lässt sich erkennen, daß ein Verzögerungsverhalten 1. Ordnung vorliegt. Die Differentialgleichung für das Motor-Verdichter-Aggregat, also sein dynamisches Modell, lautet danach

$$T_1 \frac{dp_G}{dt} + p_G = a \tilde{u}^2 + b . \quad (1)$$

Die aus den gemessenen Kurven entnehmbaren Zahlenwerte für a, b und T₁ sind zusammen mit anderen in Tafel 2 zusammengestellt.

In der Modellform eines Zustandsmodells stehen die Ableitungen der Veränderlichen nach der Zeit auf den linken Seiten der Gleichungen allein. Gl. (1) wird deshalb umgeformt:

$$\frac{dp_G}{dt} = -\frac{1}{T_1} p_G + \frac{a}{T_1} \tilde{u}^2 + \frac{b}{T_1} . \quad (2)$$

Um Schreibarbeit zu sparen, sollen in allen Modellgleichungen dieses Bandes die in Tafel 1 zusammengestellten Einheiten verwendet werden. Die Gleichungen sind somit Zahlenwertgleichungen mit den Einheiten nach Tafeln 1 und 2.

Tafel 1. Einheiten für die Modellgleichungen

Zeit, Zeitkonstante	s
Druck, Druckdifferenz	MPa
Volumen	m ³
Durchfluß	m ³ /s

Belastungsverhalten

Der Ausgangsdruck des Verdichters ist abhängig vom entnommenen Förderstrom \dot{V}_1 . Die Messung ergab die Kennlinie nach Bild 3. Unbelastet ergibt sich der Leerlaufdruck p_G, der mit steigender Belastung absinkt.

Die Auswertung der Kennlinie ergab eine Geradengleichung

$$p_1 = p_G - c \dot{V}_1 .$$

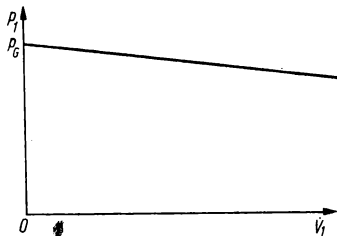


Bild 3. Belastungskennlinie des Verdichters
p₀ Leerlaufdruck; p₁ Druck bei Belastung

Für den Durchfluß \dot{V}_1 (wie alle Durchflußwerte der folgenden Gleichungen auf Normbedingungen bezogen) folgt daraus

$$\dot{V}_1 = \frac{1}{c} (p_G - p_1) . \quad (3)$$

1.1.2. Speichersystem

Das Speichersystem kann auch ohne Experimente auf rein theoretischem Wege modelliert werden. Grundlage bilden die instationären Bilanzgleichungen für die in den beiden Speichern gespeicherten Gasmassen [1; 4].

Für die Änderungsgeschwindigkeit der im Speicher 4 enthaltenen Masse m₁ gilt

$$\frac{dm_1}{dt} = \dot{m}_1 - \dot{m}_2 = \rho_N (\dot{V}_1 - \dot{V}_2) . \quad (4)$$

Für m₁ lässt sich mit der allgemeinen Gasgleichung schreiben

$$m_1 = p_1 V_1 / (RT) .$$

Damit erhält man aus (4), wenn man für \dot{V}_1 die Gl. (3) einsetzt

$$\frac{dp_1}{dt} = \frac{RT \rho_N}{V_1} \left(\frac{1}{c} p_G - \frac{1}{c} p_1 - \dot{V}_2 \right) . \quad (5)$$

Ähnlich lässt sich für den Bilanzraum Speicher 5 mit der Masse m₂ und dem Innen-druck p₂ schreiben

$$\frac{dm_2}{dt} = \frac{V_2}{RT} \frac{dp_2}{dt} = \dot{m}_2 - \dot{m}_A = \rho_N (\dot{V}_2 - \dot{V}_A)$$

bzw.

$$\frac{dp_2}{dt} = \frac{RT \rho_N}{V_2} (\dot{V}_2 - \dot{V}_A) . \quad (6)$$

R ist dabei die stoffspezifische Gaskonstante, T die absolute Temperatur und ρ_N die Gasdichte im Normalzustand.

Es fehlen noch Beziehungen für die Volumenströme \dot{V}_2 bzw. \dot{V}_A . Diese hängen ab von den Drücken, die vor (p_v) und hinter (p_h) den jeweiligen Strömungswiderständen herrschen, sowie von deren Widerstandswerten, ausgedrückt durch k_V.

Setzt man dafür die aus der Literatur, z. B. [4], zu entnehmenden Beziehungen an

$$\dot{V} = k k_V \sqrt{\frac{(p_v - p_h) p_h}{Q_N T}},$$

dann erhält man nach Zusammenfassung aller konstanten Werte

$$\dot{V}_2 = d_2 \sqrt{(p_1 - p_2) p_2} \quad (7)$$

$$\dot{V}_A = d_3 \tilde{k}_{VA} \sqrt{(p_2 - p_A) p_A}. \quad (8)$$

Dabei soll der Strömungswiderstand k_{V2} unveränderlich sein; sein Wert ist mit in d_2 enthalten. \tilde{k}_{VA} ist der veränderbare, auf den Maximalwert bezogene Wert des Auslaßventils. \tilde{k}_{VA} kann damit Werte zwischen 0 und 1 annehmen.

Ob die Beziehungen (7) und (8) die Vorgänge richtig widerspiegeln, hängt davon ab, ob die ihnen zugrunde liegenden Voraussetzungen erfüllt sind.

- Die Durchflüsse müssen, wie im Bild 1 eingezeichnet, von „links“ nach „rechts“ fließen.

Das mag im Normalfall selbstverständlich erscheinen. Es sind aber auch Betriebszustände vorstellbar (z. B. beim Abfahren), bei denen die Strömung in umgekehrter Richtung erfolgt.

- Die Druckabfälle über den Strömungswiderständen sind unterkritisch, d. h., es gilt $p_1 < 2 p_2$ bzw. $p_2 < 2 p_A$.

Ob diese Bedingungen erfüllt sind, kann nur aus der Lösung der Modellgleichungen erkannt werden. Ist sie etwa beim Ausfluß nicht erfüllt, dann muß anstelle (8) geschrieben werden

$$\dot{V}_A = d_3 \tilde{k}_{VA} p_2 / 2. \quad (9)$$

1.1.3. Zustandsgleichungen

Setzt man die Beziehungen (7) und (8) bzw. (9) in die Gln. (5) und (6) ein, dann erhält man mit den aus Tafel 2 entnehmbaren Zahlenwerten für die Konstanten die endgültigen Gleichungen

$$\frac{dp_G}{dt} = -0.08 p_G + 0.168 \ddot{u}^2 + 0.008 \quad (10)$$

$$\frac{dp_1}{dt} = 0.25 [0.7 p_G - 0.7 p_1 - 0.4 \sqrt{(p_1 - p_2) p_2}] \quad (11)$$

$$\frac{dp_2}{dt} = \begin{cases} 0.33 [0.4 \sqrt{(p_1 - p_2) p_2} - 0.25 \tilde{k}_{VA} p_2] \\ 0.33 [0.4 \sqrt{(p_1 - p_2) p_2} - 0.5 \tilde{k}_{VA} \sqrt{(p_2 - p_A) p_A}] \end{cases} \quad (12a)$$

$$\\ \quad (12b)$$

Gl. (12a) gilt im überkritischen Fall, in dem $p_2 \geq 2 p_A$ ist; im unterkritischen Fall ($p_2 < 2 p_A$) gilt (12b).

Die Gln. (10), (11), (12) sind ein sog. Zustandsmodell mit den Zustandsgrößen p_G , p_1 , p_2 und den Eingangsgrößen (Steuergrößen) \ddot{u} , \tilde{k}_{VA} . Mit den allgemeinen Symbo-

Tafel 2. Werte der Modellkonstanten

a	2.1	(MPa)
b	0.1	(MPa)
T ₁	12.5	(s)
1/c	0.7	(m ³ MPa ⁻¹ s ⁻¹)
d ₂	0.4	(m ³ MPa ⁻¹ s ⁻¹)
d ₃	0.5	(m ³ MPa ⁻¹ s ⁻¹)
RT _{0N}	111	(MPa)
V ₁	444	(m ³)
V ₂	333	(m ³)

len q_i für die Zustandsgrößen und u_j für die Eingangsgrößen entsprechen sie der allgemeinen Form

$$\begin{aligned}\dot{q}_1 &= f_1(q_1, q_2, \dots, q_n, u_1, u_2, \dots, u_m) \\ \dot{q}_2 &= f_2(q_1, q_2, \dots, q_n, u_1, u_2, \dots, u_m) \\ \vdots \\ \dot{q}_n &= f_n(q_1, \dots, q_n, u_1, \dots, u_m).\end{aligned}\quad (13)$$

Die f_1, f_2, \dots, f_n sind allgemeine nichtlineare Funktionen der Zustands- und Eingangsgrößen.

Zur Vereinfachung der Schreibweise und um Platz zu sparen, wird auch von der Vektorschreibweise Gebrauch gemacht, bei der der Vektor q für die Zusammenfassung aller Zustandsgrößen steht:

$$q^T = (q_1 \ q_2 \dots \ q_n).$$

Das hochgestellte T bedeutet „transponiert“. Es wird nur aus Gründen der Platzersparnis eingeführt. Wollte man q ohne das Transponiert-Symbol darstellen, dann müßten die Komponenten $q_1, q_2 \dots$ untereinander gesetzt werden.

Entsprechend werden die Eingangsgrößen zum Eingangsvektor $u^T = (u_1 \ u_2 \ \dots \ u_m)$, zusammengestellt, und für die Funktionen auf den rechten Seiten des Systems (13) wird der formale Funktionsvektor $f^T = (f_1 \ f_2 \ \dots \ f_n)$ gesetzt. Damit läßt sich das System (13) sehr kurz in folgender Form schreiben:

$$\frac{dq}{dt} = f(q, u). \quad (14)$$

1.1.4. Ausgabegleichungen

Als Ausgangsgrößen x_k eines Zustandsmodells werden diejenigen Größen bezeichnet, für die man sich speziell interessiert, z. B. als Meß- oder Regelgrößen. Allgemein hängen die p Ausgangsgrößen von den Zustands- und Eingangsgrößen ab:

$$\begin{aligned}x_1 &= g_1(q_1, q_2, \dots, q_n, u_1, u_2, \dots, u_m) \\ \vdots \\ x_p &= g_p(q_1, \dots, q_n, u_1, \dots, u_m)\end{aligned}\quad (15)$$

Mit der Vektorschreibweise für den Ausgangsvektor $x^T = (x_1 \ x_2 \ \dots \ x_p)$ und den Funktionenvektor $g^T = (g_1 \ g_2 \ \dots \ g_p)$ läßt sich für das System (15) auch kurz schreiben:

$$x = g(q, u). \quad (16)$$

Im konkreten Modellierungsbeispiel sollen die Ausgangsgrößen sein: x_1 Druck p_2 , x_2 Volumenstrom \dot{V}_2 . Damit lauten die beiden Ausgabegleichungen

$$x_1 = p_2 \quad (17)$$

$$x_2 = d_2 \sqrt{(p_1 - p_2)p_2} = 0.4 \sqrt{(p_1 - p_2)p_2}. \quad (18)$$

Die Gln. (10), (11), (12), (17), (18) bilden zusammen das vollständige Zustandsmodell, mit dessen Hilfe in den folgenden Abschnitten das Verhalten des Systems untersucht wird.

1.2. Lösung der nichtlinearen Modellgleichungen; Programm RUKU 4

- Für Verweise auf Programmzeilen in Programmablaufplänen und BASIC-Programmen gilt folgende Vereinbarung: Zeilennummern in Programmablaufplänen werden in Hochkommas eingeschlossen. Nicht derart gekennzeichnete Zeilennummern beziehen sich auf BASIC-Programme.

Das Gleichungssystem (13) bzw. in der Kurzdarstellung (14) ist ein System von n gewöhnlichen nichtlinearen Differentialgleichungen 1. Ordnung. [Die Gln. (15) bzw. (16) sind einfache algebraische Beziehungen, deren Auswertung keine besonderen Probleme mit sich bringt.]

Zur näherungsweisen Lösung von Differentialgleichungen und -systemen gibt es verschiedene Verfahren der numerischen Mathematik, die alle darauf beruhen, daß die kontinuierlich ablaufende Zeit t in eine Folge diskreter Zeitpunkte zerlegt wird, für die jeweils punktweise die Lösung berechnet wird (Bild 4). Die Abstände der diskreten Zeitpunkte, in der Mathematik gewöhnlich mit dem Symbol h bezeichnet, werden hier T genannt. Sie müssen im Verlaufe einer Rechnung nicht notwendigerweise konstant sein. Die Verfahrensfehler sind i. allg. um so kleiner, je kleiner T gewählt wird.

Von den verschiedenen bekannten Verfahren wird eine Methode nach Runge-Kutta ausgewählt, die auf unterschiedliche Weise dargestellt werden kann. Bild 5

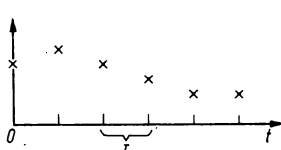


Bild 4. Diskretisierung der Zeit

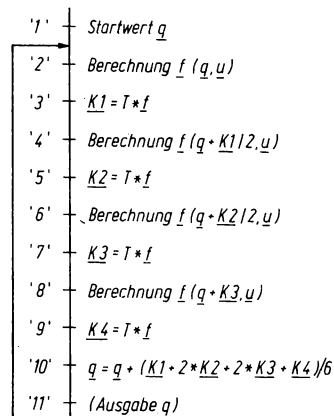


Bild 5. Algorithmus nach Runge-Kutta für $u = \text{const}$
Unterstrichene Symbole bedeuten Vektoren.

zeigt den Kern des Algorithmus als Programmablaufplan (PAP), und zwar für den Sonderfall, daß die Komponenten des Eingangsvektors u im betrachteten Zeitbereich konstant sind, also z.B. Sprungfunktionen darstellen, die im Startzeitpunkt t_0 ihren Wert gewechselt haben.

Zum Startzeitpunkt t_0 gehört der Startwert q des Zustandsvektors (Bild 5, Zeile '1'). Im Algorithmus taucht t_0 selber nicht auf, eben weil u als zeitunabhängig vorausgesetzt ist.

In Zeile '10' wird der neue Wert von q berechnet, der zum Zeitpunkt $t_0 + T$ gehört.

Dazu werden in den Zeilen '2' bis '9' vier Hilfsgrößen $K1$ bis $K4$ berechnet.

Soll der Algorithmus auch für zeitabhängige u gelten (z. B. $u_i = \sin \omega t$), dann sind einige Zeilen wie folgt zu ergänzen:

Zeile '1' Neben dem Startwert q ist auch der Startzeitpunkt t_0 vorzugeben;
 $t = t_0$
 Zeile '2' Berechnung $f(q, u(t))$
 Zeile '4' Berechnung $f(q + K1/2, u(t + T/2))$
 Zeile '6' Berechnung $f(q + K2/2, u(t + T/2))$
 Zeile '8' Berechnung $f(q + K3, u(t + T))$
 Zeile '10a' Einfügen: $t = t + T$.

Programm RUKU 4

```

10 REM LOESUNG NICHTLINEARES DGL-SYSTEM
20 INPUT "DIMENSION";N: DEFFN Q(X) = X*X: LET TP = Ø
30 DIM Q(N), X(N), F(N), K(4,N)
40 PRINT: PRINT "EINGABE ANFANGSWERTE": PRINT
50 FOR I = 1 TO N: INPUT Q(I): NEXT I
60 INPUT "EINGANGSAMPLITUDE";XE: INPUT "INDEX AUSGANGSGROESSE";R
70 INPUT "ZEITABSTAND";T: CLS
80 IF TP = Ø THEN PRINT TP, Q(R)
90 FOR K = Ø TO 25
100 FOR I = 1 TO N: LET X(I) = Q(I): NEXT I: GOSUB 25Ø
110 FOR I = 1 TO N: LET K(1,I) = T * F(I): LET X(I) = Q(I) + K(1,I)/2
120 NEXT I: GOSUB 25Ø
130 FOR I = 1 TO N: LET K(2,I) = T * F(I): LET X(I) = Q(I) + K(2,I)/2
140 NEXT I: GOSUB 25Ø
150 FOR I = 1 TO N: LET K(3,I) = T * F(I): LET X(I) = Q(I) + K(3,I)
160 NEXT I: GOSUB 25Ø: FOR I = 1 TO N
170 LET K(4,I) = T * F(I): LET Q(I) = Q(I) + (K(1,I) + 2 * K(2,I) + 2 * K(3,I) + K(4,I))/6
180 NEXT I: LET TP = TP + T: PRINT TP,Q(R)
190 NEXT K: INPUT "WEITERE WERTE J/N";I§
200 IF I§ = "J" GOTO 7Ø
210 END
250 REM PARAMETERUEBERGABE
260 LET KV = 1: LET PG = X(1): LET P1 = X(2): LET P2 = X(3): LET U = XE
270 REM FUNKTIONEN
280 LET F(1) = -Ø.Ø8 * PG + Ø.168 * FN Q(U) + Ø.ØØ8
290 LET F(2) = (Ø.7 * (PG - P1) - Ø.4 * SQR((P1 - P2) * P2))/4
300 IF P2 < = Ø.2 GOTO 32Ø
310 LET F(3) = (Ø.4 * SQR((P1 - P2) * P2) - Ø.25 * KV * P2)/3: RETURN
320 LET F(3) = (Ø.4 * SQR((P1 - P2) * P2) - Ø.5 * KV * SQR((P2 - Ø.1)/1Ø))/3
330 RETURN

```

Zur Umsetzung des Algorithmus in das BASIC-Programm RUKU 4 wird von Bild 5 ausgegangen. Allgemeingültig sind die Zeilen '1', '3', '5', '7', '9', '10', '11'. Sie hängen nicht ab vom konkreten Problem und werden im unveränderlichen Programmrumpf aufgenommen (Programm RUKU 4, Zeilen 100 bis 170). In den Zeilen '2', '4', '6', '8' werden dagegen die Werte der Funktionen f_i , symbolisch zusammengefaßt zum Funktionsvektor f , berechnet. Das sind die Funktionen der rechten Seiten des Gleichungssystems (13). Sie sind problemabhängig und müssen jedesmal neu programmiert werden. Dazu bringt man sie am besten in einem Unterprogramm unter (Zeilen 280 bis 330).

Die Vektoren q , f werden im BASIC-Programm durch Felder der Dimension N (Anzahl der Zustandsgleichungen) dargestellt: $Q(N)$, $F(N)$. Die K1 bis K4 werden zu einem Feld $K(4,N)$ zusammengefaßt. Ein weiteres Feld $X(N)$ ist notwendig, weil das Feld Q im Programm noch bis zur Zeile 150 benötigt wird und erst in Zeile 170 mit neuen Werten überspeichert werden darf. Die Variablen zur Übergabe an das Unterprogramm sind also $X(1)$ bis $X(N)$; sie werden in den Zeilen 100, 130, 150 gebildet.

Die im PAP Bild 5 symbolisch dargestellten Vektoroperationen müssen im Programmrumpf komponentenweise durch Laufanweisungen verwirklicht werden. Man vergleiche z. B. die Zeilen '5', '6' und 130, 140.

Das Unterprogramm auf den Zeilen 280 bis 330 wurde für die Lösung der Gln. (10) bis (12) geschrieben. Die Zeilen 280 bis 320 stellen die rechten Seiten dieser Gleichungen dar. Für die Veränderlichen wurden die technologischen Symbole in angepaßter Schreibweise (PG, P1, P2) verwendet. Im allgemein verwendbaren Programmrumpf heißen die Veränderlichen dagegen $X(1)$ bis $X(N)$; hier $N = 3$. In Zeile 260 muß daher zunächst eine Namensanpassung vom Hauptprogramm zum Unterprogramm erfolgen. Da das Gesamtprogramm u. a. dafür vorgesehen ist, die Reaktion eines Systems auf verschiedene Werte einer Eingangssprungamplitude zu berechnen, wird in Zeile 60 die Sprungamplitude XE eingegeben und in Zeile 260 der konkreten Größe \tilde{u} (Programmname U) zugewiesen. Sollte dagegen etwa die Reaktion auf sprungförmige Veränderungen von k_{VA} mit verschiedenen Amplituden untersucht werden, während $\tilde{u} = 0.8$ ist, wäre in Zeile 260 zu schreiben $KV = XE : U = \emptyset.8$.

Die übrigen Zeilen des Programms RUKU4 dienen dem Dialog mit dem Nutzer. Nach Eingabe der Anfangswerte der Zustandsgrößen (Zeilen '1' bzw. 50) kann in Zeile 70 ausgewählt werden, welche der drei Zustandsgrößen $Q(1) = PG$, $Q(2) = P1$, $Q(3) = P2$ in Zeile 180 zusammen mit der laufenden Zeit t (Programmname TP) auf dem Bildschirm dargestellt werden soll. Nach jeweils 25 Werten besteht die Möglichkeit, die jeweils folgenden mit einer ggf. veränderten Schrittweite T berechnen und ausgeben zu lassen bzw. die Rechnung zu beenden (Zeilen 190 bis 200, 70).

Ein mit diesem Programm berechneter Verlauf des Druckes p_2 ist im Bild 6 zu sehen, und zwar für folgende Bedingungen: Anfangszustand $p_G = p_1 = p_2 = \emptyset.1$ (das heißt Atmosphärendruck); Amplitude des sprungförmig vom Wert null eingeschalteten Eingangssignals $\tilde{u} : \emptyset.8$.

Versucht man dagegen, mit diesem Programm die Reaktion des Systems auf folgende Situation zu berechnen:

$$\text{Anfangsdrücke } p_G = 0.1, p_1 = 0.1, p_2 = 0.5, \tilde{u} = 0.8,$$

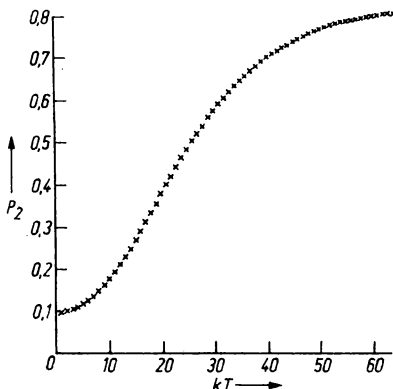


Bild 6. Druckverlauf p_2 nach einer sprungförmigen Erhöhung von \bar{u} vom Wert 0 auf 0,8
Anfangszustand: Atmosphärendruck

dann erhält man sofort Fehlermeldung (unzulässiges Funktionsargument in Zeile 290). Der Grund ist einfach: Nach diesen Anfangsbedingungen wäre $p_1 < p_2$; das Gas würde vom Speicher 5 zurück zum Speicher 4 fließen. Das ist im Modell nicht vorgesehen; Gl. (7), die der Zeile 290 zugrunde liegt, gilt nur für $p_1 \geq p_2$.

1.3. Bestimmung des stationären Arbeitspunktes

1.3.1. Aufgabenstellung

Um den stationären Arbeitspunkt des dynamischen Systems zu ermitteln, in dem alle Veränderlichen konstant sind, werden in den Zustandsgleichungen (13) die linken Seiten, d. h. die Ableitungen nach der Zeit, gleich null gesetzt. Das führt auf ein algebraisches Gleichungssystem mit mehreren Unbekannten, das gelöst werden muß. Die Gleichungen sind oftmals nichtlinear.

1.3.2. Lösungsalgorithmen; Rechenprogramm NEWT

Zur Lösung einer nichtlinearen Gleichung mit einer einzigen Unbekannten ist aus der Mathematik das Näherungsverfahren nach Newton bekannt (Bild 7). Gesucht ist die Nullstelle x^* einer nichtlinearen Funktion $f(x)$. Beginnt man mit einem Nä-

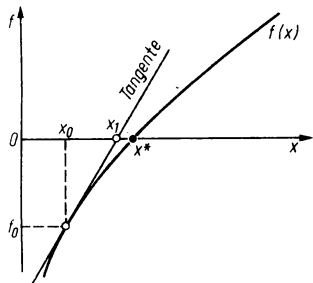


Bild 7. Lösungsverfahren nach Newton für eine nichtlineare Gleichung mit einer Unbekannten

herungswert x_0 , dann erhält man eine bessere Näherung x_1 aus dem Schnittpunkt der Tangente im Punkt x_0 an die Kurve $f(x)$ mit der Achse $f=0$. Die Steigung der Tangente ist gleich der Ableitung $f'(x)$ an der Stelle x_0 . Daraus ergibt sich das Newtonsche Verfahren in der Form

$$\begin{aligned} x_1 &= x_0 - [f'(x_0)]^{-1} f(x_0) \\ x_2 &= x_1 - [f'(x_1)]^{-1} f(x_1) \quad \text{usw.} \end{aligned} \quad (19)$$

Dieses Verfahren lässt sich auch für n Gleichungen mit n Unbekannten anwenden. Die Unterschiede sind folgende:

1. An die Stelle der einfachen (skalaren) Veränderlichen x tritt der Vektor \underline{x} mit n unbekannten Komponenten.
2. An die Stelle der skalaren Funktion f tritt der Funktionenvektor \underline{f} , der ebenfalls n Komponenten (Gleichungen) umfasst.
3. Anstelle einer einzigen Ableitung f' gibt es insgesamt n^2 Ableitungen. (Jede der n Funktionen ist nach jeder der n Veränderlichen abzuleiten.) Diese partiellen Ableitungen können zu einer Matrix \underline{Y} zusammengestellt werden.
4. An die Stelle der Multiplikation mit $[f']^{-1}$ in (19) muß jetzt die Multiplikation mit der inversen Matrix \underline{Y}^{-1} treten.

Das Newton-Verfahren (19) erhält damit die Form (20)

$$\begin{aligned} \underline{x}_1 &= \underline{x}_0 - \underline{Y}^{-1}(\underline{x}_0) \underline{f}(\underline{x}_0) \\ \underline{x}_2 &= \underline{x}_1 - \underline{Y}^{-1}(\underline{x}_1) \underline{f}(\underline{x}_1) \quad \text{usw.} \end{aligned} \quad (20)$$

Bild 8 zeigt diesen Algorithmus als PAP. Nach einer Vorgabe geeigneter Startwerte wird geprüft, ob schon eine Lösung vorliegt. Als Maß dafür dient die Erfüllung der Bedingung $\sum |f_i| \leq \text{eps}$ für alle $i = 1, \dots, n$ (Zeile '3'). Ist diese Bedingung nicht erfüllt, wird der Algorithmus nach (20) wiederholt abgearbeitet.

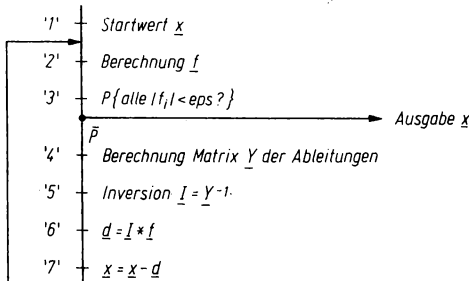


Bild 8. Programmablaufplan zum
Newton-Verfahren zur Lösung
nichtlinearer Gleichungssysteme

Programm NEWT

```

10 REM LOESUNG NICHTLINEARES GLEICHUNGSSYSTEM
20 INPUT "DELTA "; DEL: INPUT "DIMENSION "; N
30 DIM X(N), D(N), F(N), G(N), H(N), Z(N), E(N,N), I(N,N), Y(N,N): PRINT
40 DEFFN Q(X) = X*X: PRINT "STARTWERTE X(1) ...X(";N,")"
50 FOR P = 1 TO N: INPUT X(P): NEXT P : CLS
60 GOSUB 1000: LET D = 0: FOR P = 1 TO N: LET G(P) = F(P): PRINT G(P)
70 LET D = D + ABS(G(P)): NEXT P: PRINT
80 IF D < 1E-3 THEN CLS: PRINT "NULLSTELLEN": FOR P = 1 TO N: PRINT X(P):
NEXT P: END
  
```

```

90 FOR P = 1 TO N: LET X(P) = X(P) + DEL: GOSUB 1000
100 FOR J = 1 TO N: LET H(J) = F(J): NEXT J
110 LET X(P) = X(P) - 2 * DEL: GOSUB 1000
120 FOR J = 1 TO N: LET Y(J,P) = (H(J) - F(J))/DEL/2: NEXT J
130 LET X(P) = X(P) + DEL: NEXT P: GOSUB 500
140 FOR P = 1 TO N: LET D(P) = ∅
150 FOR J = 1 TO N: LET D(P) = D(P) + I(P,J)*G(J): NEXT J
160 LET X(P) = X(P) - D(P): NEXT P: GOTO 60
500 REM MATRIZENINVERSION
510 IF Y(1,1) = ∅ THEN PRINT "GLEICHUNGEN VERTAUSCHEN !": END
520 FOR I = 1 TO N: FOR J = 1 TO N: LET E(I,J) = ∅: NEXT J: LET E(I,I) = 1: NEXT I
530 FOR K = 1 TO N - 1: FOR I = K + 1 TO N: IF Y(I,K) = ∅ GOTO 560
540 LET Z(I) = Y(K,K)/Y(I,K): FOR L = 1 TO N: LET E(I,L) = E(K,L) - Z(I)*E(I,K)
550 NEXT L: FOR J = K TO N: LET Y(I,J) = Y(K,J) - Z(I)*Y(I,K): NEXT J
560 NEXT I: NEXT K: IF Y(N,N) = ∅ THEN PRINT "UNLOESBAR !": END
570 FOR L = 1 TO N: LET I(N,L) = E(N,L)/Y(N,N)
580 FOR J = N - 1 TO 1 STEP -1: LET S = ∅
590 FOR I = J + 1 TO N: LET S = S + Y(J,I)*I(I,L): NEXT I
600 LET I(J,L) = (E(J,L) - S)/Y(J,J): NEXT J: NEXT L: RETURN
1000 REM PARAMETERUEBERGABE
1010 LET PG = X(1): LET U = X(2): LET P1 = X(3): LET P2 = X(4)
1020 REM FUNKTIONSGLEICHUNGEN
1030 LET F(1) = 2.1 * FN Q(U) - PG + ∅.1
1040 LET F(2) = ∅.7 * PG - ∅.7 * P1 - ∅.4 * SQR((P1 - P2) * P2)
1050 LET F(3) = ∅.4 * SQR((P1 - P2) * P2) - ∅.25 * P2
1060 LET F(4) = ∅.2 - ∅.4 * SQR((P1 - P2) * P2)
1070 RETURN

```

Bei einer Umsetzung in das Rechenprogramm NEWT ist wieder zu beachten, daß die Funktionen f_i jeweils problemspezifisch programmiert werden müssen. Sie sind deshalb im Unterprogramm (Zeilen 1030 bis 1060) untergebracht. In der vorangehenden Zeile 1010 werden die allgemeingültigen Variablennamen $X(1)$ bis $X(N)$ aus dem Hauptprogramm den technologischen Variablennamen in den Funktionsgleichungen zugeordnet.

Im Hauptprogramm sind folgende Detailprobleme zu lösen:

1. Zeile '4': Berechnung der Matrix Y (Programmname: $Y(N,N)$)

Das Element $Y(J,P)$ dieses Feldes stellt die Ableitung der Funktion $F(J)$ nach der Veränderlichen $X(P)$ dar:

$$Y(J,P) = \frac{\partial F(J)}{\partial X(P)} ; \quad J, P = 1, \dots, N . \quad (21)$$

Diese Ableitungen werden numerisch gebildet. Dazu wird $X(P) = X(P) + \Delta$ gesetzt. Daraus wird der Wert der Funktion $F^+(J)$ berechnet (Programmname: $H(J)$) (Zeilen 90, 100). Als nächstes wird $X(P)$ vom Startwert um Δ vermindert; daraus berechnet man den Funktionswert $F^-(J)$ (Zeile 110).

Die gesuchte Ableitung (23) berechnet man dann aus

$$Y(J,P) = \frac{F^+(J) - F^-(J)}{2 * \Delta} \quad (\text{Zeile 120}).$$

2. Zeile '5': Berechnung der inversen Matrix $I = Y^{-1}$

Das ist ein Standardproblem der numerischen Mathematik, das in vielen Darstellungen beschrieben wird [6]. Das hierzu im Unterprogramm in den Zeilen 510 bis 600 enthaltene Inversionsprogramm verlangt der Einfachheit halber, daß das Element $Y(1,1)$ der zu invertierenden Matrix von null verschieden ist (Zeile 510). Das bedeutet: In der Funktion F(1) des Unterprogramms (Zeile 1030) muß die Variable X(1) enthalten sein. Da die Numerierung der Funktionen völlig beliebig ist, läßt sich diese Bedingung auf jeden Fall erfüllen.

Es kann sein, daß die Matrix Y nicht invertierbar ist. Dann erfolgt Programmabbruch in Zeile 560. Möglicherweise hilft dann ein Neustart mit anderen Näherungswerten weiter.

Die Bildung des Vektors d (Zeile '6') erfolgt in den Zeilen 140 und 150. Zeile '7' wird durch die Laufanweisung in Zeile 160 realisiert.

Im Dialog mit dem Rechner wird vor der Eingabe der Dimension N ein Zahlenwert für Delta verlangt. Er sollte klein gegenüber den Beträgen der X(P) sein. Die einzugebenden Startwerte (Zeilen 40, 50) sollten in der Nähe der vermuteten Lösungswerte liegen, die oftmals aus technologischen Erwägungen abgeschätzt werden können.

Im Verlauf der Rechnung werden jeweils die N Werte der Funktionen F(J) ausgegeben (Zeile 60). Daran kann man den Fortschritt der Rechnung verfolgen; die Werte müssen betragsmäßig kleiner werden als die Abbruchschanke eps, die im Programm in Zeile 80 mit 10^{-3} festgesetzt worden ist.

1.3.3. Anwendungsbeispiel

Im Programm NEWT wurden die Gleichungen des problemspezifischen Unterprogramms ab Zeile 1000 für folgende Aufgabe aus dem Beispiel nach Bild 1 formuliert: Der Sollwert des Durchflusses \dot{V}_2 soll 0.2 betragen. Gesucht sind die dazugehörigen stationären Werte von p_G , \tilde{u} , p_1 und p_2 . Die Gleichungen zur Bestimmung dieser vier Unbekannten ergeben sich aus den rechten Seiten des Zustandsgleichungssystems (10) bis (12a), jeweils multipliziert mit konstanten Faktoren (12.5; 4; 3) (Funktionen F(1) bis F(3)). Die Funktion F(4) ergibt sich aus der Forderung $\dot{V}_2 = 0.2$ mit (18) für $\dot{V}_2 = x_2$. Zu beachten ist, daß alle Gleichungen im Unterprogramm in der Form $F(J) = \emptyset$ geschrieben werden müssen.

Die Lösung der Aufgabe ergab mit den Eingaben $DELTA = 0.01$ und den Startwerten $X(1) = 2$, $X(2) = 1$, $X(3) = 1.5$, $X(4) = 1$ nach drei Iterationen die in Tafel 3 zusammengestellten Werte für den stationären Arbeitspunkt des Systems.

$$\begin{aligned}\bar{u} &= 0.7865 ; \bar{k}_{VA} = 1 ; p_G = 1.3982 ; p_1 = 1.1125 ; \\ p_2 &= 0.8\end{aligned}$$

Tafel 3. Stationärer Arbeitspunkt

1.4. Linearisierung des Zustandsmodells; Programm LIN

Viele Methoden zur Untersuchung der Systemdynamik basieren auf linearen Modellen. Die i. allg. nichtlinearen Funktionen f_i in (13) und g_i in (15) werden deshalb durch lineare ersetzt, die in der Umgebung eines vorgegebenen Arbeitspunktes mit

den Koordinaten q_0, u_0, x_0 gelten. Meist wird als Arbeitspunkt der stationäre Punkt nach Abschn. 1.3. gewählt.

Die linearisierte Form der Gleichungen (13) lautet

$$\begin{aligned}\frac{dq_1}{dt} &= a_{11}q_1 + a_{12}q_2 + \dots + a_{1n}q_n + b_{11}u_1 + \dots + b_{1m}u_m \\ &\vdots \\ \frac{dq_n}{dt} &= a_{n1}q_1 + a_{n2}q_2 + \dots + a_{nn}q_n + b_{n1}u_1 + \dots + b_{nm}u_m\end{aligned}\quad (22)$$

und die der Gleichungen (15)

$$\begin{aligned}x_1 &= c_{11}q_1 + c_{12}q_2 + \dots + c_{1n}q_n + d_{11}u_1 + \dots + d_{1m}u_m \\ &\vdots \\ x_p &= c_{p1}q_1 + c_{p2}q_2 + \dots + c_{pn}q_n + d_{p1}u_1 + \dots + d_{pm}u_m.\end{aligned}\quad (23)$$

Faßt man die Koeffizienten $a_{ij}, b_{ij}, c_{ij}, d_{ij}$ in (22) und (23) zu Matrizen A, B, C, D zusammen, dann läßt sich für (14) und (15) kurz schreiben:

Zustandsgleichung

$$\frac{dq}{dt} = A q + B u \quad (24)$$

Ausgabegleichung

$$x = C q + D u. \quad (25)$$

Die Veränderlichen q, u, x in (22) bis (25) stellen dabei die Abweichungen von den Arbeitspunkten dar. A heißt Systemmatrix, B Steuermatrix, C Beobachtungsmatrix, D Durchgangsmatrix. Die Formate der Matrizen sind aus (22) und (23) ablesbar. Im BASIC-Programm LIN werden die Matrizen durch die Felder $A(N,N), B(N,M), C(P,N), D(P,M)$ repräsentiert. Die Elemente dieser Felder, das sind die Koeffizienten der linearisierten Gleichungssysteme (22), (23), berechnen sich nach (26) bis (29):

$$A(I,J) = \frac{\partial F(I)}{\partial Q(J)} ; \quad I, J = 1, \dots, N \quad (26)$$

$$B(I,J) = \frac{\partial F(I)}{\partial U(J)} ; \quad I = 1, \dots, N, \quad J = 1, \dots, M \quad (27)$$

$$C(I,J) = \frac{\partial G(I)}{\partial Q(J)} ; \quad I = 1, \dots, P, \quad J = 1, \dots, N \quad (28)$$

$$D(I,J) = \frac{\partial G(I)}{\partial U(J)} ; \quad I = 1, \dots, P, \quad J = 1, \dots, M. \quad (29)$$

Die Werte der Ableitungen sind dabei an den jeweiligen Arbeitspunkten zu bilden. Die Gl. (26) bis (29) entsprechen völlig (21). Die Ableitungen werden numerisch deshalb genau so ermittelt, wie es im Abschn. 1.3.2. im Anschluß an (21) beschrieben worden ist.

Programm LIN

```

10 REM BERECHNUNG ZUSTANDSMATRIZEN A, B, C, D
20 INPUT "N, M, P "; N,M,P : DEFFN Q(X)=X * X:PRINT
30 DIM A(N,N), B(N,M), C(P,N), D(P,M), F(N + P), H(N + P), V(N + M)
40 INPUT "DELTA "; DEL : PRINT : PRINT
50 PRINT "ARBEITSPUNKTKOORDINATEN 1 ..."; N + M
60 FOR I = 1 TO N + M: INPUT V(I): NEXT I:CLS
70 FOR I = 1 TO N + M: LET V(I) = V(I) + DEL: GOSUB 500
80 FOR J = 1 TO N + P: LET H(J) = F(J): NEXT J
90 LET V(I) = V(I) - 2 * DEL: GOSUB 500
100 FOR J = 1 TO N + P: IF I > N GOTO 130
110 IF J > N GOTO 150
120 LET A(J,I) = (H(J) - F(J))/DEL/2: GOTO 170
130 IF J > N GOTO 160
140 LET B(J,I - N) = (H(J) - F(J))/DEL/2: GOTO 170
150 LET C(J - N,I) = (H(J) - F(J))/DEL/2: GOTO 170
160 LET D(J - N,I - N) = (H(J) - F(J))/DEL/2
170 NEXT J: LET V(I) = V(I) + DEL: NEXT I
180 PRINT "ZUSTANDSMATRIX A": PRINT
190 FOR I = 1 TO N: FOR J = 1 TO N: PRINT TAB(11 * (J - 1));A(I,J);
200 NEXT J: PRINT: NEXT I
210 PRINT "STEUERMATRIX B": PRINT
220 FOR I = 1 TO N: FOR J = 1 TO M: PRINT TAB(11 * (J - 1));B(I,J);
230 NEXT J: PRINT: NEXT I: PAUSE (0): CLS
240 PRINT: PRINT: PRINT "BEOBACHTUNGSMATRIX C": PRINT
250 FOR I = 1 TO P: FOR J = 1 TO N: PRINT TAB(11 * (J - 1));C(I,J);
260 NEXT J: PRINT: NEXT I
270 PRINT: PRINT: PRINT "DURCHGANGSMATRIX D": PRINT
280 FOR I = 1 TO P: FOR J = 1 TO M: PRINT TAB(11 * (J - 1));D(I,J);
290 NEXT J: PRINT: NEXT I: END
500 REM PARAMETERUEBERGABE
510 LET PG = V(1): LET P1 = V(2): LET P2 = V(3): LET U = V(4): LET KVA = V(5)
520 REM RECHTE SEITEN DER ZUSTANDS- UND AUSGABEGLEICHUNGEN
530 LET F(1) = .168 * FN Q(U) - .008 * PG + .008
540 LET F(2) = .25 * (.7 * PG - .7 * P1 - .4 * SQR((P1 - P2) * P2))
550 LET F(3) = .333 * (.4 * SQR((P1 - P2) * P2 - .25 * KVA * P2))
560 LET F(4) = P2
570 LET F(5) = .4 * SQR((P1 - P2) * P2)
580 RETURN

```

Das Programm LIN besteht wie alle bisher behandelten Programme aus einem allgemeingültigen Teil (Zeilen 10 bis 290) und aus dem problemspezifischen jeweils neu zu programmierenden Unterprogramm, das die Funktionen f_i und g_i des jeweils zu linearisierenden Zustandsmodells darstellt (Zeilen 520 bis 580). Diesen vorangestellt ist die Zeile 510, die die allgemeingültigen Namen der Programmvariablen aus dem Hauptprogramm mit den technologischen Variablennamen im Unterprogramm verknüpft. Im Hauptprogramm wird nicht zwischen Zustandsgrößen q und Steuergrößen u unterschieden; beide werden vielmehr zu einem Feld $V(N + M)$ zusammengefaßt. Die ersten N Elemente dieses Feldes repräsentieren die Zustandsgrößen, die restlichen M die Steuergrößen (vgl. Zeile 510).

Ebenso werden die rechten Seiten von (13) und (15) zu einem Funktionenvektor

$F(N + P)$ zusammengefaßt, dessen erste N Gleichungen die Funktionen f_i und die restlichen P die Funktionen g_i darstellen.

Im Programm LIN wurden die Zeilen 50 bis 58 für das Beispielsystem mit $N = 3$, $M = 2$, $P = 2$ geschrieben. $F(1)$ bis $F(3)$ sind deshalb die rechten Seiten von (10) bis (12a); $F(4)$ und $F(5)$ entsprechen (17) und (18).

Im Programm werden nacheinander alle $(N + P) * (N + M)$ Ableitungen gebildet (Zeilen 70 bis 90). Durch entsprechende Indexverschiebungen werden die berechneten Werte in die Felder A, B, C, D eingeordnet (Zeilen 120 bis 160).

Bei den Eingaben wird zuerst ein Wert für Delta verlangt, dann die Koordinaten des Arbeitspunkts in der Reihenfolge der technologischen Variablen, wie sie aus Zeile 51 ablesbar ist.

Für das Beispiel ergaben sich mit $\Delta = 0.01$ und den Arbeitspunktkoordinaten nach Tafel 3 die in Tafel 4 zusammengestellten Matrizen. Gegenüber der Rechnerausgabe wurden die Zahlenwerte auf 4 Stellen hinter dem Dezimalpunkt gerundet.

Tafel 4. Matrizen des im stationären Arbeitspunkt linearisierten Zustandsmodells

$$A = \begin{pmatrix} -0.08 & 0 & 0 \\ 0.175 & -0.255 & 0.04876 \\ 0 & 0.1066 & -0.1482 \end{pmatrix} \quad B = \begin{pmatrix} 0.2643 & 0 \\ 0 & 0 \\ 0 & -0.066 \end{pmatrix}$$

$$C = \begin{pmatrix} 0 & 0 & 1 \\ 0 & 0.32 & -0.195 \end{pmatrix} \quad D = \begin{pmatrix} 0 & 0 \\ 0 & 0 \end{pmatrix}$$

1.5. Zustandsmodell des geschlossenen Regelkreises

Oftmals bestehen komplexe Systeme aus Teilsystemen, die jeweils durch ihre Zustandsmodelle beschrieben werden. Dann kann für das Gesamtsystem ein einziges Zustandsmodell konstruiert werden, das die Teilmodelle zusammenfaßt.

Dieser Fall liegt beispielsweise beim Regelkreis nach Bild 9 vor. Für die Regelstrecke existiere ein Zustandsmodell, das mit dem des Reglers zu einem Gesamtmodell zusammengebaut werden kann. Aus dem Gesamtmodell kann das dynamische Verhalten des Regelkreises berechnet werden (s. Abschn. 3.2.).

Für den Regler kann ein allgemeines Zustandsmodell angesetzt werden. Hier sollen aber nur die üblichen PID-Regler betrachtet werden. Hinsichtlich der Einsatzmöglichkeiten eines D-Anteils gibt es Einschränkungen zu beachten.

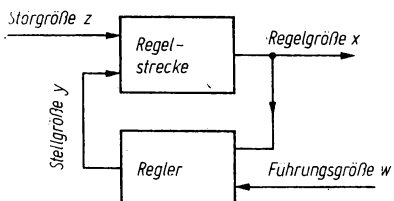


Bild 9. Blockdiagramm eines Regelkreises

Zustandsmodell der Regelstrecke

Die Regelstrecke wird beschrieben durch einen Zustandsvektor q (n Komponenten), ihre Ausgangsgröße x (Regelgröße) und die beiden Eingangsgrößen y (Stellgröße) und z (Störgröße).

Im allgemeinen linearen Zustandsmodell (24) wird die Steuermatrix B deshalb aufgeteilt in die beiden Spaltenvektoren b_y und b_z , die zu den Eingangsgrößen y und z gehören:

$$\frac{dq}{dt} = A q + b_y y + b_z z . \quad (30)$$

Es existiert eine einzige Ausgabegleichung (25) für die Ausgangsgröße x . Aus der Beobachtungsmatrix C wird deshalb ein Zeilenvektor c^T ; aus der Durchgangsmatrix D werden die beiden Durchgangskoeffizienten d_y und d_z . Damit erhält die Ausgabegleichung die Form

$$x = c^T q + d_y y + d_z z . \quad (31)$$

Sind die Koeffizienten d_y, d_z von null verschieden, dann ist das System *sprungfähig*, d. h., ein Sprung von y oder z tritt ebenfalls als Sprung am Ausgang x in Erscheinung. In diesem Fall ist ein D-Anteil im Regler nicht angebracht.

Ist $d_y = d_z = 0$, dann zeigt die Regelstrecke reines Verzögerungsverhalten, und ein D-Anteil kann vorteilhaft sein.

1.5.1. Sprungfähiges System; Regler ohne D-Anteil

Der Regler (Bild 9) hat die beiden Eingangsgrößen Istwert x und Führungsgröße w . Sein Ausgangssignal ist y .

Ein PI-Regler wird durch ein Zustandsmodell mit einer Zustandsgröße q_R beschrieben:

$$\frac{dq_R}{dt} = x - w . \quad (32)$$

Seine Ausgabegleichung lautet

$$y = -K_p x - K_i q_R + K_p w . \quad (33)$$

K_p, K_i sind die Reglerparameter. Für einen reinen P-Regler entfällt (32), und in (33) wird $K_i = 0$.

Durch Einsetzen von x gemäß (31) in (33) erhält man

$$y = -K_p(c^T q + d_y y + d_z z) - K_i q_R + K_p w$$

bzw.

$$y = -K_p c_0 c^T q - K_i c_0 q_R - K_p c_0 d_z z + K_p c_0 w . \quad (34)$$

Dabei gilt die Abkürzung $c_0 = 1/(1 + K_p d_y)$.

Setzt man y gemäß (34) in (30) ein, dann ergibt sich

$$\frac{dq}{dt} = (A - K_p c_0 b_y c^T) q - K_i c_0 b_y q_R + K_p c_0 b_y w + (b_z - K_p c_0 d_z b_y) z . \quad (35)$$

Durch Einsetzen von x in die Zustandsgleichung des Reglers (32) erhält man

$$\frac{dq_R}{dt} = (1 - K_P c_0 d_y) c^T q - K_I c_0 d_y q_R + (K_P c_0 d_y - 1) w + (1 - K_P c_0 d_y) z . \quad (36)$$

Schließlich kann man noch y – s. Gl. (33) – in die Ausgabegleichung (31) einsetzen und bekommt

$$x = c_0 c^T q - K_I c_0 d_y q_R + K_P c_0 d_y w + c_0 d_z z . \quad (37)$$

Wegen der Gültigkeit der Beziehung $1 - K_P c_0 d_y = c_0$ lassen sich (36) und (37) noch vereinfachen. Man erhält schließlich

$$\frac{dq}{dt} = (A - K_P c_0 b_y c^T) q - K_I c_0 b_y q_R + K_P c_0 b_y w + (b_z - K_P c_0 d_z b_y) z$$

$$\frac{dq_R}{dt} = c_0 c^T q - K_I c_0 d_y q_R - c_0 w + c_0 d_z z \quad (38)$$

$$x = c_0 c^T q - K_I c_0 d_y q_R + (1 - c_0) w + c_0 d_z z . \quad (39)$$

Die beiden Gleichungen (38) sind das Zustandsmodell für den Regelkreis mit dem Regelkreiszustandsvektor

$$q^* = \begin{pmatrix} q \\ q_R \end{pmatrix},$$

der die Dimension $n + 1$ hat. Die Ausgangsgröße ist die Regelgröße x ; die Regelkreiseingangsgrößen sind die Führungsgröße w und die Störgröße z . Gl. (39) ist die Ausgabegleichung für den Regelkreis.

Für die Matrizen des Regelkreises lässt sich aus (38) und (39) ablesen:

$$A^* = \begin{pmatrix} A - K_P c_0 b_y c^T & -K_I c_0 b_y \\ c_0 c^T & -K_I c_0 d_y \end{pmatrix} \quad (40)$$

$$b_w^* = \begin{pmatrix} K_P c_0 b_y \\ -c_0 \end{pmatrix}, \quad b_z^* = \begin{pmatrix} b_z - K_P c_0 d_z b_y \\ c_0 d_z \end{pmatrix} \quad (41)$$

$$c^{*T} = (c_0 c^T \quad -K_I c_0 d_y) \quad (42)$$

$$d_w^* = 1 - c_0, \quad d_z^* = c_0 d_z \quad (43)$$

1.5.2. Regler mit D-Anteil

Bedingung ist $d_y = d_z = 0$. Damit lautet die Ausgabegleichung der Regelstrecke einfach

$$x = c^T q, \quad (44)$$

während die Zustandsgleichung durch (30) gegeben ist. Für einen PID-Regler gilt

ebenfalls die Reglerzustandsgleichung (32), während der D-Anteil in seiner Ausgleichung zum Ausdruck kommt:

$$y = -K_P x - K_I q_R - K_D \dot{x} + K_P w. \quad (45)$$

Das D-Verhalten soll sich nur auf die Regelgröße, nicht dagegen auf den Sollwert erstrecken, was sonst bei Führungsgrößensprüngen zu Schwierigkeiten führen könnte.

Für \dot{x} erhält man mit (44)

$$\dot{x} = \frac{dx}{dt} = c^T \frac{dq}{dt}.$$

Setzt man diesen Ausdruck in (45) und die damit erhaltene Beziehung für y wiederum in (30) ein, dann erhält man

$$\frac{dq}{dt} = Aq + b_y \left(-K_P c^T q - K_I q_R - K_D c^T \frac{dq}{dt} \right) + K_P b_y w + b_z z.$$

Bringt man das Glied mit $\frac{dq}{dt}$ auf die linke Seite und klammert aus, dann bekommt man mit E für die Einheitsmatrix

$$(E + K_D b_y c^T) \frac{dq}{dt} = (A - K_P b_y c^T) q - K_I b_y q_R + K_P b_y w + b_z z$$

$$\frac{dq_R}{dt} = c^T q - w. \quad (46)$$

Mit der Matrix

$$M = \begin{pmatrix} E + K_D b_y c^T & 0 \\ 0 & 1 \end{pmatrix} \quad (47)$$

lässt sich das System (46) in folgender Form schreiben:

$$M \begin{pmatrix} \frac{dq}{dt} \\ \frac{dq_R}{dt} \end{pmatrix} = \begin{pmatrix} A - K_P b_y c^T & -K_I b_y \\ c^T & 0 \end{pmatrix} \begin{pmatrix} q \\ q_R \end{pmatrix} + \begin{pmatrix} K_P b_y \\ -1 \end{pmatrix} w + \begin{pmatrix} b_z \\ 0 \end{pmatrix} z.$$

Werden alle Glieder dieser Gleichung von links mit der Inversen M^{-1} multipliziert, dann ergibt sich auf der linken Seite

$$\begin{pmatrix} \frac{dq}{dt} \\ \frac{dq_R}{dt} \end{pmatrix} = \frac{dq^*}{dt},$$

und man erkennt die Bildungsgesetze für die Matrizen des Regelkreises mit dem Zustandsmodell

$$\frac{dq^*}{dt} = A^* q^* + b_w^* w + b_z^* z \quad (48)$$

$$x = c^{*T} q^*$$

$$\mathbf{A}^* = \mathbf{M}^{-1} \begin{pmatrix} \mathbf{A} - \mathbf{K}_p \mathbf{b}_y \mathbf{c}^T - \mathbf{K}_l \mathbf{b}_y \\ \mathbf{c}^T \\ 0 \end{pmatrix} \quad (49)$$

$$\mathbf{b}_w^* = \mathbf{M}^{-1} \begin{pmatrix} \mathbf{K}_p \mathbf{b}_y \\ -1 \end{pmatrix}, \quad \mathbf{b}_z^* = \mathbf{M}^{-1} \begin{pmatrix} \mathbf{b}_z \\ 0 \end{pmatrix} \quad (50)$$

$$\mathbf{c}^{*T} = (\mathbf{c}^T \quad 0) . \quad (51)$$

1.5.3. Rechenprogramm KRSMAT

Die in den Abschnitten 1.5.1. und 1.5.2. behandelten Fälle schließen sich gegenseitig aus. Daher kann man die Beziehungen zur Berechnung der Matrizen auch zusammenfassen

– aus (40) und (49)

$$\mathbf{A}^* = \mathbf{M}^{-1} \begin{pmatrix} \mathbf{A} - c_0 \mathbf{K}_p \mathbf{b}_y \mathbf{c}^T - c_0 \mathbf{K}_l \mathbf{b}_y \\ c_0 \mathbf{c}^T \\ -c_0 \mathbf{K}_l \mathbf{d}_y \end{pmatrix} \quad (52)$$

– aus (41) und (50)

$$\mathbf{b}_w^* = \mathbf{M}^{-1} \begin{pmatrix} c_0 \mathbf{K}_p \mathbf{b}_y \\ -c_0 \end{pmatrix}, \quad \mathbf{b}_z^* = \mathbf{M}^{-1} \begin{pmatrix} \mathbf{b}_z - c_0 \mathbf{K}_p \mathbf{d}_z \mathbf{b}_y \\ c_0 \mathbf{d}_z \end{pmatrix} \quad (53)$$

– aus (42) und (51)

$$\mathbf{c}^{*T} = (c_0 \mathbf{c}^T \quad -c_0 \mathbf{K}_l \mathbf{d}_y) . \quad (54)$$

Schließlich gilt

$$d_y^* = 1 - c_0, \quad d_z^* = c_0 d_z .$$

Dabei gilt wechselseitig entweder

$$\begin{aligned} d_y, d_z &\neq 0, \quad K_D = 0, \quad M = E \quad \text{oder} \\ d_y &= d_z = 0, \quad K_D \neq 0, \quad c_0 = 1 . \end{aligned}$$

Programm KRSMAT

```

10 REM BERECHNUNG DER MATRIZEN DES GESCHLOSSENEN REGELKREISES
20 REM STRECKENEINGANGSGROESSE 1: STELLGROESSE, 2: STOERGROESSE
30 REM KREISEINGANGSGROESSE 1: FUEHRUNGSGROESSE, 2: STOER-
   GROESSE
40 INPUT "DIMENSION N"; N: LET KD = 0
50 DIM AE(N,N), BE(N,2), CE(N), DE(2), A(N + 1,N + 1), B(N + 1,2), C(N + 1), D(2)
60 DIM E(N + 1, N + 1), I(N + 1,N + 1), R(N + 1), M(N + 1,N + 1)
70 PRINT "EINGABEN": PRINT
80 FOR I = 1 TO N: FOR J = 1 TO N: PRINT "A(";I,J,")";: INPUT AE(I,J)
90 NEXT J: NEXT I: PRINT
100 FOR I = 1 TO N: FOR J = 1 TO 2: PRINT "B(";I,J,")";: INPUT BE(I,J)
110 NEXT J: NEXT I: PRINT
120 FOR I = 1 TO N: PRINT "CT";I,: INPUT CE(I): NEXT I: PRINT
130 FOR I = 1 TO 2: PRINT "D";I,: INPUT DE(I): NEXT I: CLS

```

```

140 IF DE(1) =  $\emptyset$  AND DE(2) =  $\emptyset$  THEN LET SD = 1
150 PRINT "REGLERPARAMETER": INPUT "KP"; KP: INPUT "KI"; KI
160 REM D-ANTEIL NUR MOEGLICH, WENN DURCHGANGSMATRIX =  $\emptyset$ 
170 IF SD THEN INPUT "KD"; KD
180 LET CO = 1/(1 + KP * DE(1))
190 FOR I = 1 TO N: FOR J = 1 TO N: LET A(I,J) = AE(I,J) - KP * CO * BE(I,1) * CE(J):
NEXT J
200 LET A(I,N + 1) = -KI * CO * BE(I,1): LET A(N + 1,I) = CO * CE(I)
210 LET B(I,1) = KP * CO * BE(I,1): LET B(I,2) = BE(I,2) - KP * CO * DE(2)
220 LET C(I) = CO * CE(I): NEXT I
230 LET A(N + 1,N + 1) = -KI * CO * DE(1): LET B(N + 1,1) = -CO: LET B(N + 1,2)
= CO * DE(2)
240 LET C(N + 1) = -KI * CO * DE(1): LET D(1) = KP * CO * DE(1): LET D(2)
= CO * DE(2)
250 IF KD =  $\emptyset$  GOTO 470
260 FOR I = 1 TO N: LET E(I,I) = 1: FOR J = 1 TO N
270 LET M(I,J) = E(I,J) + KD * BE(I,1) * CE(J): NEXT J
280 LET M(I,N + 1) =  $\emptyset$ : LET M(N + 1,I) =  $\emptyset$ : NEXT I
290 LET M(N + 1,N + 1) = 1: LET E(N + 1,N + 1) = 1
300 REM INVERSION
310 FOR K = 1 TO N: FOR I = K + 1 TO N + 1: IF M(I,K) =  $\emptyset$  GOTO 350
320 LET R(I) = M(K,K)/M(I,K)
330 FOR L = 1 TO N + 1: LET E(I,L) = E(K,L) - R(I) * E(I,L): NEXT L
340 FOR J = K TO N + 1: LET M(I,J) = M(K,J) - R(I) * M(I,J): NEXT J
350 NEXT I: NEXT K
360 FOR L = 1 TO N + 1: LET I(N + 1,L) = E(N + 1,L)/M(N + 1,N + 1)
370 FOR J = N TO 1 STEP -1: LET S =  $\emptyset$ : FOR I = J + 1 TO N + 1
380 LET S = S + M(J,I) * I(I,L): NEXT I
390 LET I(J,L) = (E(J,L) - S)/M(J,J): NEXT J: NEXT L
400 FOR I = 1 TO N + 1: FOR J = 1 TO N + 1: LET M(I,J) =  $\emptyset$ 
410 FOR L = 1 TO N + 1: LET M(I,J) = M(I,J) + I(I,L) * A(L,J): NEXT L
420 NEXT J: NEXT I: FOR I = 1 TO N + 1: FOR J = 1 TO N + 1
430 LET A(I,J) = M(I,J): NEXT J: NEXT I
440 FOR I = 1 TO N + 1: FOR J = 1 TO 2: LET M(I,J) =  $\emptyset$ : FOR L = 1 TO N + 1
450 LET M(I,J) = M(I,J) + I(I,L) * B(L,J): NEXT L: NEXT J: NEXT I
460 FOR I = 1 TO N + 1: FOR J = 1 TO 2: LET B(I,J) = M(I,J): NEXT J: NEXT I
470 CLS: PRINT "ZUSTANDSMATRIX A *": PRINT
480 FOR I = 1 TO N + 1: FOR J = 1 TO N + 1: PRINT TAB(11 * (J - 1)); A(I,J);
490 NEXT J: PRINT: NEXT I: PRINT: PAUSE(50)
500 PRINT "STEUERMATRIX B *": PRINT
510 FOR I = 1 TO N + 1: FOR J = 1 TO 2: PRINT TAB(11 * (J - 1)); B(I,J);
520 NEXT J: PRINT: NEXT I: PRINT: PAUSE(50)
530 PRINT "BEOBACHTUNGSVEKTOR CT *": PRINT
540 FOR I = 1 TO N + 1: PRINT TAB(11 * (I - 1)); C(I);: NEXT I: PRINT
550 IF SD THEN PRINT "DURCHGANGSMATRIX =  $\emptyset$ ": END
560 PRINT "DURCHGANGSVEKTOR DT *": PRINT
570 FOR I = 1 TO 2: PRINT TAB(11 * (I - 1)); D(I);: NEXT I: END

```

Im Programm KRSMAT wird von den Beziehungen (47), (52) bis (54) zur Berechnung der Matrizen A^* (Programmname $A(N + 1, N + 1)$), $B^* = (b_w^* \ b_z^*)$ (Programmname $B(N + 1, 2)$), C^{*T} (Programmname $C(N + 1)$) und $D^{*T} = (d_w^* \ d_z^*)$ (Programmname $D(2)$) ausgegangen. Die Berechnung geschieht in den Programmzeilen 180

bis 240. Für Regler ohne I-Anteil benötigt die Matrix A^* nur n Zeilen und Spalten; die Ordnung des Systems erhöht sich nicht. Auf diese Fallunterscheidung wurde jedoch verzichtet. Wird das Programm KRSMAT auf Regelkreise mit Reglern ohne I-Anteile angewendet, dann besteht die letzte Spalte von A^* nur aus Nullen. Die in Zeile 80 einzugebenden Matrizen des Streckenmodells tragen die Programmnamen AE, BE, CE, DE. Durch die Fallunterscheidung $d_y = d_z = 0$ wird die Eingabe eines D-Anteils in die Reglergleichung nur dann ermöglicht, wenn diese Frage positiv beantwortet wurde (Zeilen 140, 170).

Die in den Zeilen 180 bis 240 u. a. berechneten Matrizen A^* und B^* müssen noch mit der Matrix M^{-1} multipliziert werden. Setzt man bei der Berechnung von M (Programmname $M(N+1, N+1)$) in Zeilen 260 bis 290 nach (47) $K_D = 0$, dann erhält man die Einheitsmatrix, deren Inversion in den Zeilen 300 bis 390 wiederum die Einheitsmatrix ergibt. (Das Inversionsprogramm ist gleich dem im Programm NEWT verwendeten.) Die Inverse hat den Programmnamen $I(N+1, N+1)$. Da Berechnung von M und Inversion jedoch bei $K_D = 0$ unnötig sind, werden die entsprechenden Programmzeilen durch die Fallunterscheidung in Zeile 250 ggf. übergangen. Ansonsten erfolgt in den Zeilen 400 bis 460 die Multiplikation mit der Inversen I .

Die Anwendung des Programms KRSMAT auf das Beispiel mit den Systemmatrizen nach Tafel 4 ergab die in Tafel 5 zusammengestellten Ergebnisse.

Tafel 5. Matrizen des geschlossenen Regelkreises

a) P-Regler, $K_P = 8$

$$A^* = \begin{pmatrix} -0.08 & -0.6766 & -0.4123 & 0 \\ 0.175 & -0.255 & 0.04876 & 0 \\ 0 & 0.1066 & -0.1482 & 0 \\ 0 & 0.32 & -0.195 & 0 \end{pmatrix} \quad B^* = \begin{pmatrix} 2.1144 & 0 \\ 0 & 0 \\ 0 & -0.066 \\ -1 & 0 \end{pmatrix}$$

$$c^{T*} = (0 \quad 0.32 \quad -0.195 \quad 0)$$

$$d^* = 0$$

b) PI-Regler, $K_P = 7$, $K_I = 0.75$

$$A^* = \begin{pmatrix} -0.08 & -0.592 & 0.3608 & -0.1982 \\ 0.175 & -0.255 & 0.04876 & 0 \\ 0 & 0.1066 & -0.1482 & 0 \\ 0 & 0.32 & -0.195 & 0 \end{pmatrix} \quad B^* = \begin{pmatrix} 1.8501 & 0 \\ 0 & 0 \\ 0 & -0.06 \\ -1 & 0 \end{pmatrix}$$

$$c^{T*} = (0 \quad 0.32 \quad -0.195 \quad 0)$$

$$d^* = 0$$

1.6. Rauschvorgänge

Stochastische, vom Zufall abhängende Einflußgrößen eines dynamischen Systems kommen sehr oft vor. Zustandsmodelle geben eine günstige Möglichkeit, solche Signale zu beschreiben. Ausgegangen wird von der Modellvorstellung eines „weißen

Rauschens“ w. Das ist ein Rauschprozeß, bei dem zwischen zwei zeitlich beliebig eng benachbarten Signalwerten absolut kein Zusammenhang, keinerlei Korrelation existiert. Physikalisch realisierbar ist ein solcher Prozeß im kontinuierlichen Fall allerdings nicht, wohl aber im diskontinuierlichen (s. Abschn. 3.2.2.). Von Interesse ist aber vor allem das sog. „farbige Rauschen“, das aus dem weißen Rauschen durch Signalfilterung hervorgebracht werden kann. Als einfachste Signalfilter kommen die aus der Regelungstechnik bekannten Verzögerungsglieder 1. und höherer Ordnung, aber auch Bandpässe und andere Filter in Betracht. Für jedes dieser Filter kann eine Zustandsgleichung geschrieben werden mit q_R als dem Zustandsvektor, w , dem weißen Rauschsignal, als der Eingangsgröße und x_R , dem gefilterten Rauschsignal, als der Ausgangsgröße (55).

$$\begin{aligned} \frac{dq_R}{dt} &= A_R q_R + b_R w \\ x_R &= c_R^T q_R \end{aligned} \quad (55)$$

Tafel 6 gibt für einige einfachste Rauschfilter die Werte der Modellparameter.

Tafel 6. Modelldaten für Rauschfilter

Filtertyp	A_R	b_R	c_R^T
T_1 Zeitkonstante T	$-1/T$	$\sqrt{\frac{2}{T}}$	1
T_2 Zeitkonstanten T	$\begin{pmatrix} -1/T & 0 \\ 1/T & -1/T \end{pmatrix}$	$\begin{pmatrix} \frac{2}{\sqrt{T}} \\ 0 \end{pmatrix}$	$(0 \quad 1)$
Schmalband Mittenfrequenz ω_0 Bandbreite $B\omega_0$	$\begin{pmatrix} 0 & 1 \\ -\omega_0^2 & -2B\omega_0 \end{pmatrix}$	$\begin{pmatrix} 0 \\ 2\sqrt{B\omega_0} \end{pmatrix}$	$(0 \quad 1)$
Tiefpaß Grenzfrequenz ω_0 $D_1 = 0.9239$ $D_2 = 0.3827$	$\begin{pmatrix} 0 & 1 & 0 & 0 \\ -\omega_0^2 & -2D_1\omega_0 & 0 & 0 \\ 0 & 0 & 0 & 1 \\ 1 & 0 & -\omega_0^2 & -2D_2\omega_0 \end{pmatrix}$	$\begin{pmatrix} 0 \\ 2.378\omega_0^3 \\ 0 \\ 0 \end{pmatrix}$	$(0 \quad 0 \quad 1 \quad 0)$

Soll die Reaktion eines dynamischen Systems mit dem Zustandsmodell (24), (25) auf dieses Rauschsignal x_R untersucht werden, dann ist für u , das Eingangssignal des Systems, das Rauschsignal x_R zu setzen. Da das System nur unter der Wirkung des Eingangssignals u untersucht werden soll, tritt der Steuervektor b_u an die Stelle der Matrix B .

Die Gl.(24) wird noch einmal abgeschrieben. Darunter wird die Zustandsgleichung für das Rauschfilter (55) gesetzt:

$$\frac{dq}{dt} = A q + b_u u = A q + b_u x_R$$

bzw.

$$\begin{aligned}\frac{dq}{dt} &= A q + b_u c_R^T q_R \\ \frac{dq_R}{dt} &= A_R q_R + b_R w.\end{aligned}\quad (55)$$

Aus der Ausgabegleichung (25)

$$x = C q + d u$$

erhält man dann

$$x = C q + d c_R^T q_R.$$

Systemzustandsvektor q und Rauschfiltervektor q_R können zu einem einzigen Vektor $q^{*T} = (q^T \ q_R^T)$ zusammengefaßt werden. Damit läßt sich das Gesamtmodell schreiben:

$$\frac{dq^*}{dt} = A^* q^* + b^* w$$

$$\therefore x = C^* q^*.$$

Die Matrizen des Gesamtmodells setzen sich aus denen des Systemmodells und des Filtermodells zusammen:

$$\begin{aligned}A^* &= \begin{pmatrix} A & b_u c_R^T \\ 0 & A_R \end{pmatrix}, \quad b^* = \begin{pmatrix} 0 \\ b_R \end{pmatrix} \\ C^* &= (C \quad d c_R^T).\end{aligned}\quad (56)$$

Wegen der einfachen Form der Rauschfiltermatrizen (s. Tafel 6) können die Matrizen nach (56) ohne Schwierigkeiten auch von Hand berechnet werden, so daß sich ein besonderes Rechenprogramm dafür erübrigts.

2. Kontinuierliche Klemmenmodelle

2.1. Herleitung aus dem Zustandsmodell

2.1.1. Klemmenmodell

Ein System mit einer Eingangsgröße u sowie einer Ausgangsgröße x kann n innere Zustandsgrößen $q_1 \dots q_n$ aufweisen (Bild 10). Das Zustandsmodell (s. Abschnitt 1.1.3. und 1.1.4.) stellt den Zusammenhang zwischen diesen Größen her. Die Zustandsgrößen q_i sind innere Größen des Systems. Nach außen, d. h. an den „Klemmen“ des Systems, treten nur die Eingangsgröße und die Ausgangsgröße in Erscheinung. Ein Modell, das nur diese beiden Größen verknüpft, mithin keine Zustandsgrößen enthält, heißt Klemmenmodell.



Bild 10. Allgemeines System

Hat ein System m Eingangsgrößen und p Ausgangsgrößen, dann lassen sich mp Klemmenmodelle von jeder Eingangsgröße zu jeder der Ausgangsgrößen definieren.

Betrachtet werden sollen nur lineare, ggf. linearisierte Systeme. Die Klemmenmodelle können dann als lineare gewöhnliche Differentialgleichungen oder als Übertragungsfunktionen $G(p)$ formuliert werden, die als unabhängige Variable den Differenziationsoperator p enthalten [7; 8].

Die allgemeine Form einer Übertragungsfunktion lautet

$$G(p) = \frac{b_0 + b_1 p + \dots + b_n p^n}{a_0 + a_1 p + \dots + a_n p^n} . \quad (57)$$

Mit dem Zustandsmodell bestehen folgende allgemeine Zusammenhänge: Der Grad n des Nennerpolynoms in (57) ist gleich der Anzahl der Zustandsgrößen (Dimension des Zustandsvektors q). Der Koeffizient b_n im Zähler ist nur dann von null verschieden, wenn der Durchgangskoeffizient d im Zustandsmodell von null verschieden ist. Dann ist das System sprungfähig (s. Abschn. 1.5.1.).

Im einzelnen kann das Klemmenmodell aus der linearen Zustandsgleichung (24) und der Ausgabegleichung (25) hergeleitet werden. Da nur eine einzige Eingangsgröße u und Ausgangsgröße x auftreten sollen, lauten diese Gleichungen jetzt

$$\frac{dq}{dt} = A q + b u$$

$$x = c^T q + d u .$$

Laplace-Transformation dieser beiden Gleichungen ergibt, wenn der Anfangszustand $q_0 = 0$ gesetzt wird, die Gln. (58) und (59), in denen die Laplace-Transformierten durch Großbuchstaben bezeichnet werden:

$$p Q(p) = A Q(p) + b U(p) \quad (58)$$

$$X(p) = c^T Q(p) + d U(p) . \quad (59)$$

Aus Gl. (58) folgt

$$p Q(p) - A Q(p) = (pE - A) Q(p) = b U(p)$$

und daraus

$$Q(p) = (pE - A)^{-1} b U(p) .$$

Einsetzen in (59) ergibt

$$X(p) = c^T (pE - A)^{-1} b U(p) + d U(p) = [c^T (pE - A)^{-1} b + d] U(p) .$$

Da die Übertragungsfunktion $G(p)$ als Quotient der laplacetransformierten Ausgangsgröße und Eingangsgröße definiert ist, erhält man sofort

$$G(p) = \frac{X(p)}{U(p)} = c^T (pE - A)^{-1} b + d . \quad (60)$$

Gl. (60) ist der gesuchte Zusammenhang zwischen dem Klemmenmodell als Übertragungsfunktion und dem Zustandsmodell mit den Bestimmungsstücken A , b , c^T , d .

Zur Auswertung von (60) sind Matrizenoperationen erforderlich. Am kompliziertesten ist die Bildung der inversen Matrix $(pE - A)^{-1}$, die eine Funktion von p ist. Ein normales Inversionsverfahren für Zahlenmatrizen kann deshalb nicht verwendet werden. Daher muß ein besonderer Algorithmus angewendet werden.

2.1.2. Faddejew-Algorithmus

Der Faddejew-Algorithmus [9] dient zur Berechnung der Inversen $(pE - A)^{-1}$. Das Ergebnis seiner Anwendung hat die Form

$$(pE - A)^{-1} = \frac{Ep^{n-1} + R_1 p^{n-2} + R_2 p^{n-3} + \dots + R_{n-1}}{s_1 p^n + s_2 p^{n-1} + \dots + s_n p + s_{n+1}}. \quad (61)$$

Die Matrizen R_i und Koeffizienten s_i werden nach folgendem Schema über die Hilfsmatrizen D_i gebildet:

$$\begin{aligned} s_1 &= 1 & R_0 &= E & D_1 &= A \\ s_2 &= -sp(D_1) & R_1 &= D_1 + s_2 E & D_2 &= A R_1 \\ s_3 &= -\frac{sp(D_2)}{2} & R_2 &= D_2 + s_3 E & D_3 &= A R_2 \\ &&&&& \\ s_n &= -\frac{sp(D_{n-1})}{n-1} & R_{n-1} &= D_{n-1} + s_n E & D_n &= A R_{n-1} \\ s_{n+1} &= -\frac{sp(D_n)}{n} & R_n &= D_n + s_{n+1} E = 0. & & \end{aligned} \quad (62)$$

Dabei bedeutet $sp(D)$ die Spur der Matrix D , das ist die Summe ihrer Hauptdiagonalelemente:

$$sp(D) = d_{11} + d_{22} + \dots + d_{nn}.$$

Der Koeffizient s_1 im Nenner von (61) hat also immer den Wert $s_1 = 1$. Die Matrix R_n wird eigentlich nicht benötigt. Sie muß gleich der Nullmatrix 0 sein. Wird sie berechnet, dann können die Werte ihrer Elemente zur Einschätzung der Rechengenauigkeit dienen.

Aus (60) und (61) erhält man für die gesuchte Übertragungsfunktion

$$G(p) = c^T \frac{Ep^{n-1} + R_1 p^{n-2} + \dots + R_{n-1}}{s_1 p^n + s_2 p^{n-1} + \dots + s_{n+1}} b + d.$$

Bringt man diesen Ausdruck auf einen Nenner, dann bekommt man

$$G(p) = [c^T b p^{n-1} + c^T R_1 b p^{n-2} + \dots + c^T R_{n-1} b + d(s_1 p^n + s_2 p^{n-1} + \dots + s_{n+1})] : (s_1 p^n + s_2 p^{n-1} + \dots + s_{n+1}). \quad (63)$$

Die Ausdrücke $c^T R_i b$ sind skalare Koeffizienten, für die h_i gesetzt werden soll:

$$h_i = c^T R_{n-i} b. \quad (64)$$

Faßt man die Glieder mit gleichen Potenzen von p im Zähler von (63) zusammen, dann erhält man für die Koeffizienten der Übertragungsfunktion (57)

	Zählerkoeffizient	Nennerkoeffizient	
p^0	: $b_0 = h_1 + d s_{n+1}$	$a_0 = s_{n+1}$	
p^1	: $b_1 = h_2 + d s_n$	$a_1 = s_n$	
\vdots			
p^{n-1}	: $b_{n-1} = h_n + d s_2$	$a_{n-1} = s_2$	
p^n	: $b_n = d s_1 = d$	$a_n = s_1 = 1$	(65)

Die Beziehungen lassen sich im Programmablaufplan Bild 11 zusammenfassen, der den Kern des Rechenprogramms bildet. f^T in den Zeilen '3' und '4' ist ein Hilfsvektor, der dazu dient, die Produkte $c^T R b$ in zwei Schritten zu berechnen.

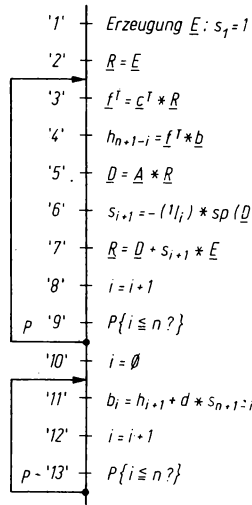


Bild 11. Berechnung der Koeffizienten von Zähler- und Nennerpolynom der Übertragungsfunktion $G(p)$ nach dem Faddejew-Algorithmus

2.1.3. Rechenprogramm

Der PAP nach Bild 11 bildet die Grundlage eines Teiles des Rechenprogramms FREQ, mit dem Frequenzgänge berechnet werden können (s. Abschn. 2.2.). Als Eingaben für dieses Programm sind auch Zustandsmodelle möglich, die dann in Übertragungsfunktionen umgerechnet werden.

Die dabei zu berechnenden Koeffizienten $b_0 \dots b_n$ der Übertragungsfunktion (57) werden durch die Feldelemente $H(1,1)$ bis $H(N+1,1)$ dargestellt. Die Nennerkoeffizienten $a_0 \dots a_n$, im Algorithmus (62) und Bild 11 durch $s_{n+1} \dots s_1$ ausgedrückt, sind in den Feldelementen $H(1,2) \dots H(N+1,2)$ untergebracht. Der Programmname für den Durchgangskoeffizienten d lautet DD. Alle anderen Variablenbezeichnungen im PAP und Programm FREQ sind identisch; Matrizen werden durch gleichbezeichnete Felder dargestellt.

Die Hauptschleife '3' bis '9' im PAP Bild 11 wird durch die Laufanweisung über I in den Zeilen 230 bis 360 gebildet. Innerhalb dieser Schleife werden die Matrixoperationen durch weitere Laufanweisungen verwirklicht.

Zur Kontrolle der Rechengenauigkeit werden in den Zeilen 400 bis 450 die Elemente der Matrix R_n , die nahe an null sein sollen, ausgedruckt. Die Ergebnisse, also die Zählerkoeffizienten der Übertragungsfunktion $H(1,1) \dots H(N+1,1)$ und Nennerkoeffizienten $H(1,2) \dots H(N+1,2)$, werden in den Zeilen 540 bis 620 in übersichtlicher Tabellenform ausgegeben.

2.1.4. Anwendungsbeispiel

Tafel 7 zeigt die mit dem Programm FREQ aus den Matrizen der Tafeln 4 und 5 berechneten Zähler- und Nennerkoeffizienten der verschiedenen Übertragungsfunktionen.

Tafel 7. Koeffizienten verschiedener Übertragungsfunktionen $G(p)$

Koeffi- zient	Stellstrecke	Störstrecke	Regelkreis mit PI-Regler Störverhalten
b_0	1.232 E-3	1.8 E-4	0
b_1	.0148	3.282 E-3	1.8 E-4
b_2	0	.01287	3.28 E-3
b_3	0	0	.01287
a_0	2.607 E-3	2.607 E-3	9.24 E-4
a_1	.06485	.06485	.02233
a_2	.4832	.4832	.16845
a_3	1	1	.4832
a_4	-	-	1

Die Ordnung der Regelstrecke (Tafel 4) ist $n = 3$, ebenso die des Regelkreises mit P-Regler (Tafel 5a). Mit PI- und PID-Regler erhöht sich die Ordnung auf $n = 4$. Wendet man das Programm auf das folgende konstruierte Beispiel an:

$$A = \begin{pmatrix} 0 & 1 & 0 \\ 0 & 0 & 1 \\ -6 & -11 & -6 \end{pmatrix}; \quad b = \begin{pmatrix} 0 \\ 0 \\ 3 \end{pmatrix}; \quad c^T = (2 \ 1 \ 0); \quad d = 0,$$

so erhält man die Übertragungsfunktion

$$G(p) = \frac{3p + 6}{p^3 + 6p^2 + 11p + 6}.$$

Die Wurzeln des Nennerpolynoms von $G(p)$ sind $-1, -2, -3$. Damit kann man schreiben

$$G(p) = \frac{3(p + 2)}{(p + 1)(p + 2)(p + 3)} = \frac{3}{(p + 1)(p + 3)}.$$

Die Möglichkeit, $G(p)$ durch Herauskürzen eines Faktors – im Beispiel: $(p + 2)$ – zu vereinfachen, wird jedoch vom Rechenprogramm nicht automatisch wahrgenommen. Hier muß ggf. eine Handrechnung einsetzen.

Dabei ist es notwendig, die jeweiligen Wurzeln des Zählerpolynoms

$$b_0 + b_1 p + \dots + b_n p^n = 0$$

sowie des Nennerpolynoms

$$a_0 + a_1 p + \dots + a_n p^n = 0$$

zu bestimmen. Dazu kann das Programm EWEPOL verwendet werden (s. Abschn. 2.3.).

2.2. Frequenzgänge

2.2.1. Herleitung

Den Frequenzgang $G(j\omega)$ erhält man, indem man in der Übertragungsfunktion (57) an die Stelle des Laplace-Operators p die imaginäre Größe $j\omega$ setzt, wobei ω die Kreisfrequenz bedeutet. Bei der Zahlenrechnung in diesem Band trägt ω die Einheit s^{-1} .

Mit den Rechenregeln für komplexe Größen lassen sich die Ausdrücke im Zähler und Nenner von $G(j\omega)$ in Real- und Imaginärteil aufspalten:

$$\begin{aligned} G(j\omega) &= \frac{b_0 + b_1 j\omega + b_2 (j\omega)^2 + \dots + b_n (j\omega)^n}{a_0 + a_1 j\omega + a_2 (j\omega)^2 + \dots + a_n (j\omega)^n} \\ &= \frac{b_0 - b_2 \omega^2 + b_4 \omega^4 + \dots + j\omega(b_1 - b_3 \omega^2 + \dots)}{a_0 - a_2 \omega^2 + a_4 \omega^4 + \dots + j\omega(a_1 - a_3 \omega^2 + \dots)}. \end{aligned} \quad (66)$$

Der Frequenzgang $G(j\omega)$ kann beschrieben werden durch den Amplitudengang $|G(j\omega)|$ und den Phasengang $\varphi(\omega) = \arg\{G(j\omega)\}$. Um diese Funktionen zu berechnen, wird (66) in folgender Form dargestellt:

$$G(j\omega) = \frac{U(\omega) + j V(\omega)}{W(\omega) + j Y(\omega)}.$$

Dabei ist

$$\begin{aligned} U(\omega) &= b_0 - b_2 \omega^2 + b_4 \omega^4 - \dots \\ V(\omega) &= \omega(b_1 - b_3 \omega^2 + \dots) \\ W(\omega) &= a_0 - a_2 \omega^2 + a_4 \omega^4 - \dots \\ Y(\omega) &= \omega(a_1 - a_3 \omega^2 + \dots). \end{aligned} \quad (67)$$

Damit kann man für den Amplitudengang schreiben

$$|G(j\omega)| = \sqrt{\frac{U^2 + V^2}{W^2 + Y^2}}. \quad (68)$$

Führt man die Phasenwinkel für Zähler und Nenner P_Z, P_N ein:

$$P_Z = \arctan \frac{V}{U}, \quad P_N = \arctan \frac{Y}{W}, \quad (69)$$

so kann man für den Phasengang $\varphi(\omega)$ schreiben

$$\varphi(\omega) = P_Z - P_N.$$

Tritt zur Übertragungsfunktion (57) bzw. dem Frequenzgang (66) noch ein Laufzeitanteil T_L mit der Übertragungsfunktion e^{-pT_L} hinzu, dann ist die Beziehung für den Phasengang zu ergänzen und endgültig zu schreiben

$$\varphi(\omega) = P_Z - P_N - \omega T_L. \quad (70)$$

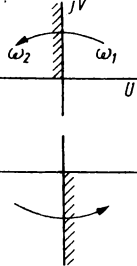
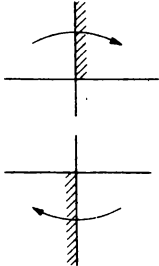
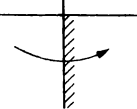
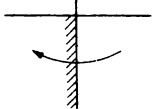
Die Beziehungen (69) müssen vor Umsetzung in ein Rechenprogramm überarbeitet werden, weil bei direkter Programmierung

- für $U = 0$ sowie $W = 0$ Fehlermeldung erfolgen würde
- mit der BASIC-Funktion ATN nur die Hauptwerte der arctan-Funktion berechnet werden können
- bei höheren Systemordnungen $n > 4$ der Phasenwinkel den Wert 360° (2π) überschreitet, was jedoch aus U, V bzw. W, Y allein nicht erkennbar ist.

Die auf der Basis von (69) errechenbaren Werte müssen also noch ergänzt werden. Bezeichnet Arctan ... den mit der BASIC-Funktion ATN(...) berechenbaren Hauptwert, dann berechnen sich die Phasenwinkel zu

$$P_Z = \text{Arctan} \frac{V}{U} + S_Z, \quad P_N = \text{Arctan} \frac{Y}{W} + S_N. \quad (71)$$

Die Summanden S_Z, S_N beinhalten die Bewegung des Phasenwinkels. Sie vergrößern/vermindern sich jeweils um π , wenn der durch V, U bzw. Y, W darstellbare Zeiger die V -Achse der U, V -Ebene im Gegenuhrzeigersinn/Uhrzeigersinn überschreitet (Tafel 8). Hat der Zeiger eine volle Umdrehung durchgemacht, also die V -Achse zweimal überschritten, dann hat sich S um 2π vergrößert bzw. verringert.

$S := S + \pi$	$S := S - \pi$
	
	

Tafel 8. Zur Ermittlung des Korrekturterms S bei der Phasenwinkelberechnung

Um das Überschreiten der V -Achse und seine Richtung zu erkennen, müssen die Werte U_i, V_i , die zur Frequenz ω_i gehören, mit den Werten U_{i-1}, V_{i-1} , gehörend zu ω_{i-1} , verglichen werden. Für $\omega \rightarrow 0$ kann S_Z bzw. S_N schon einen bestimmten Wert haben. Das hängt von der niedrigsten p -Potenz ab, die im Zähler bzw. Nenner von (65) auftritt. Ist beispielsweise $b_0 = b_1 = 0, b_2 > 0$, dann ist $S_{Z0} = \pi$, während sich für $b_2 < 0$ ein Wert $S_{Z0} = 2\pi$ ergibt.

Bei einer grafischen Darstellung des Amplitudengangs als Amplitudenkennlinie

verwendet man üblicherweise logarithmische Abszissen- und Ordinatenmaßstäbe. Die Phasenkennlinie als grafische Darstellung des Phasengangs verwendet eine logarithmische Teilung der Abszissen- (Frequenz-)Achse und eine linear geteilte Ordinatenachse.

2.2.2. Rechenprogramm FREQ

Das Rechenprogramm FREQ berechnet Amplitüden- und Phasengänge als Funktion der Kreisfrequenz ω (Programmname O) und stellt sie wahlweise tabellarisch oder grafisch dar.

Programm FREQ

```

10 REM FREQUENZGANGBERECHNUNG
20 LET P$="PRESS ANY KEY !": INPUT "ORDNUNG N";N: PRINT
30 INPUT "LAUFZEIT TL";T: PRINT
40 INPUT "ZUSTANDSMODELL (Z) / KLEMMENMODELL (K)";I$: CLS
50 DIM S(2), H(N+1,2), R(N,N), D(N,N), F(N), G(2), P(2), UA(2); VA(2)
60 IF I$="Z" THEN PRINT "ZUSTANDSMODELL": PRINT
70 IF I$="K" THEN PRINT "KLEMMENMODELL": PRINT: GOTO 460
80 DIM A(N,N),B(N),C(N)
90 REM PROGRAMMBEGINN
100 PRINT "ZUSTANDSMATRIX A(";N,",";N,")": PRJNT
110 FOR I = 1 TO N: FOR J = 1 TO N
120 PRINT "A(";I,J,")": INPUT A(I,J)
130 NEXT J: NEXT I: PRINT
140 PRINT "STEUERVEKTOR B(";N,")": PRINT
150 FOR I = 1 TO N: PRINT "B(";I,")";
160 INPUT B(I): NEXT I: PRINT
170 PRINT "BEOBACHTUNGSVEKTOR CT(";N,")": PRINT
180 FOR I = 1 TO N: PRINT "CT(";I,")";
190 INPUT C(I): NEXT I: PRINT
200 PRINT "DURCHGANGSKoeffizient D": PRINT: INPUT DD
210 REM BEGINN ALGORITHMUS
220 LET H(N+1,2)=1: FOR I = 1 TO N: LET R(I,I)=1: NEXT I
230 FOR I = 1 TO N: FOR J = 1 TO N: LET F(J)=Ø
240 FOR K = 1 TO N
250 LET F(J) = F(J) + C(K) * R(K,J)
260 NEXT K: NEXT J
270 LET H(N+1-I,1)=Ø: FOR J = 1 TO N
280 LET H(N+1-I,1) = H(N+1-I,1) + F(J) * B(J): NEXT J
290 FOR J = 1 TO N: FOR K = 1 TO N: LET D(J,K)=Ø
300 FOR L = 1 TO N: LET D(J,K) = A(J,L) * R(L,K) + D(J,K)
310 NEXT L: NEXT K: NEXT J
320 LET H(N+1-I,2)=Ø: FOR J = 1 TO N
330 LET H(N+1-I,2) = H(N+1-I,2) - D(J,J): NEXT J: LET H(N+1-I,2)
= H(N+1-I,2)/I
340 FOR J = 1 TO N: FOR K = 1 TO N
350 LET R(J,K) = D(J,K): NEXT K
360 LET R(J,J) = D(J,J) + H(N+1-I,2): NEXT J: NEXT I
370 FOR I = 1 TO N+1: LET H(I,1) = H(I,1) + DD * H(I,2)

```

```

380 NEXT I: CLS
390 REM AUSGABE
400 PRINT "KONTROLLE DER RECHENGENAUIGKEIT"
410 PRINT "DIE ELEMENTE DER FOLGENDEN"
420 PRINT "MATRIX SOLLTEN NAHE AN Ø SEIN"
430 PRINT: FOR I = 1 TO N: FOR J = 1 TO N
440 PRINT TAB(1Ø * (J - 1)); R(I,J);
450 NEXT J: PRINT: NEXT I: PAUSE(1ØØ): CLS
460 PRINT "PARAMETER DER UEBERTRAGUNGSFUNKTION"
470 IF IS = "Z" GOTO 540
480 FOR J = 1 TO 2
490 IF J = 1 THEN PRINT "ZAEHLERKoeffizienten"
500 IF J = 2 THEN PRINT "NENNERkoeffizienten"
510 PRINT: FOR I = 1 TO N + 1
520 PRINT "P↑"; I - 1;
530 INPUT H(I,J): NEXT I: PRINT: NEXT J: CLS
540 PRINT AT(3,7); "ZAEHLER: | NENNER:"
550 LINE 12,22Ø,272,22Ø
560 FOR I = 1 TO N + 1: IF H(I,1) = Ø GOTO 600
570 PRINT AT(I + 5,Ø); H(I,1)
580 PRINT AT(I + 5,13); "P↑"; I - 1
590 PRINT AT(I + 5,17); " | "
600 IF H(I,2) = Ø GOTO 620
610 PRINT AT(I + 5,18); H(I,2): PRINT AT(I + 5,31); "P↑"; I - 1
620 NEXT I: PRINT: PRINT
630 IF T < > Ø THEN PRINT AT(15,Ø); "LAUFZEITFAKTOR : E↑(-"; T; "P)"
640 PAUSE(2Ø): PRINT AT(3Ø,1Ø); P§
650 IF INKEY§ = "" GOTO 650
660 CLS: INPUT "NIEDRIGSTER OMEGA-WERT OMU"; OM
670 IF OM = Ø THEN PRINT "???": PAUSE(2Ø): GOTO 660
680 INPUT "WIEVIEL WERTE JE DEKADE ?"; DE
690 LET K = 1Ø↑(1/DE)
700 INPUT "WIEVIEL DEKADEN ?"; AD
710 LET L = DE * AD
720 INPUT "TABELLE (T) / GRAFIK (G) ?"; C§: CLS
730 IF C§ = "G" GOTO 760
740 PRINT TAB(3); "OMEGA"; TAB(11); "| G|"; TAB(22); "| PHI"
750 PRINT "-----"
760 LET A§ = " "; IF C§ = "T" GOTO 800
770 INPUT "AMPLITUDENGANG (A) / PHASENGANG (P) ?"; A§: CLS
780 IF A§ = "P" THEN GOSUB 144Ø
790 IF A§ = "A" THEN GOSUB 137Ø
800 FOR J = 1 TO 2: FOR I = Ø TO N: IF H(I + 1,J) = Ø THEN NEXT I
810 IF H(I + 1,J) > Ø THEN LET S(J) = PI * (INT(I/2) - (INT((I + 1)/4) = (I + 1)/4)): GOTO 830
820 LET S(J) = PI * (INT((I + 2)/2) - (INT((I + 3)/4) = (I + 3)/4))
830 LET F = SGN(H(I + 1,J)): FOR S = Ø TO I/2: LET F = -F: NEXT S
840 LET UA(J) = F * (INT(I/2) = I/2): LET VA(J) = F * (INT(I/2) < > I/2): NEXT J
850 LET O = OM: FOR H = 1 TO L + 1: FOR J = 1 TO 2: GOSUB 158Ø
860 IF U < Ø AND UA(J) > Ø AND VA(J) > Ø THEN LET S(J) = S(J) + PI
870 IF U > = Ø AND UA(J) < = Ø AND VA(J) < Ø THEN LET S(J) = S(J) + PI
880 IF U > = Ø AND UA(J) < Ø AND VA(J) > Ø THEN LET S(J) = S(J) - PI
890 IF U < Ø AND UA(J) > Ø AND VA(J) < Ø THEN LET S(J) = S(J) - PI

```

```

900 LET G(J) = U * U + V * V
910 IF U = 0 AND V > 0 THEN LET P(J) = PI/2: GOTO 940
920 IF U = 0 AND V < 0 THEN LET P(J) = -PI/2: GOTO 940
930 LET P(J) = ATN(V/U)
940 LET P(J) = P(J) + S(J)
950 LET UA(J) = U: LET VA(J) = V
960 NEXT J: LET G = SQR(G(1)/G(2))
970 LET M = P(1) - P(2) - O * T
980 IF CS = "T" GOTO 1080
990 LET MG = 123 + M * 40/PI
1000 LET ZG = 123 + 13.897423 * LN(G)
1010 IF AS = "P" AND MG <= 0 GOTO 1150
1020 IF AS = "A" AND ZG > 250 GOTO 1150
1030 IF AS = "A" AND ZG <= 0 GOTO 1150
1040 LET BS = 35 + (H - 1) * 180/L
1050 IF AS = "A" THEN PSET BS,ZG
1060 IF AS = "P" THEN PSET BS, MG
1070 GOTO 1150
1080 FOR S = -5 TO 3
1090 IF OM <= 10↑S THEN LET FK = 10↑(1 - S): GOTO 1110
1100 NEXT S
1110 LET O1 = INT((O + .5)/FK) * FK/FK
1120 LET G = INT((G + .0005) * 1000)/1000
1130 LET M = INT((M + .0005) * 1000)/1000
1140 PRINT TAB(2);O1;TAB(12);G;TAB(24);M
1150 LET O = O * K
1160 NEXT H
1170 PAUSE(50): PRINT AT(30, 10);PS
1180 IF INKEY$ = "" GOTO 1180
1190 CLS: PRINT "EINGABEN": PRINT
1210 IF CS = "T" GOTO 1240
1220 IF AS = "A" THEN PRINT "PHASENGANG:      P": GOTO 1250
1230 IF AS = "P" THEN PRINT "AMPLITUDENGANG:A": GOTO 1250
1240 PRINT "DIÄGRAMME :      D": GOTO 1260
1250 PRINT "TABELLEN :      T"
1260 PRINT "NEUES OMEGA :    O"
1270 PRINT "NEUEINGABE :      N"
1280 PRINT "ENDE :            E": PRINT
1290 INPUT GS: CLS
1300 IF GS = "N" THEN RUN
1310 IF GS = "O" GOTO 660
1320 IF GS = "D" THEN LET CS = "G": GOTO 760
1330 IF GS = "T" THEN LET CS = "T": GOTO 740
1340 IF GS = "A" THEN LET AS = "A": GOTO 780
1350 IF GS = "P" THEN LET AS = "P": GOTO 780
1360 IF GS = "E" THEN END
1370 GOSUB 1500
1380 PRINT AT(3,1);|G|
1390 FOR I = 59 TO 187 STEP 32
1400 PSET 22,I: PSET 24,I: NEXT I.
1410 PRINT AT(12,0);10": PRINT AT(8,0);100": PRINT AT(20,0);1"
1420 PRINT AT(24,0);.01": PRINT AT(16,0);1"
1430 RETURN

```

```

1440 GOSUB 1500
1450 PRINT AT(3,1); "PHI"
1460 FOR I = 43 TO 200 STEP 20
1470 PSET 22,I: PSET 24,I: NEXT I
1480 PRINT AT(11,1); "PI": PRINT AT(21,0); "-PI"
1490 RETURN
1500 LINE 200,123,250,123: LINE 23,20,23,220
1510 PRINT AT(19,26); "OM/OMU": PRINT AT(1,24); "OMU = "; OM
1520 FOR I = 0 TO AD
1530 PSET I * 180/AD + 35, 124: PSET I * 180/AD + 35, 121: NEXT I
1540 FOR I = 0 TO AD: IF I <= 2 GOTO 1560
1550 PRINT AT(17,3 + 21.914 * I/AD); E↑; I: GOTO 1570
1560 PRINT AT(17,3 + 21.914 * I/AD); 10↑1
1570 NEXT I: RETURN
1580 LET U = 0: LET V = 0: LET X = 1
1590 FOR M = 1 TO N + 1 STEP 2
1600 LET U = U + X * H(M,J): LET X = -X * O * O: NEXT M
1610 LET X = O: FOR M = 1 TO N STEP 2
1620 LET V = V + X * H(M + 1,J): LET X = -X * O * O: NEXT M
1630 RETURN

```

Eingabewerte sind die Zählerkoeffizienten $b_0 \dots b_n$ sowie Nennerkoeffizienten $a_0 \dots a_n$ der Übertragungsfunktion. (Programmnamen $H(1,1) \dots H(N+1,1)$ sowie $H(1,2) \dots H(N+1,2)$).

Vor Eingabe dieser Parameterwerte in den Programmzeilen 480 bis 530 werden eingangs die Ordnung N und der Wert einer eventuell auftretenden Laufzeit T_L eingegeben (Zeilen 200, 300).

Das Programm FREQ verarbeitet auch Zustandsmodelle. Diese werden in dem im Abschn. 2.1. beschriebenen Programmteil in die Parameter eines Klemmenmodells umgerechnet (Zeilen 800 bis 450). Das Programm berechnet dann eine Folge von Frequenzgangpunkten für diskrete Frequenzen $\omega_i > 0$, die nach einer geometrischen Folge gestuft sind. Bei einer logarithmischen Teilung der ω -Achse ergeben sich dadurch auf dieser Achse gleiche Abstände der Frequenzgangpunkte. Für die ω_i gilt demnach

$$\omega_i = \omega_u k^i; \quad i = 0, 1, 2, \dots$$

Der Faktor k ergibt sich aus der gewünschten Anzahl d_E von Rechenwerten je Dekade (Frequenzverhältnis 1:10).

$$k = \sqrt[d_E]{10} \quad (\text{Programmzeile 690}).$$

Unganzzahlige d_E sind möglich. Der niedrigste Wert ω_u (Programmname OM) ist in Zeile 660 einzugeben; die Anzahl der Dekaden a_D , für die Frequenzgangwerte berechnet werden sollen, in Zeile 700. Auch hier sind unganzzahlige Werte möglich. Die Berechnung von $d_E \cdot a_D + 1$ Amplitudengangwerten $|G(j\omega_i)|$ (Programmname G) erfolgt in einer großen Laufanweisung über H, die die Zeilen 850 bis 1160 umfasst. Dabei sind die Funktionen U und V, W und Y aus den Koeffizienten b_i und a_i der Übertragungsfunktion zu berechnen. Da die dazu verwendeten Beziehungen (67) hinsichtlich der b_i und a_i völlig gleich aufgebaut sind, werden sie in einem Unterprogramm (Zeilen 1580 bis 1630) verwirklicht, in dem $(H(I+1,1)$ für

b_i und $H(I+1,2)$ für die a_i steht. In den Zeilen 800 bis 840 werden die Werte S_Z bzw. S_N sowie U und V aus dem Index I des niedrigsten von Null verschiedenen Zähler- bzw. Nennerkoeffizienten b_i bzw. a_i sowie aus dessen Vorzeichen berechnet. Die Summanden S_Z , S_N sind im Feld S(J) mit $J=1$ für Zähler und $J=2$ für Nenner zusammengefaßt, ebenso wie die Phasenwinkel P_Z und P_N im Feld P(J) und die zur Berechnung von G (Zeile 960) verwendeten Zähler- und Nennerausdrücke $U^2 + V^2$ bzw. $W^2 + Y^2$ im Feld G(J).

Bei den weiteren Aufrufen des Unterprogramms für die einzelnen Frequenzwerte ω_i (Zeile 850) werden die Phasenwinkelkorrektursummanden S(J) jeweils nach den Bedingungen der Tafel 8 aktualisiert. Dazu werden herangezogen: die aktuellen im Unterprogramm mit der Frequenz ω_i berechneten Werte U und V sowie die zum davorliegenden Frequenzwert ω_{i-1} gehörenden „alten“ Werte, gespeichert in den Feldern UA(J) und VA(J).

Der Phasenwinkel φ (Programmname M) wird in Zeile 970 entsprechend (70) berechnet.

Für einen Tabellendruck ist die Ausgabe im normalen 8stelligen BASIC-Format unschön. Daher erfolgt in den Zeilen 1080 bis 1130 eine Formatierung der auszudruckenden Werte von ω , $|G|$ und φ , während für die Diagrammausgabe der Amplitudenkennlinie in Zeile 1000 der G-Wert logarithmiert wird.

Bild 12 zeigt als Anwendungsbeispiel die mit dem Programm FREQ berechneten Frequenzgangkennlinien für die Stellstrecke des Beispielsystems sowie für das Störverhalten des mit einem PI-Regler (Einstellwerte nach Tafel 5b) geschlossenen Regelkreises.

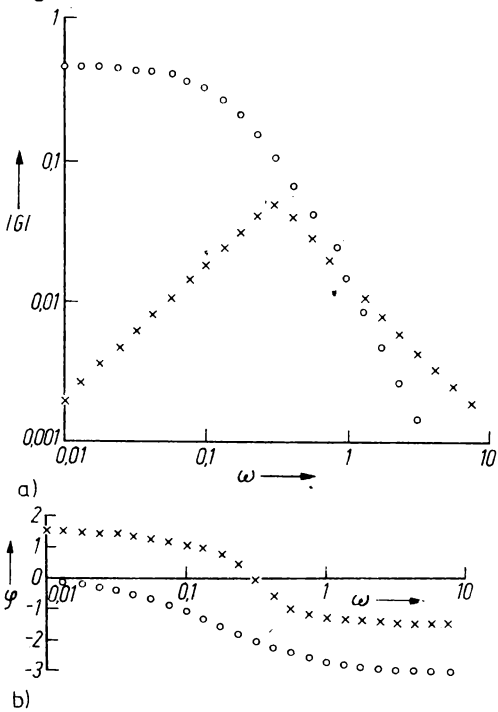


Bild 12. Frequenzgangkennlinien für den offenen und geschlossenen Regelkreis
a) Amplitudenkennlinie
ooo Stellstrecke
xxx Störfrequenzgang geschlossener Regelkreis

2.3. Eigenwertberechnung

2.3.1. Bedeutung der Eigenwerte

Sehr wichtige Größen zur Beurteilung des dynamischen Verhaltens eines durch sein Zustandsmodell beschriebenen linearen Systems sind seine Eigenwerte p_i . Ein System mit der Ordnung n (Format der Systemmatrix A: n,n) hat genau n Eigenwerte, die einfach oder mehrfach, reell oder komplex sein können. Mit jedem Eigenwert p_i hängt ein Anteil im Zeitverhalten des Systems zusammen, wobei die im Bild 13 gezeigten Zusammenhänge gelten.

Reelle Eigenwerte bewirken monoton verlaufende Anteile in der Zeitfunktion (Bild 13 a, b, c). Komplexe Eigenwerte treten immer paarweise auf (Bild 13 d, e, f); sie bewirken oszillatorische (schwingende) Anteile. Negativ reelle (Bild a) oder komplexe Eigenwerte mit negativem Realteil (Bild d) ergeben abklingende Zeitvorgänge (asymptotisch stabile Vorgänge). Positiv reelle Eigenwerte oder solche mit positivem Realteil (Bild c, f) bewirken aufklingende Vorgänge (Instabilität). Die Vorgänge nach Bild b und e entsprechen der Stabilitätsgrenze.

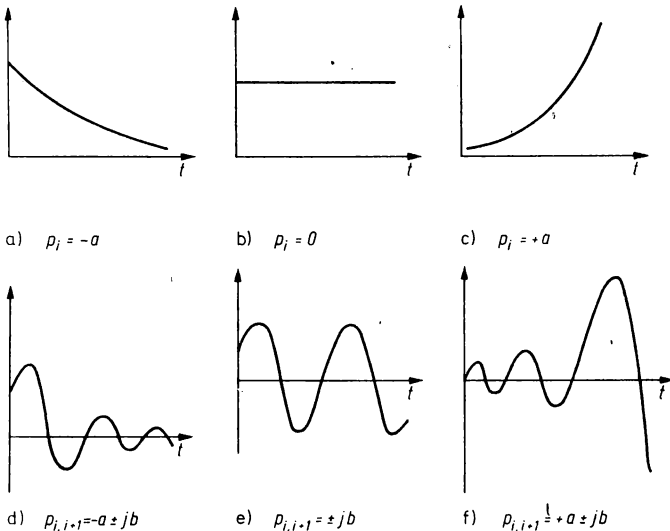


Bild 13. Zusammenhänge zwischen Eigenwerten und Anteilen im Zeitverhalten

Die Eigenwerte eines Systems ergeben sich aus seiner Zustandsmatrix A nach der Eigenwertgleichung

$$|pE - A| = 0. \quad (72)$$

Liegt ein Klemmenmodell vor in Form einer Übertragungsfunktion $G(p)$ – s. Gl. (57) –, dann lautet die Eigenwertgleichung

$$F(p) = a_0 + a_1 p + \dots + a_n p^n = 0. \quad (73)$$

Es sind also die Nullstellen (Wurzeln) des Nennerpolynoms der Übertragungsfunktion zu bestimmen.

Die Beziehung (72) zur Berechnung der Eigenwerte einer quadratischen Matrix A lässt sich ebenfalls auf die Lösung eines Polynoms n-ten Grades der Form (73) zurückführen, bei dem die Koeffizienten a_i aus den Matrizelementen a_{ij} gebildet werden. F(p) heißt dann das *charakteristische Polynom* der Matrix A. Die Bestimmung der Eigenwerte eines dynamischen Systems verlangt also die beiden folgenden Schritte:

1. Bildung des charakteristischen Polynoms;
2. Bestimmung der Nullstellen (Wurzeln) des charakteristischen Polynoms.

Liegt das Modell als Übertragungsfunktion vor, dann entfällt Schritt 1.

2.3.2. Ermittlung des charakteristischen Polynoms

Gl. (72) lautet ausgeschrieben

$$\begin{vmatrix} p - a_{11} & -a_{12} & \dots & -a_{1n} \\ -a_{21} & p - a_{22} & \dots & \\ \vdots & \vdots & \ddots & \vdots \\ -a_{n1} & \dots & p - a_{nn} \end{vmatrix} = 0.$$

Die direkte Berechnung dieser Determinante ist aber höchstens für $n = 2$ oder $n = 3$ zumutbar. Für größere n wird der Algorithmus von Leverrier verwendet [10], der die Koeffizienten des charakteristischen Polynoms nach einem numerischen Verfahren bildet, dem auch der Faddejew-Algorithmus (s. Abschn. 2.1.2.) zugrunde liegt. Das charakteristische Polynom (73) wird dazu in folgender Form mit den Koeffizienten $k_2 \dots k_{n+1}$ geschrieben:

$$F(p) = p^n + k_2 p^{n-1} + k_3 p^{n-2} + \dots + k_{n+1} = 0.$$

Dabei werden die k_i mit einer Hilfsmatrix $S(n,n)$ wie folgt berechnet:

$$T_1 = A, \quad k_2 = -sp(T_1), \quad S_1 = T_1 + k_2 E$$

$$T_2 = AS_1, \quad k_3 = -\frac{sp(T_2)}{2}, \quad S_2 = T_2 + k_3 E \quad (74)$$

$$T_n = AS_{n-1}, \quad k_{n+1} = -\frac{sp(T_n)}{n}.$$

2.3.3. Bestimmung der Polynomwurzeln

Die Aufgabe besteht darin, die n Nullstellen $p_1 \dots p_n$ eines Polynoms der Form (73) zu ermitteln. Wenn das für $n = 2$ oder $n = 3$ zwar auch in geschlossener Form möglich ist, so soll doch ein allgemein verwendbares numerisches Verfahren entwickelt werden. Die wichtigsten Schritte werden durch den Programmablaufplan Bild 14

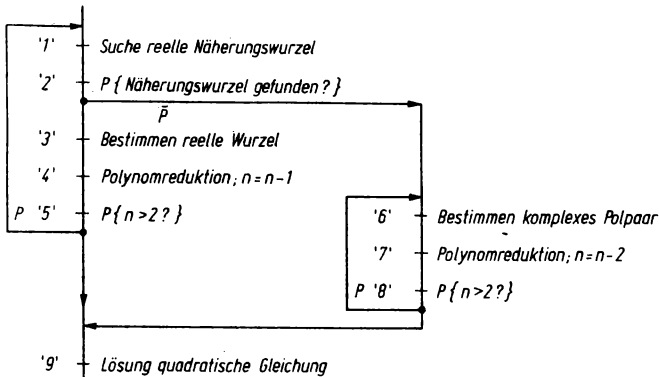


Bild 14. Programmablaufplan zur Bestimmung der Polynomwurzeln

dargestellt. Für die Unbekannte wird nicht p , sondern wie in der Mathematik üblich das Symbol x verwendet.

Nach Finden eines Näherungswerts für eine reelle Nullstelle (Zeile '1') – ist der Grad n des Polynoms ungerade, so existiert auf alle Fälle mindestens eine reelle Nullstelle – wird deren Wert x_1 in Zeile '3' genau bestimmt.

Durch Division des Polynoms $F(x)$ durch den Wurzelfaktor $(x - x_1)$ erhält man ein reduziertes Polynom vom Grad $n-1$, mit dem das Verfahren so lange wiederholt wird, bis sich eine quadratische Gleichung ($n=2$, Zeile '5') ergibt, deren Lösung in geschlossener Form angegeben werden kann (Zeile '9'). Läßt sich kein Näherungswert für eine reelle Wurzel finden (Zeile '2'), dann besitzt das Polynom (n gerade) nur komplexe Wurzelpaare, evtl. auch reelle Doppelwurzeln.

In Zeile '6' wird ein Wurzelpaar x_i, \bar{x}_i gesucht (\bar{x}_i konjugiert komplexer Wert). Die Division des Ursprungspolynoms durch den Wurzelpaarfaktor $(x - x_i)(x - \bar{x}_i)$ ergibt ein reduziertes Polynom vom Grad $n-2$ (Zeile '7'), mit dem das Verfahren so lange wiederholt wird, bis $n=2$ ist (Zeile '8'). Um diesen Algorithmus in ein Programm umzusetzen, müssen folgende Einzelprobleme gelöst werden:

'1': Suche einer reellen Näherungswurzel (Bild 15)

Nachdem ein Intervall $x_{\min} \dots x_{\max}$ festgelegt worden ist, in dem eine Nullstelle vermutet wird, werden, beginnend mit $x_1 = x_{\min}$, nacheinander eine Folge von Funktionswerten F_1, F_2, \dots berechnet. Ein Näherungswert ist gefunden, wenn zwei auf-

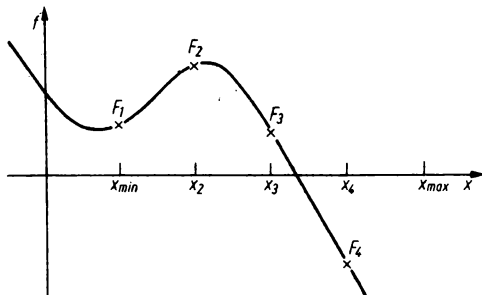


Bild 15. Zur Suche nach einer reellen Näherungswurzel

einanderfolgende Funktionswerte unterschiedliches Vorzeichen haben (im Bild 15 F_3 , F_4).

'3': Bestimmen einer reellen Nullstelle

Der gefundene Näherungswert (im Bild 15 x_4) wird mit dem Newtonschen Verfahren iterativ verbessert. Dieses Verfahren wurde schon im Abschn. 1.3.2. – s. Gl. (21), Bild 7 – beschrieben.

Zu seiner Anwendung werden die Werte der Funktion f und ihrer Ableitung f' benötigt.

'4': Polynomreduktion

Die Funktion $f(x)$ ist ein Polynom der Form (73) vom Grad n . Als algorithmisches Verfahren, mit dem sowohl der Funktionswert $f(x_0)$, der ihrer Ableitung $f'(x_0)$ sowie die Koeffizienten des durch den Wurzelfaktor $(x - x_i)$ dividierten, im Grad um 1 reduzierten Polynoms bestimmt werden können, wird das Horner-Schema verwendet. Tafel 9 erläutert den Algorithmus. Als Ergebnis seiner Anwendung erhält man Funktionswert und Ableitung. Ist $x_0 = x_i$ eine Nullstelle des Polynoms, dann ist $f(x_i) = 0$, und die Werte des Schemas $a'_n, a'_{n-1}, \dots, a'_1$ sind die Koeffizienten des reduzierten Polynoms vom Grad $n - 1$:

$$a'_n x^{n-1} + a'_{n-1} x^{n-2} + \dots + a'_2 x + a'_1. \quad (75)$$

Tafel 9. Horner-Schema zur Berechnung von $f(x_0), f'(x_0)$ und zur Ermittlung der Koeffizienten des reduzierten Polynoms

x_0	a_n + $a'_n x_0$	a_{n-1} + $a'_{n-1} x_0$	a_{n-2} + $a''_{n-2} x_0$	a_1 + $a'_1 x_0$	a_0 + $a'_0 x_0$
x_0	a'_n + $a''_n x_0$	a'_{n-1} + $a'''_{n-1} x_0$	a'_{n-2} + $a''''_{n-2} x_0$	a'_1 + $a''_1 x_0$	<u>$f(x_0)$</u>
	<u>a''_n</u>	<u>a''_{n-1}</u>	<u>a''_{n-2}</u>	<u>$f'(x_0)$</u>	

'6': Bestimmen eines komplexen Polpaars

Das Newtonsche Näherungsverfahren nach (19) lässt sich auch für komplexe x anwenden. f und f' werden dann ebenfalls komplex; also $f = f_r + j f_i$; $f' = f'_r + j f'_i$.

Nach den Rechenregeln für komplexe Zahlen erhält man damit aus (19) für den verbesserten Näherungswert

$$x_1 = x_0 - \frac{f_r + j f_i}{f'_r + j f'_i} = x_0 - \frac{f_r f'_i + f_i f'_r + j(f_i f'_r - f_r f'_i)}{f_r'^2 + f_i'^2}. \quad (76)$$

Abbruchkriterium für die Iteration ist jetzt

$$|f|^2 = f_r^2 + f_i^2 \leq \text{eps}.$$

'7': Polynomreduktion

Die Funktionen f_r , f_i , f'_r , f'_i sowie die Koeffizienten des reduzierten Polynoms können algorithmisch mit dem sog. Collatz-Schema berechnet werden [11]. Tafel 10 zeigt den Aufbau des Schemas.

Ist $x_0 = p + jq$ eine Wurzel des Polynoms, dann ist $a'_1 = a'_0 = 0$. In diesem Fall stellen $a'_n \dots a'_2$ die Koeffizienten des im Grad um 2 reduzierten Polynoms dar:

$$a'_n x^{n-2} + a'_{n-1} x^{n-3} + \dots + a'_3 x + a'_2. \quad (77)$$

Tafel 10. Collatz-Schema zur Berechnung von $f(x_0) = f_r + jf_i$, $f'(x_0) = f'_r + jf'_i$ bei komplexem $x_0 = p + jq$

Hilfsgrößen: $t = p^2 + q^2$; $s = -2p$

	a_n	a_{n-1}	a_{n-2}	a_3	a_2	a_1	a_0
t			$-ta'_n$	$-ta'_3$	$-ta'_4$	$-ta'_3$	$-ta'_2$
s		$-sa'_n$	$-sa'_{n-1}$	$-sa'_4$	$-sa'_3$	$-sa'_2$	
	a'_n	a'_{n-1}	a'_{n-2}	a'_3	a'_2	$\underline{a'_1}$	$\underline{a'_0}$
t			$-ta''_n$	$\dots -ta''_5$	$-ta''_4$		
s		$-sa''_n$	$-sa''_{n-1}$	$-sa''_4$			
	a''_n	a''_{n-1}	a''_{n-2}	$\underline{a''_3}$	$\underline{a''_2}$		

$$\text{Ergebnis: } f(x_0) = a'_1 x_0 + a'_0 = a'_1 p + a'_0 + ja'_1 q$$

$$f'(x_0) = b_1 x_0 + b_0$$

$$\text{mit } b_1 = 2a''_2 - sa'_3; b_0 = sa''_2 - 2ta''_3 + a'_1$$

'9': Lösung der quadratischen Gleichung

Bleibt als Ergebnis der Reduktionen nur eine quadratische Gleichung übrig

$$a'_n x^2 + a'_{n-1} x + a'_{n-2} = 0,$$

dann kann deren Lösung sofort hingeschrieben werden:

$$x_{1,2} = \begin{cases} -\frac{a'_{n-1}}{2a'_n} \pm \sqrt{\left(\frac{a'_{n-1}}{2a'_n}\right)^2 - \frac{a'_{n-2}}{a'_n}} & \text{für } \left(\frac{a'_{n-1}}{2a'_n}\right)^2 \geq \frac{a'_{n-2}}{a'_n} \\ -\frac{a'_{n-1}}{2a'_n} \pm j \sqrt{\frac{a'_{n-2}}{a'_n} - \left(\frac{a'_{n-1}}{2a'_n}\right)^2} & \text{für } \frac{a'_{n-2}}{a'_n} > \left(\frac{a'_{n-1}}{2a'_n}\right)^2. \end{cases} \quad (78)$$

2.3.4. Rechenprogramm EWEPOL

Die Zeilenummerierung des Programms EWEPOL beginnt bei 9500. Damit kann man das Programm zusammen mit anderen Programmen abspeichern, um mit seiner Hilfe die charakteristischen Polynome und Eigenwerte von Matrizen zu ermitteln, die in anderen Programmen berechnet worden sind.

Dazu wäre eine Format- und Namensanpassung zu programmieren. Das Programm EWEPOL ist selbstverständlich auch für die Direkteingabe vorgesehen.

Programm EWEPOL

```

9500 REM BERECHNUNG CHARAKTERISTISCHES POLYNOM
9505 INPUT "POLYNOMLOESUNG: P ; EIGENWERTE: E "; I$ 
9510 INPUT "GRAD N "; N: LET M = N + 1: DIM K(M,3): DEFFN Q(X) = X * X: CLS
9515 IF I$ = "P" GOTO 9590
9520 DIM A(N,N), S(N,N), T(N,N)
9525 FOR I = 1 TO N: FOR J = 1 TO N
9530 PRINT "A(",I,J,")";: INPUT A(I,J): LET T(I,J) = A(I,J)
9535 NEXT J: NEXT I: LET K(1,1) = 1: FOR L = 1 TO N: FOR I = 1 TO N
9540 LET K(L+1,1) = K(L+1,1) - T(I,I): NEXT I: LET K(L+1,1) = K(L+1,1)/L
9545 FOR I = 1 TO N: FOR J = 1 TO N: LET S(I,J) = T(I,J): NEXT J
9550 LET S(I,I) = T(I,I) + K(L+1,1): NEXT I
9555 FOR I = 1 TO N: FOR J = 1 TO N: LET T(I,J) = S(I,J)
9560 FOR K = 1 TO N: LET T(I,J) = T(I,J) + A(I,K) * S(K,J): NEXT K
9565 NEXT J: NEXT I: NEXT L
9570 CLS: PRINT "CHARAKTERISTISCHES POLYNOM"
9575 FOR I = 1 TO M: PRINT "P^";M-I,K(I,1): NEXT I
9580 GOTO 9610
9590 REM NULLSTELLENBESTIMMUNG POLYNOM GRAD N
9595 PRINT "POLYNOMKOEFFIZIENT": PRINT: PRINT
9600 FOR I = 1 TO M: PRINT "X^";M-I;: INPUT K(I,1): NEXT I
9610 PRINT N," NULLSTELLEN"
9615 FOR I = 1 TO M: LET K(I,2) = K(I,1): LET K(I,3) = K(I,1): NEXT I: PRINT
9620 IF M < = 3 GOTO 9710
9625 LET ZA = 0: LET IP = 0: LET EPS = 1E-6
9630 INPUT "SUCHBEREICH XMIN ... XMAX ";XN,XX: CLS

9635 LET XS = (XX - XN)/3: LET X = XN: GOSUB 9745
9640 LET F1 = F: LET X = X + XS: IF X < = XX GOTO 9660
9645 PRINT: PRINT "KEINE REELLE NULLSTELLE ZWISCHEN ";XN;"...";XX:
PRINT
9650 PRINT "ANDERER SUCHBEREICH ? EINGABE 1 / KOMPLEXE WURZELN ?
EINGABE 2"
9655 INPUT IP: CLS: ON IP GOTO 9630, 9770
9660 GOSUB 9745: IF SGN(F) = SGN(F1) GOTO 9640
9665 LET X = X - F/FS: LET ZA = ZA + 1: IF ZA < = 50 GOTO 9680
9670 PRINT "ABBRUCHSCHRANKE ";EPS;" ZU KLEIN. NEUEINGABE !"
9675 INPUT EPS: LET ZA = 0: GOTO 9635
9680 GOSUB 9745: IF ABS(F) > EPS GOTO 9665
9685 PRINT "NULLSTELLE": PRINT: PRINT X
9690 LET M = M - 1: REM REDUZIERTES POLYNOM
9695 FOR I = 1 TO M: LET K(I,1) = K(I,2): NEXT I
9700 IF M > 3 AND IP < > 2 GOTO 9635
9705 IF M > 3 AND IP = 2 GOTO 9770
9710 LET R = FN Q(K(2,2)/(2 * K(1,2)) - K(3,2)/K(1,2))
9715 REM LOESUNG QUADRATISCHE GLEICHUNG
9720 IF R < 0 GOTO 9735
9725 PRINT -K(2,2)/(2 * K(1,2)) + SQR(R): PRINT -K(2,2)/(2 * K(1,2) - SQR(R))
9730 END
9735 PRINT -K(2,2)/(2 * K(1,2));" + J";SQR(-R)
9740 PRINT -K(2,2)/(2 * K(1,2));"- J";SQR(-R): END
9745 REM HORNERSCHEMA
9750 LET K(1,2) = K(1,1): LET K(1,3) = K(1,1)

```

```

9755 FOR I = 1 TO M - 1: LET K(I + 1,2) = K(I,2) * X + K(I + 1,1)
9760 LET K(I + 1,3) = K(I,3) * X + K(I + 1,2): NEXT I
9765 LET F = K(M,2): LET FS = K(M - 1,3): RETURN
9770 REM NEWTON KOMPLEXE WURZELN
9775 LET P = X: LET Q = X: REM STARTWERTE
9780 GOSUB 9805
9785 IF FN Q(FR) + FN Q(FI) < 1E - 8 GOTO 9860
9790 LET NR = FN Q(SR) + FN Q(SI): LET P = P - (FR * SR + FI * SI)/NR
9800 LET Q = Q + (FR * SI - FI * SR)/NR: GOTO 9780
9805 REM COLLATZ-SCHEMA
9810 LET T = FN Q(P) + FN Q(Q): LET S = -2 * P: LET K(1,2) = K(1,1)
9815 LET K(2,2) = K(2,1) - S * K(1,2): FOR I = 3 TO M - 1
9820 LET K(I,2) = K(I,1) - S * K(I - 1,2) - T * K(I - 2,2): NEXT I
9825 LET K(M,2) = K(M,1) - T * K(M - 2,2): LET FR = K(M - 1,2) * P + K(M,2)
9830 LET FI = K(M - 1,2) * Q: LET K(1,3) = K(1,1): LET K(2,3) = K(2,2) - S * K(1,3)
9835 IF M < = 5 GOTO 9845
9840 FOR I = 3 TO M - 3: LET K(I,3) = K(I,2) - S * K(I - 1,3) - T * K(I - 2,3): NEXT I
9845 LET K(M - 2,3) = K(M - 2,2) - T * K(M - 4,3): LET B1 = 2 * K(M - 2,3) - S
    * K(M - 3,3)
9850 LET B0 = S * K(M - 2,3) - 2 * T * K(M - 3,3) + K(M - 1,2)
9855 LET SR = B1 * P + B0: LET SI = B1 * Q: RETURN
9860 PRINT: PRINT "NULLSTELLEN": PRINT
9865 PRINT P;" + J";ABS(Q): PRINT P;" - J";ABS(Q)
9870 LET M = M - 2: GOTO 9695

```

Zur Bestimmung des charakteristischen Polynoms einer Matrix A (Programmname A(N,N)) sind deren Elemente ab Zeile 9520 einzugeben. Sollen die Nullstellen eines beliebigen Polynoms vom Grade n gesucht werden, dann werden dessen reelle Koeffizienten ab Zeile 9590 eingegeben.

Bei Abarbeitung des Horner- bzw. Collatz-Schemas nach Tafeln 9 und 10 treten Koeffizienten mit den Bezeichnungen a_i, a'_i, a''_i auf. Diese Koeffizienten werden im Programm durch die Elemente eines Feldes K(N+1,3) nach folgendem Schema dargestellt:

$$\begin{aligned}
 a_n \dots a_0 &: K(1,1) \dots K(N + 1,1) \\
 a'_n \dots a'_0 &: K(1,2) \dots K(N + 1,2) \\
 a''_n \dots a''_0 &: K(1,3) \dots K(N + 1,3) .
 \end{aligned}$$

Diese Indexzuordnung ist zweckmäßig, weil bei den verschiedenen Reduktionen des Polynomgrads ($N := N - 1, N := N - 2$) die Koeffizienten $a_n = a'_n = a''_n$ jeweils unverändert bleiben und nur die Koeffizienten mit den niedrigen Indizes (a_0, a_1, \dots) in Wegfall kommen; vgl. (75) und (77).

Die Indizierung des charakteristischen Polynoms und des Leverrier-Algorithmus (74) folgt bereits diesem Schema. Der Leverrier-Algorithmus selber ist in den Zeilen 9535 bis 9565 programmiert.

Zur Suche einer reellen Näherungswurzel (Zeile '1') im Suchbereich x_{\min} bis x_{\max} (Programmnamen XN, XX) (Eingabe: Zeile 9630) wird dieser in 30 Abschnitte unterteilt (vgl. Bild 15, in dem drei Abschnitte gewählt wurden). Bei Anwendung des Programms sollte der Suchbereich $x_{\max} - x_{\min}$ nicht unnötig groß gewählt werden, um zu vermeiden, daß zwei nahe beieinander liegende Nullstellen nicht erkannt werden (Bild 16).

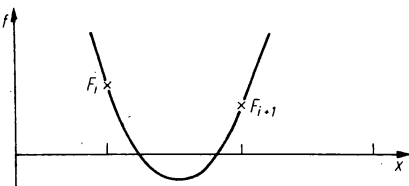


Bild 16. Bei zu großem Suchbereich werden nahe beieinander liegende Nullstellen übersehen

Zur Funktionswertberechnung bei der Nullstellensuche wird das Horner-Schema benutzt, das als Unterprogramm in den Zeilen 9745 bis 9765 niedergelegt ist. F ist der Programmname für den Funktionswert f ; FS steht für die Ableitung f' .

Wird im ursprünglich gewählten Suchbereich keine reelle Nullstelle gefunden, kann entweder ein anderer Suchbereich gewählt oder zur Bestimmung eines komplexen Polpaars nach Zeile '6' des PAP übergegangen werden (Zeilen 9645 bis 9655).

Der Newton-Algorithmus zur Nullstellenverbesserung nach (19) erstreckt sich auf die Zeilen 9665 bis 9680. Als Abbruchschranke eps ist im Programm (Zeile 9625) der Wert 10^{-6} gewählt worden. Dieser Wert hat sich bewährt. Allerdings kann es vorkommen, daß die Funktion f im Bereich der Nullstelle sehr steil verläuft (Bild 17). Da x nur eine beschränkte Stellenanzahl hat, kann f im Nullstellenbereich nur die beiden Werte F^+ und F^- annehmen, die beide betragsmäßig größer sind als die Abbruchschranke eps . In diesem Fall kommt es zu keinem Abbruch; der Algorithmus pendelt beliebig lange um die Nullstelle herum. Daher wird in Zeile 9665 mit ZA die Anzahl der Iterationen gezählt. Überschreitet ZA die Zahl 50, ohne daß es zu einem Abbruch gekommen ist, kann man annehmen, daß eps zu klein gewählt worden war, und in den Zeilen 9670, 9675 ist ein größerer Wert einzugeben.

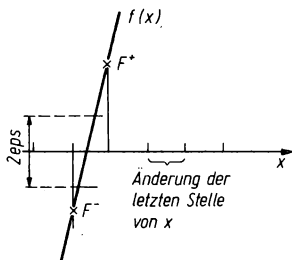


Bild 17. Infolge beschränkter Stellenanzahl von x kann f in der Umgebung der Nullstelle nur die Werte F^+ und F^- annehmen

Wurde eine Nullstelle gefunden und in Zeile 9685 ausgedruckt, erfolgt in den Zeilen 9690, 9695 die Reduktion des Polynomgrads um 1 sowie die Umspeicherung der Koeffizienten a' , die im Horner-Schema berechnet worden waren. Die Suche einer weiteren Nullstelle wird im vorher eingegebenen Suchbereich fortgesetzt. Die Lösungen der quadratischen Gleichung gemäß (78) werden in den Zeilen 9715 bis 9740 ermittelt.

Das Newton-Verfahren für komplexe Nullstellen (Zeilen 9770 bis 9800) verwendet die Variablennamen FR für f_r , FI für f_i , SR für f'_r , SI für f'_i . Da komplexe Nullstellen immer konjugiert komplex anfallen, kann nach Finden einer Nullstelle $p + j q$ der zugehörige konjugiert komplexe Wert $p - j q$ sofort ohne weitere Rechnung ausgedrückt werden (Zeile 9865).

Mit $q = 0$ findet das Programm als Sonderfall auch reelle Doppelwurzeln, für die in Zeile '1' des Algorithmus keine Näherungswerte gefunden werden können und die sich überdies einer Verbesserung nach dem einfachen Newton-Verfahren nach Zeile '3' entziehen, wie man aus Bild 18 erkennt.

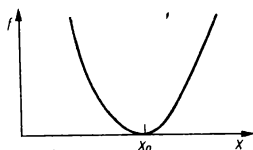


Bild 18. Funktionsverlauf in der Umgebung einer reellen Doppelwurzel x_0

In Anwendung des Programms EWEPOL auf die bisher behandelten Beispiele wurden folgende Ergebnisse erhalten:

Eigenwerte

Systemmatrix A (Tafel 4):

$$-0.08, -0.1118, -0.2913.$$

Regelkreis mit PI-Regler (Tafel 5):

$$-0.081, -0.1089, -0.1466 \pm j 0.287.$$

Diese Eigenwerte sind die Lösungen der charakteristischen Polynome der entsprechenden Matrizen, deren Koeffizienten a_i auch aus Tafel 7, Spalten 1 und 3 abgelesen werden können. Die b_i in dieser Tafel sind die Koeffizienten der entsprechenden Zählerpolynome. Bestimmt man auch deren Nullstellen, dann lassen sich die Übertragungsfunktionen des Systems in folgender Form darstellen:

Stellübertragungsfunktion der Regelstrecke

$$\begin{aligned} G_u(p) &= \frac{0.0148 (p + 0.0832)}{(p + 0.08)(p + 0.1118)(p + 0.2913)} \\ &\approx \frac{0.0148}{(p + 0.1118)(p + 0.2913)} \end{aligned} \quad (79)$$

Störübertragungsfunktion des Regelkreises

$$\begin{aligned} G_z^*(p) &= \frac{0.01287p(p + 0.08)(p + 0.1749)}{(p + 0.081)(p + 0.1089)[(p + 0.1466)^2 + 0.287^2]} \\ &\approx \frac{0.01287p(p + 0.1749)}{(p + 0.1089)[(p + 0.1466)^2 + 0.287^2]} \end{aligned} \quad (80)$$

In beiden Übertragungsfunktionen lässt sich also, zumindest im Rahmen der numerischen Genauigkeit, ein gemeinsamer Faktor $(p + 0.08)$ aus Zähler und Nenner herauskürzen.

3. Diskontinuierliche lineare Zustandsmodelle

3.1. Ermittlung von zeitdiskreten Modellen

3.1.1. Diskretisierung der Zeit

In diskontinuierlichen Modellen wird die Zeit t , $t \geq 0$, die in der Natur kontinuierlich verläuft, in diskrete Abschnitte zerhakt, d. h. in eine Folge diskreter Abschnitte kT , $k = 0, 1, 2, \dots$, unterteilt. Man spricht deshalb auch von zeitdiskreten Modellen [12]. Diskontinuierliche Modelle kommen der Behandlung auf Digitalrechnern besonders entgegen, weil diese ohnehin mit diskreten Zahlenwerten rechnen, die einer an sich kontinuierlichen Zeitfunktion niemals lückenlos dicht, sondern eben nur in gewissen Zeitabständen T entnommen werden können (Bild 19). Aus der kontinuierlichen Zeitfunktion $x(t)$ wird so eine Folge einzelner Funktionswerte $x(kT) = x_k$, die numerisch verarbeitet werden kann.

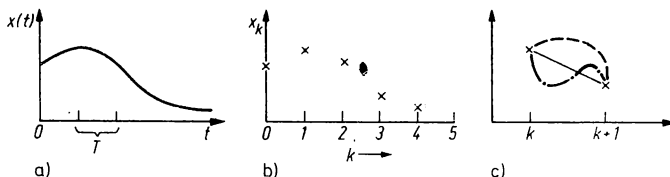


Bild 19. Diskretisierung einer Zeitfunktion

a) kontinuierliche Funktion $x(t)$; b) Folge zeitdiskreter Abtastwerte x_k ; c) zwischen zwei Abtastwerten sind keine Aussagen über den Verlauf möglich

Natürlich wünscht man, daß die Ergebnisse dieser numerischen Rechnungen dem Vorgang im Originalsystem, in dem die Zeit kontinuierlich verläuft, möglichst ähnlich sein sollen. Auf alle Fälle sollen die Lösungen des diskontinuierlichen Systems in den Abtastpunkten mit denen des kontinuierlichen übereinstimmen. Allerdings läßt sich aus den Ergebnissen des diskontinuierlichen Systems nicht erkennen, wie der Verlauf zwischen den Abtastpunkten aussieht (Bild 19 c).

Deshalb ist es günstig, den zeitlichen Diskretisierungsabstand T , die Abtastperiode, möglichst klein zu wählen. Dabei ist „klein“ immer im Verhältnis zur Systemdynamik, zu den Werten der Zeitkonstanten im System, zu verstehen.

Die Zeitkonstanten T_k eines Systems sind die negativen Kehrwerte seiner reellen Eigenwerte: $T_k = -1/p_k$.

Die Regelstrecke des Beispieldystems hat demzufolge die drei Zeitkonstanten $T_1 = 1/0.08 = 12.5$, $T_2 = 1/0.1118 = 8.94$, $T_3 = 1/0.2913 = 3.43$.

Zu dem reellen Eigenwert p_k gehört ein Anteil in der Zeitfunktion der Systembewegung

$$e^{p_k t} = e^{-t/T_k}.$$

Diskretisiert man die Zeitachse und setzt $t = kT$, dann ergibt sich daraus eine Folge e^{-kT/T_k} . Es sollen genügend Glieder dieser Folge vorhanden sein.

Wählt man im Beispieldystem $T = 1$, dann ergibt sich für die kleinste Zeitkonstante $T_3 = 3.43$ die Folge $e^{-k/3.43} = e^{-0.291k}$. Für $k = 10$ ist dieser Wert auf 5.4% abgesun-

ken, d. h., der Teilvorgang mit der kleinsten Zeitkonstante wird durch etwa zehn Punkte bis zu seinem Abklingen beschrieben, diejenigen mit den größeren Zeitkonstanten (T_1, T_2) durch entsprechend mehr. $T = 1$ ist für das Beispielsystem also völlig ausreichend.

3.1.2. Diskretisierung des Zustandsmodells

Die Zustandsgleichungen mit kontinuierlich ablaufender Zeit waren durch die Beziehungen

$$\frac{dq(t)}{dt} = f(q(t), u(t)) \quad (14)$$

$$x(t) = g(q(t), u(t)) \quad (16)$$

bzw. durch die linearen Gleichungen

$$\frac{dq(t)}{dt} = A q(t) + B u(t) \quad (24)$$

$$x(t) = C q(t) + D u(t) \quad (25)$$

gegeben. In den diskontinuierlichen Modellen treten an die Stelle der Funktionen $q(t), u(t), x(t)$ die entsprechenden Folgen zeitdiskreter Werte q_k, u_k, x_k . Die dazugehörigen Modelle lauten im allgemeinen nichtlinearen Fall

$$q_{k+1} = f^*(q_k, u_k)$$

$$x_k = g(q_k, u_k).$$

Im linearen Fall, der zukünftig ausschließlich betrachtet werden soll, lautet die zeitdiskrete Zustandsgleichung jetzt

$$q_{k+1} = P q_k + R u_k, \quad (81)$$

während die Ausgabegleichung lautet

$$x_k = C q_k + D u_k. \quad (82)$$

An den Matrizen der Ausgabegleichung ändert sich also durch die Diskretisierung der Zeit nichts, während in der Zustandsgleichung die neuen Matrizen P (Fundamentalmatrix) und R (Steuermatrix) auftauchen. Diese Matrizen berechnen sich aus den Matrizen A und B des kontinuierlichen Modells nach folgenden Beziehungen [8]:

$$P = e^{AT} = E + AT + A^2 \frac{T^2}{2} + A^3 \frac{T^3}{3!} + \dots + A^k \frac{T^k}{k!} + \dots \quad (83)$$

$$R = [(e^{AT} - E) A^{-1}] B = \left[ET + A \frac{T^2}{2} + A^2 \frac{T^3}{3!} + \dots + A^k \frac{T^{k+1}}{(k+1)!} + \dots \right] B. \quad (84)$$

Die Beziehungen (83) und (84) stellen Potenzreihen von Matrizen dar. Dabei ist eine Matrizenpotenz genauso erklärt wie die Potenz einer skalaren Größe.

$$\left. \begin{array}{l} \mathbf{a}^k = \mathbf{a} \cdot \mathbf{a} \cdot \mathbf{a} \dots \mathbf{a} \\ \mathbf{A}^k = \mathbf{A} \cdot \mathbf{A} \cdot \mathbf{A} \dots \mathbf{A} \end{array} \right\} (\text{k Faktoren}) .$$

An sich sind (83) und (84) unendliche Reihen. Die Konvergenz dieser Reihen ist auf alle Fälle gesichert. Für eine praktische Rechnung wird man jedoch immer nur mit endlichen Anzahlen von Summanden arbeiten. Daher wird ein Abbruchkriterium benötigt. Es werden nur soviel Glieder berechnet und aufsummiert, bis folgende Abbruchbedingung erfüllt ist:

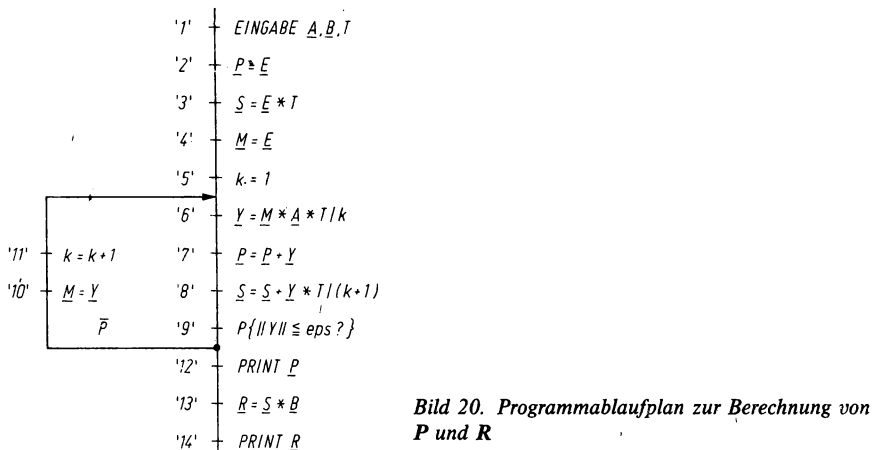
$$\| \mathbf{A}^i \| \frac{T^i}{i!} \leq \text{eps} . \quad (85)$$

Dabei bedeutet $\| \mathbf{A} \|$ die Norm der Matrix \mathbf{A} , die aus der Summe der Beträge aller ihrer Elemente gebildet werden kann:

$$\| \mathbf{A} \| = \sum_{i=1}^n \sum_{j=1}^n |a_{ij}| . \quad (86)$$

Anstelle der durch (86) ausgedrückten Betragssnorm kann man auch eine quadratische Norm berechnen, bei der die Quadrate aller Matrizeelemente addiert werden.

Zur Berechnung von \mathbf{P} und \mathbf{R} auf dem Mikrorechner wird von den Beziehungen (83) bis (86) ausgegangen. Bild 20 zeigt den Programmablaufplan.



\mathbf{M} , \mathbf{S} und \mathbf{Y} sind Zwischenmatrizen. Dabei entspricht \mathbf{Y} den Gliedern der Reihe (83). Im Rechenschritt k ist

$$\mathbf{Y}_k = \mathbf{A}^k \frac{\mathbf{T}^k}{k!} .$$

\mathbf{M} entspricht \mathbf{Y}_{k-1} (Zeile '10'). Damit wird \mathbf{Y}_k in Zeile '6' nach der rekursiven Beziehung

$$\mathbf{Y}_k = \mathbf{Y}_{k-1} \mathbf{A} \mathbf{T}/k$$

gebildet.

Die Steuermatrix \mathbf{R} wird in Zeile '13' aus $\mathbf{S} * \mathbf{B}$ berechnet. \mathbf{S} entspricht der in (84) in eckigen Klammern stehenden Summe. Vergleicht man die einzelnen Glieder dieser Reihe mit denen der Reihe (83), dann ist jedes Glied mit einem Faktor $T/(k+1)$ multipliziert. Dies erfolgt in Zeile '8'. Die Norm $\|\mathbf{Y}\|$ in Zeile '9' muß nach (86) berechnet werden.

3.1.3. Rechenprogramm

Der Programmablaufplan nach Bild 20 kann ohne Schwierigkeiten in ein Rechenprogramm umgesetzt werden, das Bestandteil des Programms ZUST ist (s. Abschn. 3.2.).

Die Zeilen '2', '3', '4' des PAP sind in den Programmzeilen 17 \emptyset , 18 \emptyset zusammengefaßt. Die Matrizenoperationen der Zeilen '6' bis '8' werden durch Laufanweisungen über I und J in den Zeilen 20 \emptyset bis 23 \emptyset realisiert. Als Abbruchschranke eps ist in Zeile 24 \emptyset der Wert 0.01 fest vorgegeben. PAP-Zeilen '10' und '11' finden sich in den Programmzeilen 25 \emptyset , 26 \emptyset ; Zeile '13' in den Zeilen 28 \emptyset , 29 \emptyset .

Die Anwendung dieses Rechenprogramms auf die Matrizen des kontinuierlichen Beispiels nach den Tafeln 4 und 5 ergab die in Tafel 11 zusammengestellten Ergebnisse.

Tafel 11. Matrizen des diskontinuierlichen Systems

Regelstrecke; $n = 3$

$T = 1$

$$\mathbf{P} = \begin{pmatrix} .9231 & 0 & 0 \\ .1483 & .777 & .04 \\ .008 & .0872 & .8644 \end{pmatrix}$$

$$\mathbf{R} = \begin{pmatrix} .254 & 0 \\ .0207 & -.00141 \\ .00073 & -.06139 \end{pmatrix}$$

$T = 2$

$$\mathbf{P} = \begin{pmatrix} .8521 & 0 & 0 \\ .2525 & .6072 & .0655 \\ .02713 & .14325 & .7507 \end{pmatrix}$$

$$\mathbf{R} = \begin{pmatrix} .4885 & 0 \\ .07453 & -.00495 \\ .0052 & -.1147 \end{pmatrix}$$

Regelkreis; $n = 4$

$T = 1$

$$\mathbf{P} = \begin{pmatrix} .8777 & -.5044 & .3219 & -.1874 \\ .1458 & .7341 & .06685 & -.0154 \\ .00788 & .0857 & .8654 & -.00054 \\ .02432 & .269 & -.1716 & .9983 \end{pmatrix}$$

$$\mathbf{R} = \begin{pmatrix} 1.8448 & -.011 \\ .1491 & -.002026 \\ .005215 & -.0614 \\ -.984 & .005925 \end{pmatrix}$$

$T = 2$

$$\mathbf{P} = \begin{pmatrix} .69466 & -.8358 & .5596 & -.344 \\ .2351 & .4669 & .1566 & -.0541 \\ .02624 & .133 & .7572 & -.0038 \\ .08355 & .4388 & -.294 & .9881 \end{pmatrix}$$

$$\mathbf{R} = \begin{pmatrix} 3.57 & -.0406 \\ .543 & -.00933 \\ .0376 & -.1148 \\ -.18823 & .02157 \end{pmatrix}$$

nisse. Für $T = 1$ waren jeweils vier Glieder der Reihe (83) zu berechnen ($k = 4$); für $T = 2$ waren es fünf Glieder. Die Rechenzeiten betragen

	$T = 1$	$T = 2$
$n = 3$	12.6/11.4	15.6/12.5
$n = 4$	25.3/20	32/24.

Die Zeitangaben gelten für ZX Spectrum bzw. KC 85/3.

3.2. Simulation des Zeitverhaltens

3.2.1. Lösung der diskontinuierlichen Zustandsgleichung

Die diskontinuierliche Zustandsgleichung (81) und die Ausgabegleichung (82) sind direkt für eine rekursive digitale Berechnung geeignet. Zur Lösung müssen dabei gegeben sein

- der Anfangszustand $q(k=0) = q_0$
- die Folge der Eingangssignalwerte u_0, u_1, \dots, u_k .

Damit ergibt sich aus (82)

$$x_0 = C q_0 + D u_0$$

und aus (81)

$$q_1 = P q_0 + R u_0.$$

Entsprechend folgt weiter

$$\begin{aligned} x_1 &= C q_1 + D u_1 \\ q_2 &= P q_1 + R u_1 \text{ usw.} \end{aligned}$$

Bild 21a zeigt den einfachen Programmablaufplan dazu.

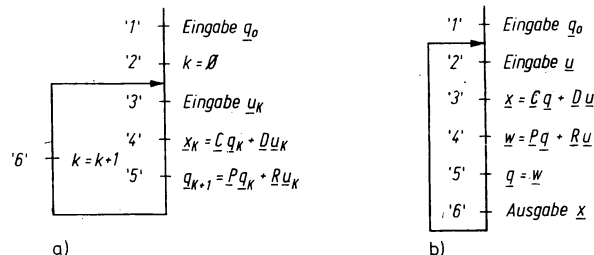


Bild 21. Programmablaufplan zur Lösung der diskontinuierlichen Zustandsgleichung

Nach diesem PAP werden in Zeile '5' die „neuen“ Werte der Zustandskomponenten $q_{k+1,i}$ berechnet, und zwar aus den „alten“ $q_{k,i}$. Dabei müssen die alten Komponenten $q_{k,1} \dots q_{k,n}$ so lange verfügbar sein, bis die letzte neue Komponente $q_{k+1,n}$ berechnet worden ist.

Bei einer direkten Programmierung des PAP nach Bild 21a wäre das nicht gewährleistet, weil die Komponente $q_{k,i}$ sofort mit dem neu berechneten Wert $q_{k+1,i}$ über-

speichert werden würde. Dieses Überspeichern ist auszuschließen. Daher sind die neuen Komponenten $q_{k+1,i}$ zunächst in einem Zwischenvektor w zwischenzuspeichern, bis die Berechnung abgeschlossen ist.

Dagegen wird der Index k für die Rechnung nicht benötigt, wenn der jeweils berechnete Ausgangsvektor x unmittelbar ausgegeben wird. Das führt auf den PAP nach Bild 21 b. Die Zeile '6', in der der in Zeile '3' berechnete x -Vektor ausgegeben wird, kann auch an anderer Stelle eingeordnet werden.

Für sekundäre Zwecke kann es allerdings angebracht sein, doch eine Größe k als Zählvariable mitzuführen, deren Wert bei jedem Durchlauf durch die Programm-Schleife um 1 erhöht wird – sei es, um nur eine bestimmte Anzahl von Werten zu berechnen, für Diagrammausgabe oder auch zur Erzeugung von Werten des Eingangssignals u im Rechenprogramm.

3.2.2. Eingangssignale

Nach Bild 21 a und b wird in jedem Zyklus ein Wert des Eingangsvektors u (im einfachsten Fall: eine Eingangskomponente u) benötigt. Dies kann z.B. durch eine INPUT-Anweisung oder durch Lesen aus einer Datenliste erfolgen.

Für typische Eingangszeitverläufe können die Werte vom Rechner selbst erzeugt werden.

Sprungfunktion

Es ist $u_k = u_0 \Rightarrow \text{const}$ für alle k . u_0 ist die Sprungamplitude. Für diesen Fall liefert das Gleichungssystem (81), (82) eine exakte, d.h. in den Abtastpunkten mit der Lösung des kontinuierlichen Systems übereinstimmende Lösung – unabhängig davon, wie groß T gewählt wurde.

Sinusfunktion

Die kontinuierliche Funktion lautet

$$u(t) = u_0 \sin(\omega t).$$

Durch Abtastung folgt daraus

$$u_k = u_0 \sin(k \omega T).$$

Die Lösung von (81), die im Abschn. 3.2.1. beschrieben wurde, beruht auf der Voraussetzung, daß u zwischen den Abtastpunkten konstant ist, d.h. $u(t) = u_k$ für $kT \leq t < (k+1)T$. Das bedeutet: Der Algorithmus berechnet die Lösung der Systemgleichung für einen Eingangszeitverlauf, der durch die im Bild 22 gezeigte Treppefunktion gegeben ist, anstelle der ursprünglichen Sinusfunktion. Dadurch ergibt sich ein Fehler, der um so weniger ins Gewicht fällt, je kleiner die Abtastperiode

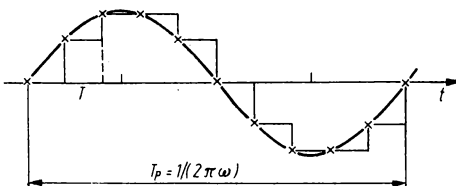


Bild 22. Abtastung einer Sinusfunktion

riode T im Verhältnis zur Periodendauer $T_p = 1/(2\pi\omega)$ des Sinussignals ist. Bei gegebener Kreisfrequenz ω ist demnach die Abtastperiodendauer T geeignet zu wählen. Im Programm ZUST (s. Abschn. 3.2.4.) wurde ein Grenzwert $T/T_p \leq 1/8$, d. h. $\omega T \leq \pi/4$ zugrunde gelegt.

Zufallsfunktion

Stochastische, vom Zufall abhängende Einflußgrößen treten oftmals auf. Die Nachbildung solcher Signale als Systemeingangsgrößen hat deshalb große Bedeutung. Wie im Abschn. 1.6. gezeigt worden war, läßt sich ein beliebiges gefiltertes Rauschsignal x_R als Eingangssignal für ein dynamisches System dadurch gewinnen, daß man das Zustandsmodell des Systems (A, b_u, C, d) mit dem des Rauschfilters (A_R, b_R, c_R^T) zu einem einzigen Modell zusammenfaßt (56).

Dieses Gesamtmodell (A^*, b^*, C^*) ist in das Programm ZUST einzugeben.

Als Eingangssignal des Systems muß dann ein weißes Rauschsignal w verwendet werden (55).

Als kontinuierliches Signal läßt sich ein solches weißes Rauschen nicht darstellen. Für die hier betrachtete zeitdiskrete Lösung erhält man jedoch mit der BASIC-Funktion RND sehr leicht eine Folge von Werten, die als Abtastwerte eines weißen Rauschens aufgefaßt werden können.

So ergibt sich in der BASIC-Version des KC 85/3 bei jedem Aufruf

$$u\emptyset * (RND(1) - \emptyset)$$

ein Wert aus einer zwischen $-u\emptyset/2$ und $+u\emptyset/2$ gleichverteilten, d. h. zentrierten Zufallszahlenfolge. (Die Varianz der Folge beträgt $\sigma_w^2 = u\emptyset^2/12$.)

Das so gewonnene Signal stellt das Äquivalent eines weißen Eingangs-Rauschsignals dar. Wird also der Befehl

$$\text{LET } U = U\emptyset * (RND(1) - .5) \quad (87)$$

in der Zeile '2' des PAP nach Bild 21b angeordnet, dann wird damit die Systemreaktion auf ein gefiltertes Rauschsignal ermittelt, dessen Parameter durch das Rauschfilter gegeben sind.

3.2.3. Dialogführung; Programm ZUST

Ein anwenderfreundliches Programm verlangt oftmals viele Befehle, die nicht der Umsetzung der eigentlichen Algorithmen dienen, sondern dazu, den Dialog mit dem Nutzer möglichst bequem zu gestalten. Bereits die früher behandelten Programme FREQ (s. Abschn. 2.2.2.) und EWEPOL (s. Abschn. 2.3.4.) enthielten solche Dialogführungen, die bei der Beschreibung der Programme nicht weiter erläutert worden sind.

Hier soll als ein Beispiel etwas ausführlicher, aber keineswegs erschöpfend auf die Dialogführung im Rechenprogramm ZUST eingegangen werden. Dieses Programm soll folgende Anforderungen erfüllen:

1. Es sind auf der Basis eines kontinuierlichen Zustandsmodells die Matrizen P und R eines diskontinuierlichen Modells zu berechnen und auszugeben.
2. Bedarfsweise ist das dynamische Verhalten der durch das Zustandsmodell beschriebenen Systeme für verschiedene Eingangssignale zu ermitteln. Als Ein-

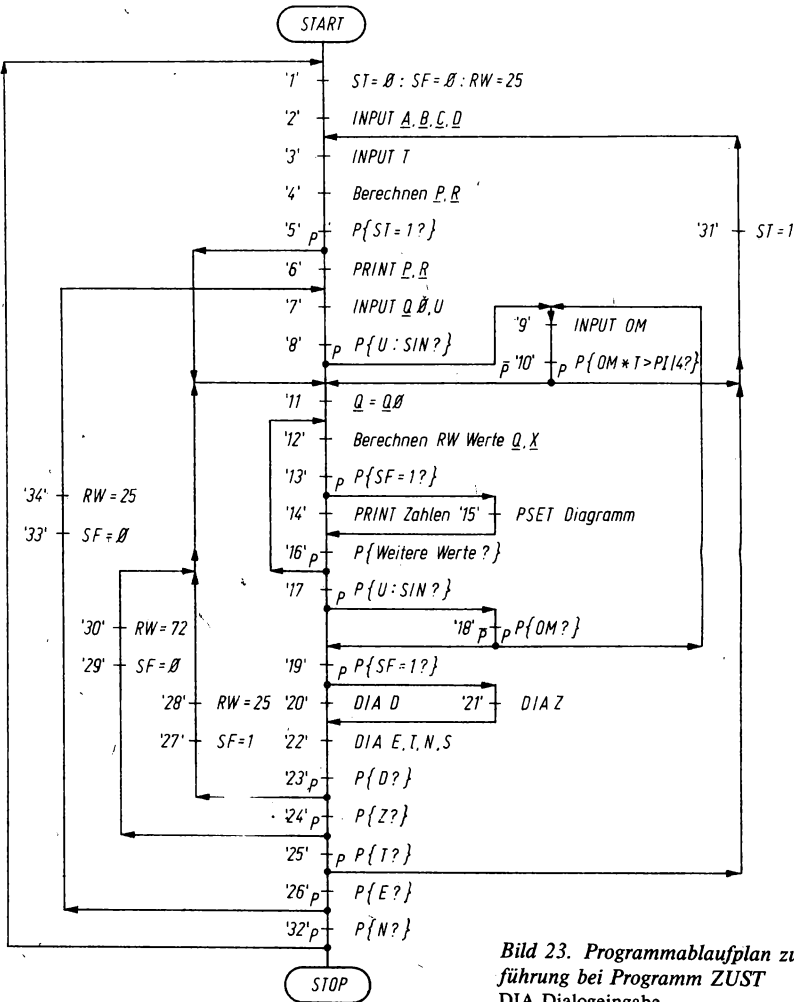


Bild 23. Programmablaufplan zur Dialog-führung bei Programm ZUST
DIA Dialogeingabe

gangssignale sind vorzusehen: Sprungfunktionen, Sinusfunktionen, Zufallsfunktionen.

3. Die Rechenergebnisse sollen wahlweise als Tabellen oder als Diagramme der Zeitfunktionen dargestellt werden.
4. Der Programmnutzer soll vom Rechner über Bildschirm aufgefordert werden, die entsprechenden Eingaben zu machen.

Die algorithmische Lösung der Aufgaben ist durch die Abschnitte 3.1.2. und 3.2.1. beschrieben worden. Die dazu erforderlichen Operationen nehmen im Programmablaufplan (Bild 23) nur einen geringen Raum ein. Zeile '4' umfaßt die Operationen zur Berechnung von P und R, die im Abschn. 3.1.2. sowie im PAP Bild 20 dargestellt worden sind. Im Rechenprogramm ZUST entsprechen dem die Zeilen 150 bis 300.

Programm ZUST

```

10 REM EINGABEN
20 INPUT "FORMATEN M, P ";N,M,P
30 LET ST =  $\emptyset$ : LET SF =  $\emptyset$ : LET RW = 25
40 DIM A(N,N), B(N,M), C(P,N), R(N,M), D(P,M), P(N,N), Y(N,N), S(N,N)
50 DIM M(N,N), Q(N), U(M), V(N), W(N), X(P)
60 FOR I = 1 TO N: FOR J = 1 TO N: PRINT"A(";I,J;")";
70 INPUT A(I,J): NEXT J: NEXT I: PRINT
80 FOR I = 1 TO N: FOR J = 1 TO M: PRINT"B(";I,J;")";
90 INPUT B(I,J): NEXT J: NEXT I
100 FOR I = 1 TO P: FOR J = 1 TO N: PRINT"C(";I,J;")";
110 INPUT C(I,J): NEXT J: NEXT I: PRINT
120 FOR I = 1 TO P: FOR J = 1 TO M: PRINT"D(";I,J;")";
130 INPUT D(I,J): NEXT J: NEXT I
140 INPUT "ZEITABSTAND T ";T
150 REM BERECHNUNG FUNDAMENTALMATRIX
160 LET K = 1
170 FOR I = 1 TO N: FOR J = 1 TO N: LET P(I,J) =  $\emptyset$ : LET M(I,J) =  $\emptyset$ : LET S(I,J) =  $\emptyset$ :
NEXT J
180 LET P(I,I) = 1: LET M(I,I) = 1: LET S(I,I) = T: NEXT I
190 LET NO =  $\emptyset$ 
200 FOR I = 1 TO N: FOR J = 1 TO N: LET Y(I,J) =  $\emptyset$ 
210 FOR L = 1 TO N: LET Y(I,J) = Y(I,J) + M(I,L) * A(L,J) * T/K: NEXT L
220 LET P(I,J) = P(I,J) + Y(I,J): LET S(I,J) = S(I,J) + Y(I,J) * T/(K + 1)
230 LET NO = NO + ABS(Y(I,J)): NEXT J: NEXT I
240 IF NO < =  $\emptyset$ 1 GOTO 280
250 LET K = K + 1: FOR I = 1 TO N: FOR J = 1 TO N
260 LET M(I,J) = Y(I,J): NEXT J: NEXT I: GOTO 190
270 REM BERECHNUNG STEUERMATRIX
280 FOR I = 1 TO N: FOR J = 1 TO M: LET R(I,J) =  $\emptyset$ 
290 FOR L = 1 TO N: LET R(I,J) = R(I,J) + S(I,L) * B(L,J): NEXT L
300 NEXT J: NEXT I: CLS: IF SF THEN GOSUB 1050
310 IF ST GOTO 640
320 PRINT "FUNDAMENTALMATRIX P(T = ";T;")": PRINT
330 FOR I = 1 TO N: FOR J = 1 TO N: PRINT TAB(11 * (J - 1));P(I,J);
340 NEXT J: PRINT: NEXT I: PRINT
350 PRINT "STEUERMATRIX R(T = ";T;")": PRINT
360 FOR I = 1 TO N: FOR J = 1 TO M: PRINT TAB(11 * (J - 1));R(I,J);
370 NEXT J: PRINT: NEXT I: PRINT
380 PRINT "NEUER WERT FUER T?: 1"
390 PRINT "ZEITVERLAUF ? 2"
400 PRINT "ENDE ? 3"
410 INPUT AP: CLS
420 ON AP GOTO 140, 450, 430
430 END
440 REM EINGABEN FUER ZEITVERLAUF
450 LET MAX =  $\emptyset$ : LET BP =  $\emptyset$ : IF P = 1 THEN LET V = 1: GOTO 470
460 PRINT "INDEX AUSGANGSGROESSE X(I), I = ?": INPUT V
470 PRINT ANFANGSZUSTAND Q $\emptyset$  =  $\emptyset$ : EINGABE  $\emptyset$ , SONST 1": INPUT AA
480 IF AA =  $\emptyset$  THEN FOR I = 1 TO N: LET V(I) =  $\emptyset$ : NEXT I: GOTO 530
490 PRINT "ANFANGSZUSTAND": FOR I = 1 TO N: PRINT "Q $\emptyset$ (";I,")";
500 INPUT V(I): NEXT I: PRINT

```

```

510 PRINT "EINGANGSGROESSEN = Ø: EINGABE Ø, SONST 1"
520 INPUT BB: IF BB = Ø THEN LET R = 1: LET UØ = Ø: LET U(R) = Ø: CLS: GOTO 64Ø
530 IF M = 1 THEN LET R = 1: GOTO 55Ø
540 PRINT "INDEX EINGANGSGROESSE U(I)? I = ?": INPUT R
550 PRINT "ZEITVERLAUF EINGANGSGROESSE U(";R;")": PRINT
560 PRINT "SPRUNG : EINGABE 1"
570 PRINT "SINUS : 2"
580 PRINT "ZUFALL : 3"
590 INPUT BP: CLS
600 INPUT "AMPLITUDE UØ ";UØ
610 IF BP < > 2 GOTO 64Ø
620 INPUT "OMEGA ";OM: CLS: IF T * OM < = PI/4 GOTO 64Ø
630 PRINT "T = ";T;" ZU GROSS": LET ST = 1: GOTO 14Ø
640 IF SF THEN GOSUB 1Ø5Ø: REM BERECHNUNG ZEITVERLAUF
650 FOR I = TO N: LET Q(I) = V(I): NEXT I
660 LET H = Ø
670 FOR K = Ø TO RW: IF BP = 1 THEN LET U(R) = UØ: GOTO 7ØØ
680 IF BP = 2 THEN LET U(R) = UØ * SIN(H * OM * T): GOTO 7ØØ
690 IF BP = 3 THEN LET U(R) = 2 * UØ * (RND(1) - .5)
700 LET X(V) = Ø: FOR L = 1 TO N: LET X(V) = X(V) + C(V,L) * Q(L): NEXT L
710 LET X(V) = X(V) + D(V,R) * U(R)
720 IF ABS(X(V)) > MAX THEN LET MAX = ABS(X(V))
730 IF SF = Ø THEN PRINT H * T, X(V): GOTO 76Ø
740 LET XA = F * X(V) + 128: IF XA > 25Ø OR XA < 1Ø GOTO 93Ø
750 PSET 4 * K + 25, XA
760 FOR I = 1 TO N: LET W(I) = Ø: FOR J = 1 TO N
770 LET W(I) = W(I) + P(I,J) * Q(J): NEXT J
780 LET W(I) = W(I) + R(I,R) * U(R): NEXT I
790 FOR I = 1 TO N: LET Q(I) = W(I): NEXT I
800 LET H = H + 1: NEXT K: IF SF = Ø THEN LET F = 75/MAX
810 INPUT "WEITERE WERTE J/N ?";E$: LET N$ = "N"
820 IF E$ = "N" GOTO 85Ø
830 CLS: IF SF THEN GOSUB 1Ø5Ø
840 GOTO 67Ø
850 CLS: IF BP = 2 THEN INPUT "NEUES OMEGA J/N ?";N$
860 IF N$ = "N" GOTO 88Ø
870 GOTO 62Ø
880 PRINT "EINGABEN": PRINT
890 IF SF THEN PRINT "ZAHLEN : Z"
900 IF SF = Ø THEN PRINT "DIAGRAMM : D"
910 PRINT "ANDERE EIN-/AUSGANGSGROESSEN : E"
920 PRINT "ANDERE ZEITABSTAENDE : T"
930 IF SF THEN PRINT "ANDERE SKALIERUNG : F"
940 PRINT "NEUEINGABE : N"
950 PRINT "SCHLUSS : S"
960 INPUT B$: CLS
970 IF B$ = "D" THEN LET SF = 1: LET RW = 72: GOTO 64Ø
980 IF B$ = "Z" THEN LET SF = Ø: LET RW = 25: GOTO 64Ø
990 IF B$ = "E" THEN LET SF = Ø: LET RW = 25: GOTO 45Ø
1000 IF B$ = "T" THEN LET ST = 1: GOTO 14Ø
1010 IF B$ = "F" THEN PRINT "SKALIERUNG F = ";F: PRINT "NEUER WERT ": INPUT F: CLS: GOTO 64Ø

```

```

1020 IF BS = "N" THEN RUN
1030 END
1040 REM ZEICHNEN KOORDINATENSYSTEM
1050 LINE 25,128,315,128: LINE 25 28,25,230
1060 FOR X = 65 TO 305 STEP 40: FOR Y = 129 TO 131: PSET X,Y: NEXT Y: NEXT X
1070 FOR Y = 28 TO 228 STEP 20: FOR X = 23 TO 26: PSET X,Y: NEXT X: NEXT Y
1080 FOR I = 1 TO 7: PRINT AT(16, 5*I + 1); 10 * I: NEXT I
1090 PRINT AT(2,1);100/F: PRINT AT(29,1);-100/F
1100 PRINT AT(17,35);"T": PRINT AT(3,32);"T = ";T: PRINT AT(16,2);"0"
1110 RETURN

```

Zeile '12' des PAP Bild 23 umfaßt die Berechnung einer Folge von jeweils RW Werten des Zustandsvektors q und Ausgangsvektors x nach den Algorithmen von Abschn. 3.2.1.; PAP Bild 21b, Programm ZUST: Zeilen 660 bis 800.

Die Eingabe der Modellmatrizen (Zeile '2', Bild 23) wird in den Programmzeilen 60 bis 130 verwirklicht. Vorher hat der Nutzer auf Anforderung in Zeile 20 die Formate N (Anzahl der Zustandsgrößen), M (Anzahl der Eingangsgrößen) P (Anzahl der Ausgangsgrößen) einzugeben. Ist $M > 1$ bzw. $P > 1$, wird später vom Nutzer eine Festlegung gefordert, für welche der Ausgangsgrößen $X(V)$ bzw. Eingangsgrößen $U(R)$ die Berechnung durchgeführt bzw. Ergebnisausgabe vorgenommen werden sollen (Zeilen 460 und 540). Ist $M = 1$ bzw. $P = 1$, werden diese Abfragen natürlich übergangen (Zeile 450 bzw. 530).

Eine notwendige Eingabe ist die der Abtastzeit T (Zeile '3' bzw. 140). Diese Eingabe kann zu verschiedenen Anlässen notwendig werden:

1. nach Start des Programms und Modelleingabe
2. bei Berechnung der Reaktion auf Sinus-Eingangssignale der Kreisfrequenz ω , wenn das ursprünglich gewählte T nicht der Bedingung $\omega T \leq \pi/4$ genügt (vgl. Abschn. 3.2.2.)
(Zeile '10' bzw. 620); dann ist ein kleinerer Wert für T einzugeben
3. nach Berechnung eines Satzes von RW Werten, wenn danach der Wunsch nach einer größeren oder kleineren Abtastzeit aufkommt (Zeile '25' bzw. 1000).

Nach jeder Eingabe bzw. Änderung von T müssen die Matrizen P und R neu berechnet werden. Ihr Ausdruck soll jedoch nur erfolgen, wenn ein neues Modell eingegeben wurde (Fall 1) oder wenn das Programm ZUST dazu verwendet werden soll, P und R zu berechnen und auszudrucken (Dialogeingabe in Zeile 380). Wird dagegen im Zuge der Berechnung von Zeitfunktionen die Abtastzeit T geändert (Fälle 2 und 3), dann besteht keine Notwendigkeit, P und R jedesmal auszudrucken. Daher wird die Ausgabe durch den Selektor ST gesteuert. $ST = \emptyset$ bedeutet Ausgabe. ST wird in den Zeilen '1' und '31' (30, 630, 1000) festgelegt bzw. verändert.

Ein weiterer Selektor SF legt die Form der Ergebnisdarstellung als Zahlentabelle ($SF = \emptyset$) oder Diagramm ($SF = 1$) fest. Beim ersten Durchlauf werden immer Zahlentabellen ausgegeben (Zeile '14'), und zwar jeweils $RW = 25$ Werte, um gerade einen Bildschirm zu füllen (s. Zeile '1'). Die Bildschirmtablette gibt die Werte der Zeit kT und der ausgewählten Ausgangsgröße $X(V)$ an (Zeile 730).

Nach Darstellung von RW Werten besteht die Möglichkeit, einen weiteren Satz von wiederum RW Werten ausgeben zu lassen (Dialogeingabe Zeile '16' bzw. 810) oder in den weiteren Dialog einzutreten (Zeile '22').

Ist $SF = 1$ gesetzt, werden $RW = 72$ Werte als Diagramm ausgegeben (Zeile '15' bzw. '74 \emptyset , 75 \emptyset). Dazu wird im Unterprogramm ab Zeile 105 \emptyset ein Koordinatensystem gezeichnet und beschriftet. Der Maßstabsfaktor F, der den Ordinatenmaßstab der Diagrammdarstellung festlegt (Zeile 74 \emptyset), wird automatisch aus dem größten Wert von X(V) berechnet, der in der jeweils vorangegangenen Tabellendarstellung aufgetreten ist (Zeilen 72 \emptyset , 80 \emptyset). Deshalb erfolgt nach jeder wesentlichen Änderung der Programmabarbeitung, außer der von T, zunächst ein automatisches Um-schalten auf Tabellenausgabe, $SF = \emptyset$ (Zeilen '1', '29', '33'). Die Eingaben in Zeile '7' (Zeilen 49 \emptyset ... 60 \emptyset) umfassen neben der schon beschriebenen Festlegung der Indizes von Ausgangs- und Eingangsgröße den Anfangszustand q_0 , abgespeichert für wiederholten Zugriff im Feld V(I), sowie Angaben zur gewünschten Eingangsgröße U(R) (Menüauswahl Sprung/Sinus/Zufall, Zeilen 56 \emptyset bis 59 \emptyset). Bei „Sinus“ wird ein Selektor BP = 2 gesetzt, um die zusätzliche Eingabe der Kreisfre-quenz ω zu ermöglichen (Zeile '9' (62 \emptyset) bzw. Neueingabe '18' (85 \emptyset)). Bei der Dialogeingabe von q_0 und u werden dem Nutzer nur relevante Fragen gestellt. Soll beispielsweise nur die Systemreaktion auf einen von null verschiedenen Anfangs-zustand q_0 ermittelt werden, aber keine Eingangsgröße auftreten, dann erübrigen sich Anfragen nach Signaltyp' und -amplitude (Überspringen der Zeilen 53 \emptyset bis 63 \emptyset).

Nach Abarbeiten des Programms, beim ersten Durchlauf dem Ausdruck von 25 Ta-bellenwerten (ggf. wiederholt), werden in der Dialogeingabe '20' (später dann, bei vorangegangener Diagrammausgabe, $SF = 1$, in der Dialogeingabezeile '21') sowie den weiteren Dialogeingabemöglichkeiten '22' die Alternativen Diagrammdarstel-lung D (bei vorangegangener Zahlenausgabe) bzw. Zahlenausgabe Z (bei vorange-gangener Diagrammausgabe), Änderung der Abtastzeit T, Änderung E von q_0 bzw. u, Neueingabe N von Prozeßmodell und schließlich Abschluß S der Sitzung zur Auswahl gestellt, die zu den von den Zeilen '23', '24', '25', '26' und '32' ausgelen-den Programmfortsetzungen führen. Im Programm entsprechen dem die Zeilen 88 \emptyset bis 103 \emptyset .

Eine weitere Möglichkeit, im Bild 23 nicht dargestellt, besteht in der Änderung des Ordinatenmaßstabs F (Zeile 93 \emptyset), die auch vom Programm dann angesprungen wird, wenn die Kurve in der Diagrammdarstellung die Bildschirmfläche zu über-schreiten droht (Zeile 74 \emptyset).

Bild 24 zeigt als Anwendungsbeispiel einen Regelvorgang, der für das Beispiel nach Bild 1 berechnet worden ist.

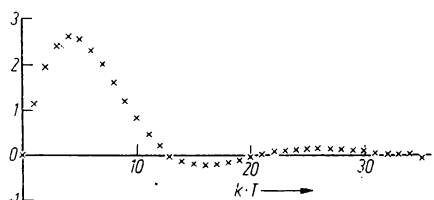


Bild 24. Werteverlauf der Regelgröße des Beispielsystems nach Sprungstörung und PI-Regler mit Einstellwerten nach Tafel 5

4. Diskontinuierliche Klemmenmodelle

4.1. Herleitung der Modelle

4.1.1. Die z-Übertragungsfunktion

Das meiste, was im Abschn. 2.1.1. zu den Klemmenmodellen kontinuierlicher Systeme gesagt worden ist, gilt auch sinngemäß für die Klemmenmodelle diskontinuierlicher Systeme.

Der Hauptunterschied wird durch den zeitdiskreten Charakter bestimmt. Klemmenmodelle kontinuierlicher Systeme stellen die Zusammenhänge zwischen den kontinuierlichen Zeitfunktionen der Eingangsgröße $u(t)$ und der Ausgangsgröße $x(t)$ her. Sie haben die Form von Differentialgleichungen mit Ableitungen nach der Zeit (in diesem Band nicht weiter betrachtet) oder von Übertragungsfunktionen $G(p)$ (s. Gl. (57)). Dabei ist p der Laplace-Operator, der auch als Differentiationsoperator für d/dt aufgefaßt werden kann [7].

Klemmenmodelle diskontinuierlicher Systeme vermitteln die Zusammenhänge zwischen Wertefolgen der Eingangsgröße u_k und der Ausgangsgröße x_k . Die allgemeine Form eines solchen Klemmenmodells ist eine Differenzengleichung.

$$h_n x_{k-n} + h_{n-1} x_{k-n+1} + \dots + h_1 x_{k-1} + h_0 x_k = g_0 u_k + g_1 u_{k-1} + \dots + g_n u_{k-n}; \quad (88)$$

$k = 0, 1, 2, \dots$ entspricht den Abschnitten kT auf der Zeitachse (s. Bild 19 b).

x_{k-i} bedeutet demnach den Wert von x zu einem Abtastpunkt, der i Abschnitte vor dem gerade betrachteten Punkt k liegt. Allgemein wird vereinbart, daß in den Folgen keine negativen Indizes auftreten sollen, d. h., es ist $x_{k-i} = 0$ und $u_{k-i} = 0$ für $k < i$.

Gl. (88) ist direkt nach einem numerischen rekursiven Verfahren zu lösen (vgl. Abschn. 4.2.). Zur Lösung müssen gegeben sein

- die Werte der Eingangsfolge u_k ; $k = 0, 1, 2, \dots$ Das entspricht dem Zeitverlauf der Eingangsgröße $u(t)$; $t \geq 0$ bei einem kontinuierlichen System.
- die Anfangsglieder x_0, x_1, \dots, x_{n-1} der Ausgangsfolge. Dies entspricht den Anfangswerten $x(0), \dot{x}(0), \dots, x^{(n-1)}(0)$ bei einem kontinuierlichen System.

Ein Klemmenmodell der Form (88) ist auch als Übertragungsfunktion $G(z)$ darstellbar. Dazu wird die z-Transformation angewendet [8]. Für eine numerische Berechnung der Systemantworten wird von der z-Transformation jedoch nur eine einzige Eigenschaft benötigt: z ist ein Verschiebeoperator, der die Indizes in den Folgen erhöht bzw. erniedrigt. Eine Multiplikation mit z bedeutet eine Indexerhöhung um 1, eine Multiplikation mit z^i eine Indexerhöhung um i . Ebenso bedeutet eine Multiplikation mit z^{-1} eine Indexerniedrigung um 1, eine Multiplikation mit z^{-i} eine Indexerringerung um i .

Wenn symbolisch geschrieben werden soll

$$X(z) \triangleq \{x_k\} \quad (\text{z-Transformierte der Folge } x_k),$$

dann gilt einfach

$$z^{-i} X(z) \triangleq \{x_{k-i}\}.$$

Damit kann man für (88) auch symbolisch schreiben

$$(h_n z^{-n} + h_{n-1} z^{n-1} + \dots + h_1 z^{-1} + h_0) X(z) = (g_0 + g_1 z^{-1} + \dots + g_n z^{-n}) U(z).$$

Die Größen $X(z)$ bzw. $U(z)$ wurden dabei auf der linken bzw. rechten Seite der Gleichung jeweils ausgeklammert.

Für die Übertragungsfunktion $G(z)$ lässt sich daraus ablesen

$$G(z) = \frac{X(z)}{U(z)} = \frac{g_0 + g_1 z^{-1} + \dots + g_n z^{-n}}{h_0 + h_1 z^{-1} + \dots + h_n z^{-n}}. \quad (89)$$

Durch Erweitern mit z^n erhält man eine gleichwertige Form, in der nur positive Potenzen von z auftreten:

$$G(z) = \frac{g_0 z^n + g_1 z^{n-1} + \dots + g_n}{h_0 z^n + h_1 z^{n-1} + \dots + h_n}. \quad (90)$$

4.1.2. Herleitung aus dem diskontinuierlichen Zustandsmodell

Das Zustandsmodell (81), (82) erhält für jeweils eine einzige Eingangsgröße u und Ausgangsgröße x die Form

$$q_{k+1} = P q_k + r u_k \quad (91)$$

$$x_k = c^T q_k + d u_k. \quad (92)$$

Werden die z -Transformierten der Folgen q_k , u_k und x_k wieder mit Großbuchstaben $Q(z)$, $U(z)$, $X(z)$ gekennzeichnet, dann erhält man, wenn der Anfangszustand $q_0 = 0$ ist, aus (91) und (92) die beiden Gleichungen

$$z Q(z) = P Q(z) + r U(z) \quad (93)$$

$$X(z) = c^T Q(z) + d U(z). \quad (94)$$

In völliger Analogie zur Vorgehensweise im Abschn. 2.1.1., Gl. (58), (59) wird Gl. (93) nach $Q(z)$ aufgelöst und das Ergebnis in Gl. (94) eingesetzt. Man erhält

$$\begin{aligned} z Q(z) - P Q(z) &= (z E - P) Q(z) = r U(z) \\ Q(z) &= (z E - P)^{-1} r U(z) \\ X(z) &= [c^T (z E - P)^{-1} r + d] U(z) \\ G(z) &= \frac{X(z)}{U(z)} = c^T (z E - P)^{-1} r + d. \end{aligned} \quad (95)$$

Gl. (95) entspricht völlig (60), mit der die p -Übertragungsfunktion aus A , b , c^T und d berechnet wurde. Folgende Entsprechungen bestehen:

- Differentialoperator p /Verschiebeoperator z
- Systemmatrix A /Fundamentalmatrix P
- Steuervektor b /Steuervektor r .

$G(z)$ kann deshalb direkt durch Anwendung des Faddejew-Algorithmus (s. Abschn. 2.1.2.) bzw. des entsprechenden Teils des Programms FREQ (s. Abschn. 2.1.3.) mit den Eingaben P anstelle A , r anstelle b ermittelt werden. Ausgegeben werden die Zähler- und Nennerkoeffizienten der z -Übertragungsfunktion

in der Form (90). Natürlich ist bei der Bildschirmausgabe im Programm FREQ (Zeilen 540 bis 620) in Gedanken „z↑“ anstelle von „p↑“ zu setzen. Auf diese Weise wurden aus dem diskontinuierlichen Zustandsmodell der Regelstrecke mit den Matrizen nach Tafel 10 die z-Übertragungsfunktionen G(z) erhalten, deren Koeffizientenwerte von der Abtastperiodendauer T abhängen. Mit dem Programm FREQ erhält man

für T = 1

$$G_u(z) = \frac{-0.005226 - 0.0002834 z + 0.006482 z^2}{-0.61677 + 2.1833 z - 2.5645 z^2 + z^3}$$

und für T = 2

$$G_u(z) = \frac{-0.01482 - 1.8329 z + 0.02283 z^2}{-0.3804 + 1.6035 z - 2.21 z^2 + z^3}.$$

(Bemerkt sei noch, daß die Anwendung der weiteren Teile des Programms FREQ auf die diskontinuierlichen Modelle keinen Sinn ergibt.)

4.1.3. Herleitung aus der kontinuierlichen Übertragungsfunktion

Darstellungen der Systemdynamik als Übertragungsfunktionen der Form (57) sind sehr verbreitet. Einfache Übertragungsglieder (Verzögerungsglied, Schwingungsglied, I-Glied, DT₁-Glied usw.) werden oftmals durch die Parameter ihrer Übertragungsfunktion charakterisiert.

Daher besteht ein Bedürfnis, das Zeitverhalten eines Systems, von dem die p-Übertragungsfunktion G(p) bekannt ist, digital, d.h. punktweise zu berechnen. Der Weg dazu führt über die z-Übertragungsfunktion G(z) auf eine Differenzengleichung der Form (88) und deren Lösung (s. Abschn. 4.2.).

Ein exakter Weg, G(z) aus G(p) zu gewinnen, ist leider etwas kompliziert und vor allem kaum algorithmierbar. Deshalb wird hier ein Näherungsansatz gemacht, der für kleine T (im Verhältnis zu den Zeitkonstanten des Systems; vgl. Abschn. 3.1.1.) gute Ergebnisse bringt [8]. Dabei erhält man die z-Übertragungsfunktion G(z), indem man einfach in G(p) anstelle p setzt

$$p = \frac{2}{T} \frac{z - 1}{z + 1}. \quad (96)$$

Der Anschaulichkeit halber sei die Rechnung für eine Übertragungsfunktion der Ordnung n = 2 durchgeführt. G(p) lautet hierfür

$$G(p) = \frac{b_0 + b_1 p + b_2 p^2}{a_0 + a_1 p + a_2 p^2}.$$

Einsetzen von (96) und Erweitern mit (z+1)² ergibt

$$G(z) = \frac{b_0(z+1)^2 + b_1 \frac{2}{T}(z-1)(z+1) + b_2 \frac{4}{T^2}(z-1)^2}{a_0(z+1)^2 + a_1 \frac{2}{T}(z-1)(z+1) + a_2 \frac{4}{T^2}(z-1)^2}.$$

Ausmultiplizieren und Ordnen nach Potenzen von z in Zähler und Nenner bringt

$$G(z) = \frac{b_0 - \frac{2b_1}{T} + \frac{4b_2}{T^2} + \left(2b_0 - \frac{8}{T^2} b_2\right)z + \left(b_0 + \frac{2}{T} b_1 + \frac{4}{T^2} b_2\right)z^2}{a_0 - \frac{2a_1}{T} + \frac{4a_2}{T^2} + \left(2a_0 - \frac{8}{T^2} a_2\right)z + \left(a_0 + \frac{2}{T} a_1 + \frac{4}{T^2} a_2\right)z^2}.$$

Wie man bemerkt, werden die Ausdrücke in Zähler und Nenner völlig analog gebildet. Dividiert man den erhaltenen Ausdruck durch z^2 , dann lässt sich das Ergebnis in Form einer z-Übertragungsfunktion (89) schreiben:

$$G(z) = \frac{g_2 z^{-2} + g_1 z^{-1} + g_0}{h_2 z^{-2} + h_1 z^{-1} + h_0}, \quad (97)$$

und man erkennt das Bildungsgesetz für die Koeffizienten im Zähler

$$g_2 = b_0 - 2 \frac{b_1}{T} + 4 \frac{b_2}{T^2}$$

$$g_1 = 2 b_0 - 8 \frac{b_2}{T^2} \quad (98)$$

$$g_0 = b_0 + 2 \frac{b_1}{T} + 4 \frac{b_2}{T^2}.$$

Für die Nennerkoeffizienten $h_2 \dots h_0$ gelten die gleichen Beziehungen, wobei a_i anstelle der b_i zu setzen ist.

Die beispielhaft für $n = 2$ abgeleiteten Beziehungen (98) lassen sich auf beliebige n ausdehnen. Allgemein lässt sich schreiben

$$g_i = \sum_{j=0}^n k_{ij} \frac{b_j}{T^j}; \quad i = 0 \dots n \quad (99)$$

$$h_i = \sum_{j=0}^n k_{ij} \frac{a_j}{T^j}. \quad (100)$$

Die Koeffizienten k_{ij} können zu einer Matrix zusammengefaßt werden, die für $n = 2$ folgende Gestalt hat:

$$K = \begin{pmatrix} 1 & 2 & 4 \\ 2 & 0 & -8 \\ 1 & -2 & 4 \end{pmatrix}.$$

Tafel 12. Matrix der Koeffizienten zur Berechnung eines diskontinuierlichen aus einem kontinuierlichen Klemmenmodell ; $n = 5$

$$K = \begin{pmatrix} 1 & 2 & 4 & 8 & 16 & 32 \\ 5 & 6 & 4 & -8 & -48 & -160 \\ 10 & 4 & -8 & -16 & 32 & 320 \\ 10 & -4 & -8 & 16 & 32 & -320 \\ 5 & -6 & 4 & 8 & -48 & 160 \\ 1 & -2 & 4 & -8 & 16 & -32 \end{pmatrix}$$

Für andere n lassen sich die Koeffizienten k_{ij} in analoger Weise berechnen. Tafel 12 zeigt das Ergebnis für $n = 5$.

Wendet man die Beziehungen (98) auf die Übertragungsfunktion eines PT_1 -Glieds an mit

$$G(p) = \frac{10}{p + 1} \quad (\text{Abtastperiode } T = 0.2),$$

dann erhält man folgende z-Übertragungsfunktion:

$$G(z) = \frac{10 + 20z^{-1} + 10z^{-2}}{11 + 2z^{-1} - 9z^{-2}}, \quad (101)$$

also eine z-Übertragungsfunktion der Ordnung $n = 2$, obwohl das Originalsystem nur 1. Ordnung war. Eine genauere Betrachtung von (101) zeigt aber, daß Zähler und Nenner eine gemeinsame Nullstelle bei $z^{-1} = -1$ haben. Die entsprechenden Wurzelfaktoren können herausgekürzt werden, und man erhält

$$G(z) = \frac{10 + 10z^{-1}}{11 - 9z^{-1}}. \quad (102)$$

Man kann also mit den Beziehungen, die für größere n gelten, auch die Koeffizienten von Übertragungsfunktionen korrekt berechnen, die geringerer Ordnung sind. Damit ist es nicht notwendig, etwa für jedes n einen Satz von Koeffizienten k_{ij} für die Beziehungen (99), (100) auszurechnen.

Allerdings kann der eben durchgeführte Kürzungsprozeß gemeinsamer Zähler- und Nennernullstellen vom Rechner nicht automatisch vorgenommen werden. Der Rechner würde im später zu beschreibenden Programm KLEMM somit nicht mit der gekürzten Form (102), sondern mit der Originalform (101) rechnen.

Dem Zeitverlauf der Simulationsergebnisse ist das zunächst überhaupt nicht anzusehen. Ist aber der Unterschied zwischen möglicher Systemordnung und in Anspruch genommener sehr groß (das Programm, mit dem man Systeme 5. Ordnung nachbilden könnte, wird benutzt, um ein PT_1 -Glied zu simulieren), dann können sich für größere k numerische Instabilitäten bemerkbar machen. (Das Auftreten solcher Instabilitäten hängt auch von der im Rechner benutzten Arithmetik ab.) Deshalb werden im später beschriebenen Programm KLEMM zwei Klassen von Systemordnungen unterschieden; zur Nachbildung von Systemen 1. und 2. Ordnung werden die Koeffizienten nach (98) verwendet, während für die 3. bis 5. Ordnung die Gln. (99), (100) mit den Koeffizienten nach Tafel 12 Anwendung finden.

4.2. Lösung der Modellgleichung

4.2.1. Rekursive Lösung der Differenzengleichung

Liegt eine z-Übertragungsfunktion der Form (89) und eine Folge von Eingangssignalwerten u_k vor (die Anfangswerte der Ausgangsfolge werden als 0 vorausgesetzt), dann wird zur numerischen Lösung auf die Differenzengleichung (88) zurückgegangen. Diese Gleichung kann nach x_k aufgelöst werden

$$x_k = \frac{1}{h_0} [(g_0 u_k + g_1 u_{k-1} + \dots + g_n u_{k-n} - h_1 x_{k-1} - h_2 x_{k-2} - \dots - h_n x_{k-n})].$$

Mit der Schreibweise der z-Transformation erhält diese Gleichung die folgende symbolische Form:

$$X(z) = \frac{1}{h_0} [(g_0 + g_1 z^{-1} + \dots + g_n z^{-n}) U(z) - (h_1 z^{-1} + h_2 z^{-2} + \dots + h_n z^{-n}) X(z)]. \quad (103)$$

Der Wert der Ausgangsfolge x_k im Tastzeitpunkt k ergibt sich demnach aus dem Wert der Eingangsfolge u_k im gleichen Zeitpunkt, den diesem gegenüber um 1, 2, ..., n Tastpunkte zurückliegenden Werten $u_{k-1}, u_{k-2}, \dots, u_{k-n}$ sowie aus den jeweils zurückliegenden Werten der Ausgangsfolge selber ($x_{k-1} \dots x_{k-n}$).

Diese zurückliegenden Werte der Eingangs- und Ausgangsfolge müssen abgespeichert werden. Beim Übergang auf den folgenden Tastzeitpunkt $k+1$ muß umgespeichert werden.

Der Speicheraufwand läßt sich verringern, wenn man (103) anders ordnet. Schreibt man zunächst

$$X = \frac{1}{h_0} [g_0 U + z^{-1} (g_1 U - h_1 X) + z^{-2} (g_2 U - h_2 X) + \dots + z^{-n} (g_n U - h_n X)],$$

dann kann man diese Gleichung auch folgendermaßen darstellen:

$$X = \frac{1}{h_0} [g_0 U + z^{-1} (g_1 U - h_1 X + z^{-1} (g_2 U - h_2 X + z^{-1} (g_3 U - h_3 X + \dots))) \dots] \quad (104)$$

Diese Gleichung (104) läßt sich durch einen Programmablaufplan nach Bild 25 darstellen, wenn man sich erinnert, daß eine Multiplikation mit z^{-1} jeweils eine Verzögerung um einen Takt bedeutet. Insgesamt treten n zu verzögernde Ausdrücke auf, die in Speicherzellen untergebracht werden müssen. Dafür werden Veränderliche $q_1 \dots q_n$ festgelegt. Insgesamt benötigt man für ein System n -ter Ordnung $n+1$ Speicherplätze. Eine Indizierung der Glieder u_k und x_k ist nicht erforderlich (vgl. Bild 21a und b), wenn in jedem Rechenzyklus der jeweils aktuelle Wert von u_k eingegeben wird (INPUT, READ oder im Programm erzeugt) und der berechnete Wert von x durch PRINT, PSET oder einen ähnlichen Befehl ausgegeben wird.

'1'	Eingabe u
'2'	$\dot{x} = (q_n + g_0 * u) / h_0$
'3'	$q_n = q_{n-1} + g_1 * u - h_1 * x$
'4'	$q_{n-1} = q_{n-2} + g_2 * u - h_2 * x$
'5'	\vdots
'5'	$q_2 = q_1 + g_{n-1} * u - h_{n-1} * x$
'6'	$q_1 = g_n * u - h_n * x$
'7'	Ausgabe x

Bild 25. Programmablaufplan zur Lösung der Differenzengleichung (88)

4.2.2. Rechenprogramm KLEMM

Das Rechenprogramm KLEMM dient der Simulation des Zeitverhaltens (Reaktion auf Sprungfunktionen, Sinusfunktionen und Zufallsfunktionen) von Systemen, bei denen ein Klemmenmodell in Form einer Übertragungsfunktion $G(p)$ gegeben ist. Als Eingaben erhält das Programm die Koeffizienten des Zähler- und Nennerpolynoms von $G(p)$. Unterschieden werden zwei Klassen:

- Ordnung $n < 3$
- Ordnung $n < 6$.

Programm KLEMM

```

10 REM BERECHNUNG ZEITVERHALTEN AUS KLEMMENMODELL
20 INPUT "ORDNUNG N (< 6 !)",N
30 IF N <= 2 THEN LET N = 3: RESTORE 90: GOTO 50
40 LET N = 6
50 CLS: DIM F(N,2),K(N,N),M(N,2),T(N),Q(N-1)
60 FOR I = 1 TO N: FOR J = 1 TO N: READ K(I,J): NEXT J: NEXT I
70 DATA 1,2,4,8,16,32,5,6,4,-8,-48,-160,10,4,-8,-16,32,320
80 DATA 10,-4,-8,16,32,-320,5,-6,4,8,-48,160,1,-2,4,-8,16,-32
90 DATA 1,2,4,2,0,-8,1,-2,4
100 LET ST = 0: LET SF = 0: LET RW = 25: PRINT "ZAEHLERKoeffizienten": PRINT: PRINT
110 FOR I = 0 TO N-1: PRINT "P^";I; INPUT F(I+1,I): NEXT I
120 PRINT: PRINT: PRINT "NENNERKoeffizienten": PRINT: PRINT
130 FOR I = 0 TO N-1: PRINT "P^";I; INPUT F(I+1,2): NEXT I
140 PRINT: PRINT: INPUT "TASTZEIT ";T
150 FOR I = 0 TO N-1: LET T(I+1) = T*I: NEXT I
160 FOR J = 1 TO 2: FOR I = 1 TO N: LET M(I,J) = 0
170 FOR L = 1 TO N: LET M(I,J) = M(I,J) + K(I,L) * F(L,J)/T(L)
180 NEXT L: NEXT I: NEXT J: CLS
190 IF ST GOTO 290
200 PRINT "ZEITVERLAUF EINGANGSGROESSE": PRINT
210 PRINT "SPRUNGFUNKTION: (1)": PRINT
220 PRINT "SINUS: (2)": PRINT
230 PRINT "ZUFALL: (3)": PRINT
240 INPUT "EINGABE → ";BP: PRINT
250 INPUT "EINGANGSAMPLITUDE ",U0: CLS
260 IF BP < > 2 GOTO 290
270 INPUT "OMEGA": OM: CLS
280 IF OM * T > PI/4 THEN PRINT "T = ";T;" ZU GROSS": LET ST = 1: GOTO 140
290 IF SF THEN GOSUB 740
300 FOR I = 1 TO N-1: LET Q(I) = 0: NEXT I
310 LET H = 0: LET XM = 0
320 FOR K = 0 TO RW
330 IF BP = 1 THEN LET U = U0: GOTO 360
340 IF BP = 2 THEN LET U = U0 * SIN(H * OM * T): GOTO 360
350 LET U = 2 * U0 * (RND(1) - .5)
360 LET X = (Q(N-1) + M(1,1) * U)/M(1,2)
370 IF N = 6 GOTO 410
380 LET Q(2) = Q(1) - M(2,2) * X + M(2,1) * U
390 LET Q(1) = -M(3,2) * X + M(3,1) * U
400 GOTO 440

```

```

410 FOR I = 5 TO 2 STEP -1
420 LET Q(I) = Q(I-1) - M(7-I,2) * X + M(7-I,1) * U: NEXT I
430 LET Q(1) = -M(6,2) * X + M(6,1) * U
440 IF ABS(X) > XM THEN LET XM = ABS(X)
450 IF SF =  $\emptyset$  THEN PRINT TAB(10);H * T; TAB(20);X: GOTO 480
460 LET XA = FX * X + 132: IF XA > 240 OR XA < 10 GOTO 610
470 PSET 4 * K + 25, XA
480 LET H = H + 1: NEXT K
490 IF SF =  $\emptyset$  THEN LET FX = 75/XM
500 PRINT: INPUT "WEITERE WERTE (J/N) ?"; E$: LET N$ = "N": CLS
510 IF E$ = "N" GOTO 540
520 IF SF THEN GOSUB 740
530 GOTO 320
540 IF BP = 2 THEN INPUT "NEUES OMEGA (J/N) ?"; N$: CLS
550 IF N$ = "N" GOTO 570
560 GOTO 270
570 IF SF THEN PRINT "ZAHLEN?": Z"
580 IF SF =  $\emptyset$  THEN PRINT "DIAGRAMM": D"
590 PRINT "ANDERE TASTZEIT": T"
600 PRINT "ANDERE EINGANGSGROESSEN": E"
610 IF SF THEN PRINT "ANDERE SKALIERUNG": F"
620 PRINT "NEUEINGABE": N"
630 PRINT "SCHLUSS": S": PRINT
640 INPUT B$: CLS
650 IF B$ = "D" THEN LET SF = 1: LET RW = 72: GOTO 290
660 IF B$ = "Z" THEN LET SF =  $\emptyset$ : LET RW = 25: GOTO 300
670 IF B$ = "E" THEN LET SF =  $\emptyset$ : LET RW = 25: GOTO 210
680 IF B$ = "T" THEN LET ST = 1: GOTO 140
690 IF B$ = "F" THEN PRINT "SKALIERUNG F = "; FX: GOTO 720
700 IF B$ = "N" THEN RUN
710 END
720 INPUT "NEUER WERT"; FX: CLS: GOTO 290
730 REM ZEICHNEN KOORDINATENSYSTEM
740 LINE 25,132,315,132: LINE 25,29,25,234
750 FOR X = 65 TO 395 STEP 40: FOR Y = 133 TO 135: PSET X,Y,7: NEXT Y: NEXT X
760 FOR Y = 32 TO 232 STEP 20: FOR X = 23 TO 26: PSET X,Y: NEXT X: NEXT Y
770 FOR I = 1 TO 7: PRINT AT(16, 5*I + 1); 100*I: NEXT I
780 PRINT AT(2,1); 100/FX: PRINT AT(29,1); -100/FX
790 PRINT AT(16,35); "T": PRINT AT(3,32); "T = "; T: PRINT AT(15,2); "0"
800 RETURN

```

Im ersten Fall sind die Zählerkoeffizienten $b_0 \dots b_2$ einzugeben (Programmnamen F(1,1)...F(3,1)) sowie die Nennerkoeffizienten $a_0 \dots a_2$ (Programmnamen F(1,2)...F(3,2)). Im zweiten Fall sind die einzugebenden $b_0 \dots b_5$ bzw. $a_0 \dots a_5$ in den Feldelementen F(1,J)...F(6,J) untergebracht, wobei wie schon im Programm FREQ J = 1 den Zähler und J = 2 den Nenner der Übertragungsfunktion kennzeichnet. Da die Beziehungen zur Verarbeitung der Zähler- und Nennerkoeffizienten völlig gleich aufgebaut sind – (vgl. Gln. (99) und (102)) –, lässt sich zur Berechnung der Koeffizienten $g_0 \dots g_5$ und $h_0 \dots h_5$ mit den Programmnamen M(1,J)...M(3,J) (M(6,J)) eine einfache Laufanweisung über J einsetzen (Zeilen 150 bis 180). Der Programmablaufplan Bild 25 wird für n = 2 in den Zeilen 360 bis 390 und für n = 5 in den Zeilen 360, 410 bis 430 abgearbeitet.

Der Dialog mit dem Nutzer ist weitgehend an den des Programms ZUST angelehnt (vgl. Abschn. 3.2.3.). Wie bei diesem Programm wird beim ersten Durchlauf eine Zahlentabelle (Zeit/Werte von X) mit jeweils RW = 25 Werten ausgegeben ($SF = \emptyset$), wobei gleich der Skalierungsfaktor FX für den Ordinatenmaßstab in der Diagrammausgabe ermittelt wird (Zeile 490). Die nach Ausdruck der ersten 25 Werte möglichen Dialogeingaben haben dieselbe Bedeutung wie beim Programm ZUST (s. auch Bild 23).

Anwendungsbeispiel

Eine Simulation der Übertragungsfunktionen (79) oder (80) des Beispiels bringt keine anderen Kurvenverläufe hervor, als sie aus dem Zustandsmodell erhalten wurden (s. Bild 24).

Statt dessen wird im Bild 26 die mit dem Programm KLEMM ermittelte Sprungantwort eines Übertragungsglieds mit der Übertragungsfunktion

$$G(p) = \frac{12 - 6p + p^2}{12 + 6p + p^2}$$

gezeigt; das ist die Padé-Approximation 2. Ordnung eines Laufzeitglieds.

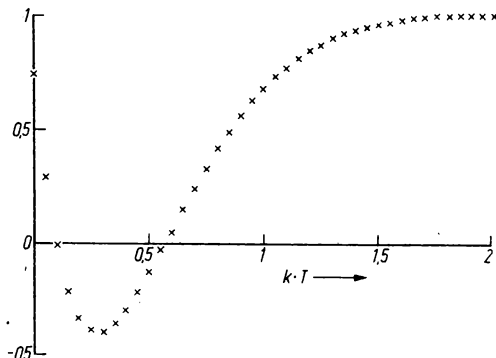


Bild 26. Sprungantwort eines Übertragungsglieds mit
 $G(p) = \frac{12 - 6p + p^2}{12 + 6p + p^2}$

4.3. Eigenwertberechnung

Auch für diskontinuierliche Systeme mit der Systemmatrix P existiert eine Eigenwertgleichung, die völlig der Gl. (72) entspricht:

$$|zE - P| = 0. \quad (105)$$

Genauso gibt es ein charakteristisches Polynom $F(z)$, das sich durch Ausrechnen der Gl. (105) oder aus dem Nenner der z-Übertragungsfunktion $G(z)$ – s. Gl. (90) – ergibt:

$$h_n + h_{n-1}z + \dots + h_0z^n = 0.$$

Die Verhältnisse entsprechen also vollständig den im Abschn. 2.3. behandelten. Die einzigen Unterschiede liegen in den Symbolen (z anstelle p , P anstelle A , h_i anstelle a_i sowie anderslaufende Indizierung der Koeffizienten des charakteristischen Polynoms).

Das im Abschn. 2.3. behandelte Programm EWEPOL läßt sich somit ohne Einschränkungen auch dazu verwenden, das charakteristische Polynom der Matrix \mathbf{P} in einem diskontinuierlichen System zu ermitteln und seine Nullstellen zu suchen. Lediglich bei der Dialogführung muß der Nutzer auf die unterschiedliche Symbolik achten.

Auf diese Weise wurden die folgenden Eigenwerte für das diskontinuierliche System mit den Matrizen nach Tafel 10 erhalten:

Regelstrecke, $n = 3$

Abtastzeit $T = 1$: $z_1 = 0.7472$, $z_2 = 0.8943$, $z_3 = 0.923$

Abtastzeit $T = 2$: $z_1 = 0.5584$, $z_2 = 0.8$, $z_3 = 0.8521$

Regelkreis, $n = 4$

$T = 1$: $z_1 = 0.9$, $z_2 = 0.9129$, $z_{3,4} = 0.8283 \pm j 0.2445$

$T = 2$: $z_1 = 0.8093$, $z_2 = 0.8452$, $z_{3,4} = 0.6262 \pm j 0.405$.

Allerdings sind die Eigenwerte z_i diskontinuierlicher Systeme anders zu interpretieren als die p_i kontinuierlicher Systeme (vgl. Abschn. 2.3.1.).

Es gilt:

- Positiv reelle z_i bedeuten monoton verlaufende Anteile in den Folgen.
- Bedingung für Stabilität ist, daß die Beträge der z_i kleiner sind als 1

$$|z_i| < 1 .$$

Im Beispiel ergeben sich folgende Beträge der komplexen Eigenwerte für $n = 4$:

$$T = 1: |z_{3,4}| = \sqrt{0.8283^2 + 0.2445^2} = 0.8636$$

$$T = 2: |z_{3,4}| = \sqrt{0.6262^2 + 0.405^2} = 0.7458 .$$

Es handelt sich somit um stabile Folgen, wie ja auch schon aus Bild 24 zu erkennen war.

4.4. Regelstrecke mit Verzögerung und Laufzeit

4.4.1. Regelkreismodell

Aus theoretischen Prozeßanalysen lassen sich leicht Zustandsmodelle herleiten (s. Abschn. 1.1.). Kann man das Prozeßverhalten dagegen nur experimentell untersuchen, dann erfordert die Aufnahme von Sprungantworten den geringsten Aufwand, und zur Parametrisierung der dabei erhaltenen Kurven ist die Approximation durch ein dynamisches Verhalten mit Laufzeit T_L und Verzögerung 1. Ordnung T_1 am einfachsten (Bild 27). Insbesondere das Laufzeitverhalten läßt sich bei der digitalen Nachbildung besonders einfach berücksichtigen.

Bild 28 zeigt den nachzubildenden Regelkreis, in dem die Stellstrecke mit der Übertragungsfunktion G_u ein $PT_L T_1$ -Verhalten aufweisen soll. Für die Störstrecke G_z hat die Annahme einer Laufzeit keine Bedeutung; deshalb reicht die Annäherung durch ein PT_1 -Verhalten aus. Für die beiden Übertragungsfunktionen gilt daher

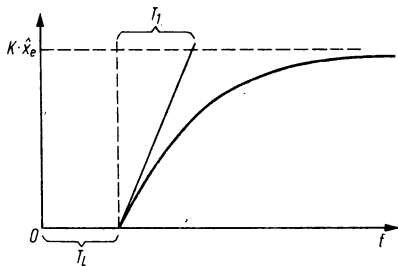


Bild 27. $PT_L T_I$ -Sprungantwort

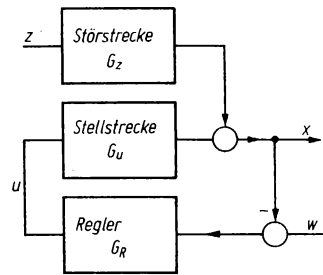


Bild 28. Regelkreis mit Störstrecke und Stellstrecke

$$\text{Stellstrecke: } G_u(p) = \frac{K_u e^{-pT_{lu}}}{1 + pT_{lu}} \quad (106)$$

$$\text{Störstrecke: } G_z(p) = \frac{K_z}{1 + pT_{lz}} \quad (107)$$

$$\text{PI-Regler: } G_R(p) = K_p \left(1 + \frac{1}{pT_n} \right). \quad (108)$$

Das Blockdiagramm Bild 28 soll zur Grundlage eines diskontinuierlichen Klemmenmodells gemacht werden, mit dem die interessierenden Größen: Regelgröße x und Steuergroße (Stellgröße) u unter Einwirkung von veränderlichen Störgrößen z bzw. Führungsgrößen w berechnet werden sollen.

Durch Auswertung des Blockdiagramms erhält man sofort

– für das *Störverhalten* ($W = 0$)

$$X = \frac{G_z}{1 + G_u G_R} Z \quad (109)$$

$$U = -G_R X$$

– für das *Führungsverhalten* ($Z = 0$)

$$X = \frac{G_R G_u}{1 + G_u G_R} W \quad (110)$$

$$U = G_R (W - X).$$

Wenn die Regler im Abtastbetrieb arbeiten, was angenommen werden darf, dann gelten (109) und (110) sowohl für kontinuierliche Systeme, in denen G_u , G_z , G_R Übertragungsfunktionen als Funktionen von p darstellen (106) bis (108), als auch für diskontinuierliche Systeme, bei denen die z -Übertragungsfunktionen einzusetzen sind.

Mit T als der Abtastdauer erhält man für die z -Übertragungsfunktion eines Verzögerungsglieds 1. Ordnung, z. B. G_z nach Gl. (107) die Beziehung [8]

$$G_z(z) = \frac{K_z (1 - a_z) z^{-1}}{1 - a_z z^{-1}}. \quad (111)$$

Für den Laufzeitanteil mit der Laufzeit T_L tritt einfach eine Verzögerung um d Takte auf, wobei d angibt, wie oft die Abtastdauer T in der Laufzeit T_L enthalten ist:

$$d = \text{INT}(T_L/T).$$

Die Verzögerung um d Takte wird durch z^{-d} dargestellt; dadurch erhält die z -Übertragungsfunktion zu (106) die Form

$$G_u(z) = \frac{K_u(1 - a_u)z^{-(1+d)}}{1 - a_u z^{-1}}. \quad (112)$$

Dabei errechnen sich die Konstanten a_z und a_u gemäß

$$a_z = e^{-T/T_{Lz}}, \quad a_u = e^{-T/T_{Lu}}.$$

Für den PI-Regler wird p nach (96) in die Übertragungsfunktion (108) eingesetzt; dies entspricht einer Integration nach der Trapezregel. Man erhält

$$G_R(z) = K_p \frac{\bar{b} - bz^{-1}}{1 - z^{-1}}. \quad (113)$$

Dabei werden die Koeffizienten b und \bar{b} wie folgt berechnet:

$$b = 1 - \frac{T}{2T_n}, \quad \bar{b} = 1 + \frac{T}{2T_n}.$$

Für $T_n \rightarrow \infty$ erhält man $b = \bar{b}$, und Gl. (113) entspricht einem reinen P-Regler.

Wenn man die Übertragungsfunktionen (111) bis (113) in (109) und (110) einsetzt, dann bekommt man für das Gesamtübertragungsverhalten:

Störverhalten

$$X = \frac{K_z(1 - a_z)[z^{-1} - (1 + a_u)z^{-2} + a_u z^{-3}]}{N_1(z)} Z \quad (114)$$

Dabei hat der Nenner $N_1(z)$ folgende Gestalt:

$$\begin{aligned} N_1(z) = & 1 - (1 + a_u + a_z)z^{-1} + (a_u + a_z + a_u a_z)z^{-2} - a_u a_z z^{-3} \\ & + K_p K_u (1 - a_u) b z^{-(d+1)} - K_p K_u (1 - a_u) (b + a_z \bar{b}) z^{-(d+2)} \\ & + K_p K_u a_z b (1 - a_u) z^{-(d+3)}. \end{aligned}$$

Führungsverhalten

$$X = \frac{K_p K_u (1 - a_u) [\bar{b} z^{-(d+1)} - b z^{-(d+2)}]}{N_2(z)} W \quad (115)$$

Der Nenner $N_2(z)$ ist hier etwas einfacher:

$$\begin{aligned} N_2(z) = & 1 - (1 + a_u)z^{-1} + a_u z^{-2} + K_p K_u (1 - a_u) \bar{b} z^{-(d+1)} \\ & - K_p K_u (1 - a_u) b z^{-(d+2)}. \end{aligned}$$

Die Gln. (114) und (115) sind die gesuchten Klemmenmodelle, die die Zusammenhänge zwischen der Ausgangsgröße X (Regelgröße) und den jeweiligen Eingangs-

größen (Z bzw. W) herbeiführen. Diese Gleichungen können nach dem im Abschn. 4.2.1. beschriebenen Verfahren direkt in Rechenprogramme umgesetzt werden. Da die beiden Nenner $N_1(z)$ und $N_2(z)$ unterschiedliche Ordnungen aufweisen (N_1 : $d+3$, N_2 : $d+2$), sind auch zwei unterschiedliche Programme angebracht.

4.4.2. Eingangssignale

Als Eingangssignale für Störgröße z und Führungsgröße w sollen, wie schon bei den Programmen ZUST (s. Abschn. 3.2.) und KLEMM (s. Abschn. 4.2.) verwendet, vorgesehen werden: Sprungfunktionen, Sinusfunktionen und Zufallsfunktionen.

Für Sprungfunktionen ergeben sich keine Besonderheiten.

Für Sinusfunktionen gibt es, wie schon bei den beiden anderen Programmen, Zusammenhänge zwischen der Kreisfrequenz ω und der höchstzulässigen Abtastdauer T , die im vorliegenden Programm TLKRS mit $\omega T \leq 1/3$ vorgegeben wurden. Die Forderungen sind also strenger als bei den beiden anderen Programmen, bei denen $\omega T \leq \pi/4$ verlangt wird. Folge dieser strengerer Forderung ist u. a., daß eine Periode der Sinusschwingung durch mehr Punkte auf dem Bildschirm dargestellt wird, wodurch sich gut auswertbare Bilder ergeben.

Für Zufallssignale als Eingangsgrößen muß beachtet werden, daß auch das Führungsverhalten der Regelkreise untersucht werden soll. Weiße Rauschsignale, wie sie durch Aufruf der Funktion RND nach Gl. (87) erhalten werden, sind aber als Führungsgrößen für Regelkreise sehr wenig sinnvoll; denn von keinem trägeheitsbehafteten System kann erwartet werden, daß es in seiner Bewegung einem solchen Signal folgt. (Für das Störsignal existiert eine solche Einschränkung nicht; außerdem übt das Trägheitsverhalten der Störstrecke G_z eine gewisse Filterung auf das Störrauschen aus.)

Das Führungssignal muß aber durch ein gesondertes Filter aus dem weißen Rauschen erzeugt werden. Ein solches Signalfilter mit veränderbaren Parametern zu programmieren wäre im Prinzip leicht möglich. Im Programm TLKRS wurde aber darauf verzichtet, die Filterparameter veränderbar zu gestalten. Anstatt dessen wurde ein festes Rauschfilter vorgesehen, das durch die z -Übertragungsfunktion

$$G_f(z) = \frac{(1 - k)z^{-2}}{(1 - kz^{-1})^2}$$

beschrieben wird. Das entspricht einem Verzögerungsglied 2. Ordnung. Für k wurde der feste Wert $e^{-0.3}$ gewählt. Dadurch erhalten die beiden gleichen Zeitkonstanten des Verzögerungsgliedes die Werte $T_1 = T_2 = 3.3 T$.

4.4.3. Rechenprogramm TLKRS

Das Rechenprogramm TLKRS verlangt die Eingabe der Parameter von Störstrecke (KZ , TZ), Stellstrecke (KU , TL , TU) und Regler (KP , TN) in den Zeilen 30 bis 50. (Die Namen der Programmvariablen sind denen der Veränderlichen in den Abschnitten 4.4.1. und 4.4.2. angeglichen.)

Die Abtastdauer T wird zunächst zu $TL/4$ festgelegt (Zeile 60); dieser Wert kann in Zeile 150, 160 ggf. noch verändert werden. Dabei ist zu beachten, daß sich die Ord-

nung des Gesamtsystems für Störung zu $n = d + 3$ und für Führung zu $n = d + 2$ ergibt (Zeilen 18 \emptyset , 19 \emptyset). Im Programm ist als höchste Ordnung $n = 15$ vorgesehen (Zeile 2 \emptyset); das entspricht $T/TL \geq 1/12$. Normalerweise ist der vorgegebene Wert $T/TL = 1/4$ ausreichend. Lediglich, wenn die Reaktion des Regelkreises auf Sinus-signale höherer Frequenz untersucht werden soll, ist wegen der im Abschn. 4.4.2. beschriebenen Bedingung $\omega T \leq 1/3$ ggf. eine Verminderung von T und damit Erhöhung der Ordnung erforderlich (Zeile 14 \emptyset).

Programm TLKRS

```

1 $\emptyset$  REM REGELKREIS MIT LAUFZEIT
2 $\emptyset$  DIM Q(15)
3 $\emptyset$  INPUT "KZ ";KZ: INPUT "T1Z ";TZ: INPUT "KU ";KU: INPUT "TL ";TL
4 $\emptyset$  INPUT "TIU ";TU: LET SF =  $\emptyset$ : LET RW = 25
5 $\emptyset$  INPUT "KP ";KP: INPUT "TN ";TN
6 $\emptyset$  LET T = TL/4
7 $\emptyset$  INPUT "MODUS Z/W ";MS
8 $\emptyset$  PRINT "SIGNALFORM SPRUNG: 1"
9 $\emptyset$  PRINT "SINUS: 2"
10 $\emptyset$  PRINT "ZUFALL: 3"
11 $\emptyset$  INPUT ST: CLS
12 $\emptyset$  IF ST < > 2 GOTO 15 $\emptyset$ 
13 $\emptyset$  INPUT "OMEGA ";OM
14 $\emptyset$  IF T > 1/(3 * OM) THEN LET T = 1/(3 * OM)
15 $\emptyset$  PRINT "BESTAETIGEN (B) ODER NEUER WERT FUER T = ";T: INPUT TS
16 $\emptyset$  IF TS < > "B" THEN LET T = VAL(T$)
17 $\emptyset$  CLS: LET D = INT(TL/T) IF SF THEN GOSUB 97 $\emptyset$ 
18 $\emptyset$  IF MS = "Z" THEN LET N = D + 3: GOTO 20 $\emptyset$ 
19 $\emptyset$  IF MS = "W" THEN LET N = D + 2
20 $\emptyset$  LET AU = EXP(-T/TU): LET AZ = EXP(-T/TZ)
21 $\emptyset$  LET B1 = KZ * (1 - AZ): LET A1 = -(AU + AZ): LET A2 = AU * AZ
22 $\emptyset$  LET KK = EXP(-.3): LET B4 = KP * KU * (1 - AU)
23 $\emptyset$  LET B = 1 - T/(2 * TN): LET BQ = 1 + T/(2 * TN)
24 $\emptyset$  LET ZW =  $\emptyset$ : LET XE = 1
25 $\emptyset$  IF MS = "W" GOTO 51 $\emptyset$ 
26 $\emptyset$  REM STOERUNG
27 $\emptyset$  FOR I = 1 TO N: LET Q(I) =  $\emptyset$ : NEXT I
28 $\emptyset$  LET Q1 =  $\emptyset$ : LET H =  $\emptyset$ : LET XM =  $\emptyset$ : LET UM =  $\emptyset$ 
29 $\emptyset$  IF ST = 3 THEN LET XE =  $\emptyset$ : LET ZW =  $\emptyset$ 
30 $\emptyset$  FOR K =  $\emptyset$  TO RW
31 $\emptyset$  IF ST = 3 THEN LET XE = KK * XE + ZW: LET ZW = KK * ZW + (1 - KK)
* (RND(1) - .5)
32 $\emptyset$  IF ST = 2 THEN LET XE = SIN(H * OM * T)
33 $\emptyset$  IF SF THEN PSET 14 $\emptyset$  + 2 * K, 66 + 25 * XE
34 $\emptyset$  LET X = Q(1): IF ABS(X) > XM THEN LET XM = ABS(X)
35 $\emptyset$  LET Q(1) = Q(2) + B1 * XE - (A1 - 1) * X
36 $\emptyset$  LET Q(2) = Q(3) - (1 + AU) * B1 * XE - (A2 - A1) * X
37 $\emptyset$  LET Q(3) = Q(4) + AU * B1 * XE + A2 * X
38 $\emptyset$  FOR G = 4 TO N - 3: LET Q(G) = Q(G + 1): NEXT G
39 $\emptyset$  LET Q(N - 2) = Q(N - 1) - B4 * X * BQ
40 $\emptyset$  LET Q(N - 1) = Q(N) + (B + AZ * BQ) * X * B4: LET Q(N) = -AZ * B * B4 * X
41 $\emptyset$  LET U = Q1 - KP * X * BQ: IF ABS(U) > UM THEN LET UM = ABS(U)

```

```

420 LET Q1 = KP * B * X + U
430 IF SF =  $\emptyset$  THEN PRINT H * T;TAB(13);U;TAB(26);X: GOTO 470
440 LET UA = 46 + FU * U: LET XA = 106 + FX * X
450 IF UA > 90 OR UA < = 4 OR XA > 200 OR XA < = 8 THEN GOTO 810
460 PSET 8 + 2 * K,XA: PSET 140 + 2 * K,UA
470 LET H = H + 1: NEXT K
480 IF SF =  $\emptyset$  THEN LET FX = 60/XM: LET FU = 30/UM
490 GOTO 710
500 REM FUEHRUNG
510 FOR I = 1 TO N: LET Q(I) =  $\emptyset$ : NEXT I
520 LET XM =  $\emptyset$ : LET UM =  $\emptyset$ : LET Q1 =  $\emptyset$ : LET H =  $\emptyset$ 
540 FOR K =  $\emptyset$  TO RW
550 IF ST = 3 THEN LET XE = KK * XE + ZW: LET ZW = KK * ZW + (1 - KK)
   * (RND(1) - .5)
560 IF ST = 2 THEN LET XE = SIN(H * OM * T)
570 IF SF THEN PSET 140 + 2 * K, 166 + 25 * XE
580 LET X = Q(1): IF ABS(X) > XM THEN LET XM = ABS(X)
590 LET Q(1) = Q(2) + (1 + AU) * X: LET Q(2) = Q(3) - AU * X
600 FOR G = 3 TO N - 2: LET Q(G) = Q(G + 1): NEXT G
610 LET Q(N - 1) = Q(N) + B4 * BQ * (XE - X)
620 LET Q(N) = B * B4 * (X - XE)
630 LET U = Q1 - KP * BQ * (X - XE): IF ABS(U) > UM THEN LET UM = ABS(U)
640 LET Q1 = KP * B * (X - XE) + U
650 IF SF =  $\emptyset$  THEN PRINT H * T;TAB(13);U;TAB(26);X: GOTO 690
660 LET UA = 46 + FU * U: LET XA = 106 + FX * X
670 IF UA > 90 OR UA < = 4 OR XA > 200 OR XA < = 8 THEN GOTO 810
680 PSET 140 + 2 * K,UA: PSET 8 + 2 * K,XA
690 LET H = H + 1: NEXT K
700 IF SF =  $\emptyset$  THEN LET FX = 60/XM: LET FU = 30/UM
710 INPUT "WEITERE WERTE J/N ?";WS: CLS
720 IF WS = "N" GOTO 760
730 IF SF THEN GOSUB 970
740 IF MS = "Z" GOTO 300
750 GOTO 540
760 IF ST = 2 THEN PRINT "NEUES OMEGA:          O"
770 IF SF =  $\emptyset$  THEN PRINT "DIAGRAMM:           D"
780 IF SF THEN PRINT "ZAHLEN:             Z"
790 PRINT "NEUE REGLERPARAMETER:  P"
800 PRINT "ANDERER MODUS:         M"
810 IF SF THEN PRINT "ANDERE SKALIERUNG: F"
820 PRINT "NEUEINGABE:            N"
830 PRINT "ENDE:                  E"
840 INPUT ES: CLS
850 IF ES = "M" THEN LET SF =  $\emptyset$ : LET RW = 25: GOTO 70
860 IF ES = "N" THEN RUN
870 IF ES = "D" THEN LET SF = 1: LET RW = 60: GOSUB 970: GOTO 940
880 IF ES = "Z" THEN LET SF =  $\emptyset$ : LET RW = 25: GOTO 940
890 IF ES = "F" THEN PRINT "FX = ";FX;"FU = ";FU: INPUT FX,FU: CLS: GOSUB
   970: GOTO 940
900 IF ES = "O" THEN PRINT "OMEGA = ";OM: GOTO 130
910 IF ES = "P" THEN PRINT "KP = ";KP: PRINT "TN = ";TN: GOTO 930
920 END
930 INPUT "KP ";KP: INPUT "TN ";TN: LET SF =  $\emptyset$ : LET RW = 25: CLS: GOTO 220

```

```

940 IF M$ = "Z" GOTO 270
950 GOTO 510
960 REM KOORDINATENSYSTEME
970 LINE 8,100,128,106: LINE 140,46,260,46: LINE 140,166,260,166
980 LINE 8,40,8,172: LINE 140,10,140,82: LINE 140,130,140,202
990 PRINT AT(8,2); "X": PRINT AT(5,18);M$: PRINT AT(20,18);"U"
1000 PRINT AT(18,23); "T = "; T: RETURN

```

Bei der Umsetzung der Übertragungsfunktionen (114) für Störverhalten und (115) für Führungsverhalten in das Rechenprogramm (Grundlage ist der PAP Bild 25; s. Abschn. 4.2.1.) müssen die Koeffizienten des Zählerpolynoms g_i und Nennerpolynoms h_i dieser Übertragungsfunktionen gebildet werden. Die Bildungsvorschriften sind aus (114) und (115) abzulesen. Im Programm wurde lediglich versucht, einige in Zählern und Nennern beider Übertragungsfunktionen öfter auftretenden Koeffizientenkombinationen zu neuen Konstanten zusammenzufassen. So wurde gesetzt

$$\begin{aligned} b_1 &\text{ für } K_z(1 - a_z) \\ b_4 &\text{ für } K_p K_u (1 - a_u) \\ a_1 &\text{ für } -(a_u + a_z) \\ a_2 &\text{ für } a_u a_z \end{aligned}$$

(Zeilen 220, 230). KK ist der Programmname für die Rauschfilterkonstante k; BQ steht für b.

Mit diesen zusammengefaßten Koeffizienten können die Gleichungen nach PAP Bild 25 relativ kurz und übersichtlich formuliert werden. In den Zeilen 340 bis 400 wird der Verlauf von x für den Störungsfall, in 580 bis 620 für den Führungsfall berechnet. Im Gegensatz zum PAP Bild 25 und den darauf beruhenden Zeilen 360 bis 430 im Programm KLEMM wurden die Speichergrößen q_i im Programm TLKRS in umgekehrter Reihenfolge indiziert; also entspricht q_n im PAP der Programmgröße Q(1) und umgekehrt.

In den Zeilen 310 bzw. 550 ist jeweils der Algorithmus zur Rauschfilterung, also die Nachbildung der Filterfunktion G_f , programmiert. Dazu wird die Zwischengröße ZW benötigt.

Da das Programm auch die Verläufe der Steuergrößen u ausrechnen soll, werden diese aus den berechneten Verläufen von x mit der Übertragungsfunktion $G_R(z)$ des Reglers berechnet. Bild 29 zeigt den einfachen PAP zur Nachbildung von (113), der sich in den Programmzeilen 410, 420 bzw. 630, 640 wiederfindet.

Die Gestaltung des Gesamtprogrammablaufs und die Dialogführung folgt den bereits in den Programmen ZUST und KLEMM benutzten Prinzipien. Zunächst werden 25 Zahlenwerte berechnet und als Tabelle mit den Spalten Zeit, Wert der Steuergroße, Wert der Regelgröße ausgegeben (Zeilen 430 bzw. 650).

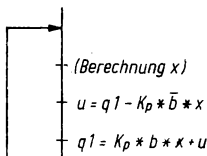


Bild 29. Programmablaufplan zur Berechnung der Ausgangsgröße Steuergroße u aus der Eingangsgröße Regelgröße x des PI-Reglers

Dabei werden gleich die Skalierungsfaktoren FX und FU für eine spätere Diagrammausgabe errechnet (Zeile 480 bzw. 700). Nach eventueller Fortführung der Tabellenausgabe mit weiteren 25 Werten (Zeilen 710 bis 750) können Diagramme ausgegeben oder eine der anderen, auch aus Bild 23 erkennbaren Dialogvarianten gewählt werden (Zeilen 760 bis 920). Eine weitere Möglichkeit besteht darin, bei konstanten Regelstreckenparametern die Einstellwerte des Reglers zu verändern. Hierzu dient die Dialogeingabe "P" in Zeile 790. Die alten Reglereinstellwerte werden angezeigt, und die neuen können eingegeben werden (Zeilen 910, 930).

Wird Diagrammausgabe gewählt ($SF = 1$), dann wird in der linken Bildschirmhälfte der Werteverlauf der Regelgröße x dargestellt. In der rechten Hälfte des Bildschirms werden in kleinerem Maßstab die Verläufe von Störgröße z bzw. Führungsgröße w und darunter der Steuergröße u (Stellgröße) gezeigt. Dazu dienen die Anweisungen in den Zeilen 330, 440 bis 460 für Störung und 570, 660 bis 680 für Führung. Droht eine der Kurven x oder u die Bildschirmgrenzen zu überschreiten, dann wird automatisch zu Zeile 810 gesprungen, und der Nutzer kann die Werte der Abbildungsmaßstäbe FX oder FU ändern, deren Werte ihm dazu mit Zeile 890 angezeigt werden.

Bild 30 zeigt zwei Regelvorgänge, die mit dem Programm TLKRS berechnet wurden sind. Die Parameter der Regelstrecke waren

$$K_z = 50, T_{1z} = 12, K_u = 1, T_L = 4, T_{1u} = 15.$$

Für die Tastperiode T wurde der vom Rechner vorgeschlagene Wert $T = 1$ verwendet.

Die Reglereinstellung waren

Kurve 1 (Kreise): $K_p = 2.62, T_n = 12.1$

Kurve 2 (Kreuze): $K_p = 3.9, T_n = 15.52$.

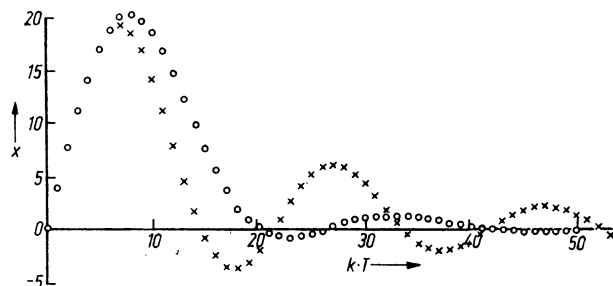


Bild 30. Regelvorgänge für T_L - T_I -Strecke

ooo Reglereinstellung nach ITAE-Kriterium; xxx Reglereinstellung nach quadratischer Regelfläche

Diese Einstellwerte entsprechen optimalen Regelvorgängen, die für verschiedene Gütekriterien ermittelt wurden (Kurve 1: ITAE-Kriterium, Kurve 2: quadratische Regelfläche).

5. Parameteroptimierung

5.1. Optimierungsaufgaben

Optimierungsaufgaben kommen in der Technik sehr oft vor. Als automatisierungs-technisches Beispiel soll die Ermittlung optimaler, d. h. günstigster Einstellwerte der Reglerparameter (K_p , T_n , T_v) in einem Regelkreis behandelt werden. Dazu muß gesagt werden, was unter „günstig“ verstanden werden soll. Es muß also ein Gütekriterium formuliert werden, dessen Wert berechnet oder gemessen werden kann. Günstige Reglerparameter sind dann solche, die den Wert dieses Gütekriteriums möglichst groß oder möglichst klein werden lassen.

Gütekriterien zur Beurteilung von Regelvorgängen sind seit langem bekannt. Wenn man von der Antwort $x(t)$ des geschlossenen Regelkreises auf eine sprungförmige Veränderung der Störgröße oder auch Führungsgröße ausgeht, dann wird mit dem Gütekriterium der Zeitverlauf dieser Sprungantwort bewertet.

Gebräuchlich sind u. a. folgende Gütemaße:

Quadratische Regelfläche

$$F = \int_0^{t_e} x_w^2(t) dt \quad \text{bzw.} \quad F = \sum_{k=0}^m x_{wk}^2 \quad (116)$$

ITAE-Kriterium

$$F = \int_0^{t_e} |x_w| t dt \quad \text{bzw.} \quad F = \sum_{k=0}^m k |x_{wk}| \quad (117)$$

Die Endzeit t_e bzw. m , die Anzahl der zu erfassenden zeitdiskreten Werte, ist so zu wählen, daß die Regelvorgänge praktisch abgeklungen sind.

Da der Zeitverlauf $x_w(t)$ bzw. die Werte der Folge x_{wk} von der Reglereinstellung abhängen, sind auch die Werte der Gütemaße (116) bzw. (117) von den Einstellparametern abhängig.

Die Suche nach optimalen Reglereinstellwerten ist nur ein Beispiel für Optimierungsaufgaben. Deshalb soll anstatt von Reglerparametern allgemein von „Entscheidungsvariablen“ gesprochen werden [13]. Die Entscheidungsvariablen sind mithin so zu wählen, daß die Werte der Gütemaße möglichst klein werden:

K_p, T_n, T_v so, daß $F \rightarrow \min !$

Zur Lösung solcher Probleme gibt es viele Verfahren [13].

Ist der Zusammenhang zwischen den Entscheidungsvariablen und dem Gütemaß kompliziert, vielleicht nur numerisch berechenbar, werden Suchverfahren verwendet, bei denen der Rechner die Werte der Entscheidungsvariablen so lange verändert, bis das gewünschte Minimum (hoffentlich) gefunden worden ist.

Auch bei den Suchverfahren gibt es sehr viele Varianten [14]. Das hier vorgestellte Verfahren nach Rosenbrock ist schon sehr lange bekannt. Es ist leistungsfähig und verlangt nur einen geringen Programmieraufwand.

5.2. Suchverfahren nach Rosenbrock

5.2.1. Grundgedanke des Verfahrens

Die Entscheidungsvariablen werden mit $x_i; i = 1 \dots n$ bezeichnet; der kürzeren Darstellung halber auch zu einem Spaltenvektor \mathbf{x} zusammengefaßt.

Das Verfahren beginnt mit einem vom Nutzer vorzugebenden Startwert \mathbf{x}_0 , mit dem der Wert F_0 des Gütekriteriums berechnet wird. Dann wird das Verfahren in großen Zyklen durchgeführt. Der Startzyklus läuft wie folgt ab:

Die erste Entscheidungsvariable x_1 wird um die Schrittweite h_1 vergrößert und damit der Wert F_1 des Gütekriteriums berechnet. Ist $F_1 \leq F_0$, dann war der Schritt erfolgreich. Der Wert x_1 wird beibehalten, die Schrittweite h_1 für spätere Verwendung verdreifacht. War der Schritt nicht erfolgreich, wird er zurückgenommen, der Wert h_1 für spätere Verwendung mit -0.5 multipliziert. Dann erfolgt der zweite Schritt mit der Entscheidungsvariablen x_2 , der Schrittweite h_2 , danach der dritte usw. bis zur Veränderung von x_n um h_n . Sodann wird wieder mit x_1 und der veränderten Schrittweite h_1 begonnen.

Der Startzyklus wird beendet, sobald jede der Entscheidungsvariablen einmal erfolgreich und danach erfolglos verändert worden ist. Dann wird zum zweiten Zyklus übergegangen.

Während beim Startzyklus im Schritt i nur die einzelne Entscheidungsvariable x_i um die Schrittweite h_i verändert wird, die anderen dagegen unverändert bleiben, werden in den Schritten i der folgenden Zyklen mit der Schrittweite h_i gleichzeitig alle Entscheidungsvariablen verändert, und zwar

$$\begin{pmatrix} x_1 \\ x_2 \\ \vdots \\ x_n \end{pmatrix} \text{ um } h_i * \begin{pmatrix} v_{1,i} \\ v_{2,i} \\ \vdots \\ v_{n,i} \end{pmatrix}. \quad (118)$$

In Vektorform lässt sich dafür kurz schreiben

$$\mathbf{x} := \mathbf{x} + h_i \mathbf{v}_i.$$

Dabei ist \mathbf{v}_i der aus (118) ablesbare Spaltenvektor, der zukünftig „Richtungsvektor“ genannt wird.

Auch für den Startzyklus lässt sich die Schreibweise (118) verwenden, wobei die Komponenten des Richtungsvektors $v_{j,i}$ für $j = i$ den Wert 1, für alle anderen j den Wert 0 haben.

Schritt 1 im zweiten Zyklus beginnt demnach mit dem Richtungsvektor \mathbf{v}_1 und der Schrittweite h_1 , Berechnung von F , Vergleich mit dem vorherigen Wert, Feststellung, ob der Schritt erfolgreich war oder nicht, und entsprechender Veränderung von h_1 (* 3 oder * -0.5). Dann folgt Schritt 2 mit \mathbf{v}_2, h_2 usw. Wurde auch in diesem Zyklus jeder Schritt i einmal erfolgreich und danach erfolglos ausgeführt, dann wird ein neuer Satz von Richtungsvektoren \mathbf{v}_i berechnet, und der Zyklus beginnt von neuem. Die neuen Richtungsvektoren werden aus den Ergebnissen der im jeweiligen Zyklus erfolgreich absolvierten Schritte berechnet. Die theoretischen Hintergründe sollten der Literatur [13; 14] entnommen werden.

5.2.2. Programmablaufplan

Bild 31 zeigt den Programmablaufplan für das Rosenbrock-Verfahren. Die einzelnen Größen, soweit sie noch nicht beschrieben wurden, haben folgende Bedeutung: Zeile '1': Die Schrittweiten $h_1 \dots h_n$ werden zu einem Spaltenvektor h zusammengefügt; die Spaltenvektoren $v_1 \dots v_n$ zu einer Richtungsmatrix V . Zu Beginn des Startzyklus wird V gleich der Einheitsmatrix E gesetzt.

Zeile '3': Der Summiervektor s mit den Komponenten $s_i; i = 1 \dots n$ summiert die Werte h_i der erfolgreichen Schritte (Zeile '13'). Er wird zur Neuberechnung der Richtungsvektoren gebraucht. Der Zählvektor a , ebenfalls mit n Komponenten, dient dazu, festzustellen, ob für jedes i nach einem erfolgreichen ein erfolgloser Schritt vorgenommen wurde. Dazu werden die Komponenten a_i entsprechend dem Ausgang jeden Schrittes verändert (Zeilen '12' und '16'). Daß und wie damit die beabsichtigte Entscheidung erreicht wird, erkennt man am besten, wenn man einige Durchläufe durch den PAP in Gedanken durchspielt.

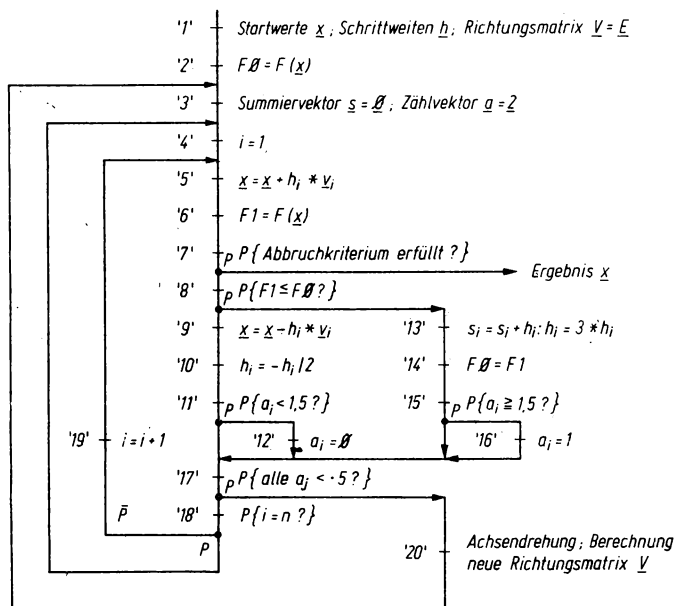


Bild 31. Programmablaufplan für Minimumssuche nach Rosenbrock

Die übrigen Zeilen im PAP verwirklichen den Algorithmus, wie er im Abschn. 5.2.1. beschrieben wurde. Der Startzyklus mit $V = E$ wird mit Rücksprüngen auf Zeile '4' so lange durchlaufen, bis in Zeile '17' festgestellt wird, daß für alle i nach einem erfolgreichen ein erfolgloser Schritt durchgeführt wurde. Dann wird in Zeile '20' ein neuer Satz von Richtungsvektoren berechnet, mit dem von vorne begonnen wird.

Im Verlauf der Rechnung muß immer wieder überprüft werden, ob das gewünschte

Minimum des Gütekriteriums F gefunden wurde und die Suche abgebrochen werden kann (Zeile '7'). Dazu gibt es verschiedene Möglichkeiten:

- Abbruch, wenn der Unterschied zwischen zwei aufeinanderfolgenden Werten des Gütekriteriums genügend klein ist:

$$|F_1 - F_0| < \text{eps} \quad (119)$$

- Abbruch, wenn sich die Werte der Entscheidungsvariablen nur noch unwesentlich ändern. Wird mit d_i der Unterschied zwischen zwei aufeinanderfolgenden Werten von x_i bezeichnet, dann wird abgebrochen, wenn für alle i gilt

$$|d_i| < \text{eps} . \quad (120)$$

5.2.3. Berechnung der Richtungsvektoren

Die neuen Richtungsvektoren v_i , $i = 1 \dots n$ werden nach Beendigung jeden Zyklus aus den bisherigen v_i und den Summiergrößen s_i gebildet. Zunächst berechnet man die Vektoren w_j nach der Vorschrift

$$\begin{aligned} w_1 &= s_1 v_1 + s_2 v_2 + \dots + s_n v_n \\ w_2 &= s_2 v_2 + \dots + s_n v_n \\ &\vdots \\ w_n &= s_n v_n . \end{aligned} \quad (121)$$

Der neue Richtungsvektor v_1 ergibt sich daraus sofort zu

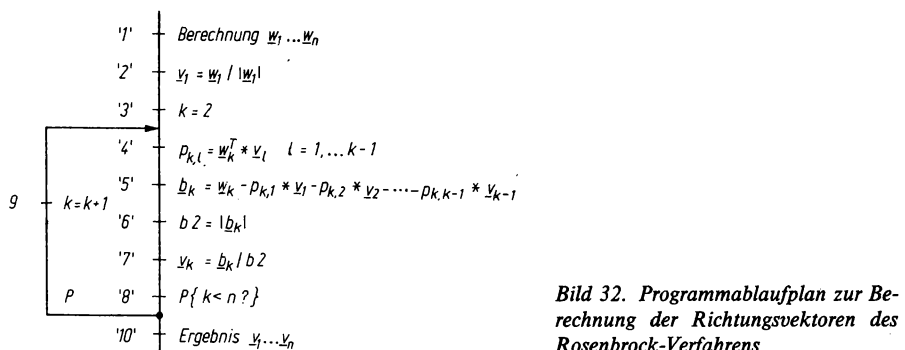
$$v_1 = \frac{w_1}{|w_1|} .$$

Der Betrag $|w_1|$ wird folgendermaßen berechnet:

$$|w_1| = \sqrt{w_{11}^2 + w_{21}^2 + \dots + w_{n1}^2} . \quad (122)$$

Zur Berechnung der übrigen Vektoren $v_2 \dots v_n$ wird nach dem Programmablaufplan Bild 32 verfahren. Zunächst werden in Zeile '4' die Skalarprodukte $p_{k,l}$ nach folgendem Schema gebildet:

$$p_{k,l} = w_{1,k} v_{1,l} + w_{2,k} v_{2,l} + \dots + w_{n,k} v_{n,l} .$$



Beim ersten Durchlauf ($k = 2$) ist nur ein einziger Koeffizient $p_{2,1}$ zu berechnen, beim zweiten ($k = 3$) die Koeffizienten $p_{3,1}$ und $p_{3,2}$ usw.

Entsprechend erhöht sich auch die Anzahl der Summanden in Zeile '5' bei jedem Durchlauf, und in Zeile '4' und '5' werden immer die neuen Vektoren v_i verwendet, die in den vergangenen Durchläufen errechnet worden sind.

Der Betrag $|b_2|$ in Zeile '6' errechnet sich in Analogie zu (122) aus den Komponenten des Vektors b_k .

5.2.4. Rechenprogramm ROSE

Das Optimierungsprogramm ROSE ist anhand der Programmablaufpläne der Bilder 31 und 32 leicht zu durchschauen. Die vom Nutzer nach Eingabe der Ordnung (Anzahl der Entscheidungsvariablen) verlangten Startwerte (Zeilen 50, 60) sollten möglichst in der Nähe der vermuteten Optimalwerte liegen. Die Schrittweiten $H(I)$ können etwa mit $0.01 \dots 0.1 * X(I)$ gewählt werden (Zeilen 80 bis 100).

Als Abbruchkriterium wurde von der Bedingung (120) ausgegangen; allerdings wird der Wert der d_i noch durch $(1 + |x_i|)$ dividiert (Zeile 160). Der Selektor SR erhält dann den Wert 1 und leitet zum Abbruch der Rechnung und Ergebnisausdruck in Zeile 540 über, wenn die Bedingung Zeile 160 für jede Entscheidungsvariable erfüllt ist.

Programm ROSE

```
10 REM MINIMUMSUCHE ROSEN BROCK
20 REM FUNKTION STEHT ALB UP AB ZEILE 1000
30 INPUT "DIMENSION N ";N: DEFFN Q(X) = X * X
40 DIM A(N),B(N),E(N),H(N),P(N,N),S(N),W(N,N),V(N,N),X(N)
50 PRINT "STARTWERTE X(1)...X(";N;")": PRINT
60 FOR P = 1 TO N: INPUT X(P): NEXT P
70 GOSUB 1000: LET F0 = F: PRINT
80 PRINT "SCHRITTWEITEN H(1)...H(";N;")": PRINT
90 FOR I = 1 TO N: FOR J = 1 TO N: LET V(I,J) = 0: NEXT J: LET V(I,I) = 1: NEXT I
100 FOR P = 1 TO N: INPUT H(P): NEXT P
110 FOR P = 1 TO N: LET S(P) = 0: NEXT P
120 FOR P = 1 TO N: LET A(P) = 2: NEXT P
130 LET I = 1: LET SR = 1
140 FOR J = 1 TO N
150 LET D = H(I) * V(J,I)
160 IF ABS(D/(ABS(X(J)) + 1)) > 1E-4 THEN LET SR = 0
170 LET X(J) = X(J) + D: NEXT J
180 IF SR GOTO 540
190 GOSUB 1000
200 IF F > F0 GOTO 220
210 LET S(I) = S(I) + H(I): LET F0 = F: LET H(I) = 3 * H(I): GOTO 270
220 FOR J = 1 TO N
230 LET X(J) = X(J) - H(I) * V(J,I): NEXT J
240 LET H(I) = -H(I)/2
250 IF A(I) < 1.5 THEN LET A(I) = 0
260 GOTO 280
270 IF A(I) >= 1.5 THEN LET A(I) = 1
```

```

280 LET SL = 1: FOR K = 1 TO N
290 IF A(K) >= .5 THEN LET SL = 0
300 NEXT K
310 IF SL = 1 GOTO 340
320 IF I = N GOTO 130
330 LET I = I + 1: GOTO 140
340 FOR P = 1 TO N: FOR R = 1 TO N: LET W(P,R) = 0: NEXT R: NEXT P
350 FOR J = 1 TO N: FOR K = J TO N: FOR I = 1 TO N
360 LET W(I,J) = W(I,J) + S(K) * V(I,K)
370 NEXT I: NEXT K: NEXT J
380 LET WB = 0: FOR P = 1 TO N
390 LET WB = WB + FN Q(W(P,1)): NEXT P
400 LET WB = SQR(WB)
410 FOR P = 1 TO N: LET V(P,1) = W(P,1)/WB: NEXT P
420 FOR P = 1 TO N: FOR R = 1 TO N: LET P(P,R) = 0
430 NEXT R: NEXT P
440 FOR K = 2 TO N: FOR L = 1 TO K-1: FOR I = 1 TO N
450 LET P(K,L) = P(K,L) + W(I,K) * V(I,L): NEXT I
460 FOR I = 1 TO N
470 LET B(I) = B(I) - P(K,L) * V(I,L): NEXT I: NEXT L
480 FOR I = 1 TO N: LET B(I) = B(I) + W(I,K): NEXT I
490 LET B2 = 0: FOR I = 1 TO N
500 LET B2 = B2 + FN Q(B(I)): NEXT I
510 FOR I = 1 TO N
520 LET V(I,K) = B(I)/SQR(B2): LET B(I) = 0: NEXT I: NEXT K
530 GOTO 110
540 CLS: PRINT "MINIMUMSKOORDINATEN X(1)...X(";N,")"
550 PRINT: FOR P = 1 TO N: PRINT X(P): NEXT P: PRINT
560 PRINT "FUNKTIONSMINIMUM ";F0
570 END
580 REM ANWENDUNGSBEISPIEL : AUSSCHNITT AUS PROGRAMM TLKRS
590 DIM Q(7): INPUT "KZ";KZ: INPUT "T1Z";TZ: INPUT "KU";KU
600 INPUT "TL";TL: INPUT "T1U";TU
610 LET T = TL/4
620 LET AU = EXP(-T/TU): LET AZ = EXP(-T/TZ): LET B1 = KZ * (1 - AZ)
630 LET A1 = -(AU + AZ): LET A2 = AU * AZ
640 GOTO 30
650 REM UNTERPROGRAMM
660 REM PARAMETERUEBERGABE
670 LET KP = X(1): LET TN = X(2)
680 LET B4 = KP * KU * (1 - AU): LET B = 1 - T/(2 * TN): LET BQ = 1 + T/(2 * TN)
690 LET F = 0: FOR E = 1 TO 7: LET Q(E) = 0: NEXT E
700 FOR K = 0 TO 80
710 LET X = Q(1)
720 LET Q(1) = Q(2) + B1 - (A1 - 1) * X
730 LET Q(2) = Q(3) - (1 + AU) * B1 - (A2 - A1) * X
740 LET Q(3) = Q(4) + AU * B1 + A2 * X
750 LET Q(4) = Q(5)
760 LET Q(5) = Q(6) - B4 * X * BQ
770 LET Q(6) = Q(7) + (B + AZ * BQ) * B4 * X
780 LET Q(7) = -AZ * B * B4 * X
790 LET F = F + K * ABS(X): NEXT K
800 RETURN

```

Anstelle der Abbruchbedingung (120) kann auch Bedingung (119) programmiert werden. Dazu sind im Programm folgende Änderungen vorzunehmen:

```
130 LET I = 1; der Rest entfällt  
160, 180: Zeilen entfallen  
195 ((einfügen)) IF ABS(F - F0) < 1E - 5 GOTO 540.
```

Es kann sein, daß das Optimum mit dieser Form der Abbruchbedingung sicherer gefunden wird als mit der anderen. Das hängt sowohl von der Art der Zielfunktion als auch von den gewählten Startwerten ab.

Wenn die Berechnung eines Funktionswerts längere Zeit in Anspruch nimmt (bei dem im Programm vorgestellten Anwendungsbeispiel dauert die Berechnung eines Funktionswerts auf dem KC 85/3 etwa 12 s, auf dem ZX Spectrum etwa 18 s), dann erhält der Nutzer über längere Zeit keine Information, ob der Rechenprozeß überhaupt noch voranschreitet. Deshalb kann man nach dem Unterprogrammaufruf in Zeile 190 ein akustisches Signal (BEEP) oder ein Zeichen auf dem Bildschirm einfügen (PRINT "!" ;), wobei die letztgenannte Ausgabe es auch möglich macht, nachzuzählen, wieviel Funktionsaufrufe erfolgt sind. Natürlich kann man zu diesem Zweck auch eine Zählvariable mitführen.

Der Selektor SL stellt fest, ob alle $a_j < 0.5$ sind (Zeile '17' bzw. 280 bis 310). Zeile 320 entspricht der PAP-Zeile '18', Zeile 330 der Zeile '19'. In den Zeilen 340 bis 530 werden die neuen Richtungsvektoren zusammengefaßt zum Feld V(N,N) berechnet, wie das aus dem PAP Bild 32 erkennbar ist.

Die Zeilen 800 bis 1150 im Programm ROSE sind problemspezifisch. Als Anwendungsbeispiel wurde die Aufgabe programmiert, optimale Reglerparameter K_p und T_n für einen Regelkreis mit Laufzeit und Verzögerung zu bestimmen.

Deshalb wurde auf das Programm TLKRS zurückgegriffen, aus dem diejenigen Zeilen übernommen werden konnten, die dazu dienen, das Störverhalten des Regelkreises bei Sprungstörungen zu ermitteln. Unnötige Eingaben, etwa zur Dialogführung oder für andere Eingangssignalformen, wurden weggelassen. Damit waren vor allem die Zeilen 30, 40, 200 bis 230, 270, 340 bis 400, 470 des Programms TLKRS tw. in modifizierter Form zu übernehmen. Für $d = T_1/T$ wurde der Wert 4 fest vereinbart; damit wird DIM Q(7) (Zeile 810).

Einige Konstanten im Programm TLKRS sind unabhängig von den Werten der Reglerparameter (AU, AZ, B1, A1, A2); sie werden daher nur einmal nach Eingabe der Streckenparameter berechnet (Programm ROSE, Zeilen 810 bis 850). Die anderen Konstanten (B4, B, BQ) hängen von den Reglerparametern ab; sie müssen bei jedem Funktionsaufruf neu berechnet werden und stehen deshalb im Unterprogramm, das bei Zeile 1000 beginnt und in den Zeilen 70 und 190 des Hauptprogramms ROSE aufgerufen wird. Zeile 1020 dient der Anpassung der Namen für die Entscheidungsvariablen im Hauptprogramm (X(1), X(2)) und Unterprogramm (KP, TN).

In Zeile 1140 wird das Gütemaß F berechnet. Programmiert ist das ITAE-Kriterium nach (117). Für m, die Anzahl der berechneten x-Werte, wurde 80 gewählt, nachdem durch Voruntersuchungen festgestellt worden war, daß damit die Regelvorgänge bei günstigen Reglerparametern gut abgeklungen sind.

Soll als Gütemaß die quadratische Regelfläche verwendet werden, dann muß die Zeile lauten

```
1140 LET F = F + X * X: NEXT K.
```

Vergleicht man die sich entsprechenden Zeilen 51 \emptyset (TLKRS) und 104 \emptyset (ROSE), dann fällt auf, daß in ROSE ein anderer Laufindex (E) gewählt wurde als in TLKRS (I). Im Hauptprogramm ROSE wird der Laufindex I nämlich in der Schleife verwendet, in der das UP aufgerufen wird (Zeilen 13 \emptyset bis 33 \emptyset). I darf deshalb keinesfalls durch das Unterprogramm verändert werden; deshalb ist dort ein anderer Name zu wählen.

Gestartet wird das Gesamtprogramm mit RUN 8 \emptyset . Nach Eingabe der Streckenparameter durch den Nutzer springt das Programm dann von Zeile 86 \emptyset in das eigentliche Optimierungsprogramm, wobei die Dimension (2) und die Startwerte für X(1) = KP und X(2) = TN einzugeben sind.

Das Anwendungsbeispiel, das allerdings mit der im Text erwähnten Form der Abbruchbedingung (119) für EPS = 1E - 4 durchgerechnet wurde, erbrachte folgende Ergebnisse:

$$K_z = 50, T_{1z} = 12, K_u = 1, T_L = 4, T_{1u} = 15.$$

Startwerte für die Optimierungsrechnung

$$K_p = 2, T_n = 20.$$

Schrittweiten: $h_1 = 0.1, h_2 = 0.5$.

ITAE-Kriterium

$$K_p = 2.652, T_n = 12.33.$$

Diese Ergebnisse wurden nach 104 Funktionswertberechnungen und einer Rechenzeit (KC 85/3) von 22.5 min erreicht.

Quadratische Regelfläche

$$K_p = 3.9, T_n = 15.54$$

134 Funktionswertberechnungen, Rechenzeit 28.5 min.

Die Regelvorgänge für diese Reglereinstellungen sind im Bild 30 gezeigt worden.

Literaturverzeichnis

- [1] *Brack, G.*: Dynamische Modelle verfahrenstechnischer Prozesse. Berlin: VEB Verlag Technik 1972
- [2] *Brack, G.*: Einfache Modelle kontinuierlicher Prozesse. Berlin: VEB Verlag Technik 1982
- [3] *Wede, J.; Werner, D.*: Echtzeitprozeßmodelle auf der Basis von Parameterschätzverfahren. Berlin: VEB Verlag Technik 1985
- [4] *Brack, G.; Helms, A.*: Automatisierungstechnik. 2. Aufl. Leipzig: VEB Deutscher Verlag für Grundstoffindustrie 1987
- [5] *Zurmühl, R.*: Praktische Mathematik. Berlin, Heidelberg, New York: Springer-Verlag 1965
- [6] *Kopchenova, N.V.; Maron, I.A.*: Computational mathematics. Moskau: Mir 1975
- [7] *Göldner, K.*: Lineare Systeme der Regelungstechnik. Berlin: VEB Verlag Technik 1973
- [8] *Göldner, K.*: Mathematische Grundlagen der Systemanalyse. Bd. 2. Leipzig: Fachbuchverlag 1982
- [9] *Faddejew, D. K.; Faddejewa, W. N.*: Numerische Verfahren der linearen Algebra. Berlin: VEB Deutscher Verlag der Wissenschaften 1973
- [10] *Kerner, I. O.*: Numerische Mathematik und Rechentechnik. T. 2/1. Leipzig: Teubner Verlagsgesellschaft 1973.
- [11] *Rint, C. (Hrsg.)*: Handbuch für Hochfrequenz- und Elektrotechniker, Bd. 3. Berlin: Verlag für Radio-Foto-Kinotechnik 1954
- [12] *Günther, M.*: Zeitdiskrete Steuerungssysteme. Berlin: VEB Verlag Technik 1986
- [13] *Erfurth, H.; Bieß, G.*: Optimierungsmethoden. Leipzig: VEB Deutscher Verlag für Grundstoffindustrie 1975
- [14] *Hartmann, K. (Hrsg.)*: Analyse und Steuerung von Prozessen der Stoffwirtschaft. Berlin: Akademie-Verlag, Leipzig: VEB Deutscher Verlag für Grundstoffindustrie 1971.

Sachwörterverzeichnis

- Ableitung 17, 19
Abtastzeit 50, 60
Amplitudengang 34
Amplitudenkenntlinie 35
Anfangswert 62
Anfangszustand 54
Arbeitspunkt 19
Ausgabegleichung 11

Beobachtungsmatrix 19, 22
Betragstnorm 52
Bilanzgleichung 10
Bilanzraum 10

charakteristisches Polynom 42, 70
Collatz-Schema 45, 47

D-Anteil 22
Dialog 56, 77
Differentialgleichung 12
Differentialoperator 63
Differenzengleichung 62; 66
Diskretisierung 12, 50
Doppelwurzel 49
Durchgangsmatrix 19, 22
dynamisches Modell 8
Eigenwert 41, 50, 70

Faddejew-Algorithmus 31, 63
Filtering 74
Formatierung 40
Frequenzgang 34
Führungsverhalten 72 f.
Fundamentalmatrix 51, 63

Gütekriterium 78 f.

Horner-Schema 44, 47

Instabilität 41, 66
Inversion 18, 27, 31
ITAE-Kriterium 78 f., 86

Klemmenmodell 29, 39, 62
komplexes Polpaar 44
Kürzen 33, 66

Laufzeit 35, 71 f., 73
Leverrier-Algorithmus 42
Linearisierung 18

Matrizenpotenz 51
Menüauswahl 61
Minimumssuche 81

Newtonssches
 Näherungsverfahren 15 f., 44
nichtlineares Gleichungssystem 16
Norm 52 f.
Nullstelle 42 f., 47, 66

Optimierung 79
Ordnung 33

Padé-Approximation 70
Parameteroptimierung 79
Phasengang 34
Phasenkenntlinie 36
Phasenwinkel 34, 40
PI-Regler 22, 72
Polynom 42

quadratische Gleichung 45
quadratische Regelfläche 78 f., 86

Rauschen 27, 56, 74
Rauschfilter 28
Rechenprogramm
 EWEPOL 46
 FREQ 36
 KLEMM 68
 KRSMAT 25
 LIN 20
 NEWT 16
 ROSE 83
 RUKU4 14
 TLKRS 75
 ZUST 58

reelle Nullstelle 44
Regelgröße 22
Regelkreis 21, 23, 71
Regelvorgang 61

rekursive Lösung 66
Rosenbrock-Verfahren 80
Runge-Kutta-Verfahren 12

Signalfilter 28
sprungfähiges System 22, 30
Sprungfunktion 55
Spur 31
Stabilitätsgrenze 41
stationärer Punkt 19
Stellgröße 22
Steuergröße 10
Steuermatrix 19, 22, 51, 53
Störgröße 22
Störverhalten 72 f.
Suchverfahren 79
Systemmatrix 19, 63

Trapezregel 73

Übertragungsfunktion 30, 33, 41, 63 f.
Übertragungsglied 64

Verschiebeoperator 62 f.
Verzögerungsglied 72

Zeitkonstante 50
Zeitverhalten 54
z-Transformation 62
z-Übertragungsfunktion 62
Zustandsgleichung 10, 54
Zustandsgröße 10
Zustandsmatrix 41
Zustandsmodell 7 f., 10, 21, 23, 29, 39, 51, 54, 63

ISBN 3-341-00531-5